

Mezotöpusú rendszerek (Speci)

1999. febr. (II. félér)

Elektronos transport olyan felületű nanoszerkezetekben, melyek mérete a néhány száz nm, esetleg μm .

A mérete sokkal nagyobb az atomoknál, de nem elég nagy ahhoz, hogy "Ohmikusan" viselkedjen.

Köster méretű \rightarrow mezotöpusú.

2dim.

$G = \frac{\sigma W}{L} \rightarrow$ hossz.

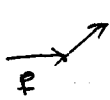
\rightarrow keresztmetszet

\rightarrow felület

\rightarrow keresztmetszet

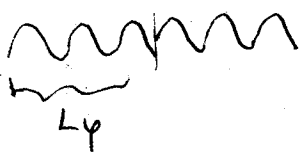
Ohmikus: méret $\gg \lambda_{de\ Broglie} \leftarrow E_F$

Driftelés



$\ell = v_F \tau$, ahol v_F szabad úthossz, τ az idő, amely alatt a részecske momentumát veszíti.

L_p : fázis relaxációs hossz (phase relaxation length) az a távolság, amit az elektron befut mielőtt a keresztmetszete "elrontott" amagtól, T-től függ, B-től is.

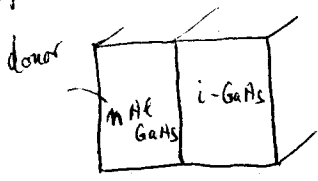


Mezotöpusú felületű nanoszerkezet

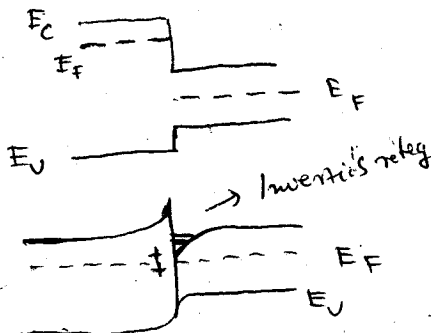
- nagy tisztasága (éves nagyság)
- kevés kristályhiba
- vékony réteg (2 dimenziós elektronok)
- nagy mozgékonyasági elektronok (hisz effektív tömeg, $m_{eff} = 0.067 m_0$)
- kicsi elektronsűrűség a rétegben $\Rightarrow \lambda_F \sim 40 \mu\text{m}$, nagy!
- ℓ : szabadúthossz nagy $10 \mu\text{m}$!

GaAs - AlGaAs heterojunctions

Ez az anyag tisztaságát
M: kristályhiba!
(szennyezés)



A Fermi-energiát
számba írni
A két réteg
összeillesztése
után az E_F
átjáró lesz
egyenlő szinten.
Elektron mozgás.

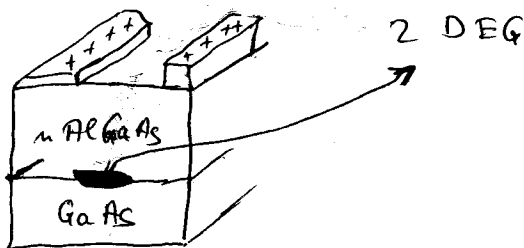


E_F a teljes gappal rendelkező AlGaAs-ban nagyobb, mint a keskenybb gappú GaAs-ban. $E_F(\text{AlGaAs}) > E_F(\text{GaAs})$

Elektronok mennek át az "AlGaAs"-ból a GaAs-be és pozitív töltéset hagyva ott. Ez a \oplus töltéset elektronos potenciál eredményez. A sáv hajlik. A rétegnél egy potenciál görbe lesz. Először a talabban a legalsó szinten ülnek az elektronok.

Az elektronok a rétegre \perp irányba (z-irány) való mozgáshoz nagy energia szükséges, így az elektronok (?) a két anyag határában tartózkodnak \rightarrow 2 DEG (2-dim. elektronok)

A 2 DEG tovább "terelhető" a réteg felé helyes \oplus gate-vel. Stadion, kör, stb. alakú tartományba vonható az elektronok.



Techológia + Fizika \Rightarrow gyors fejlődés ezen a téren. (1970-80 évek óta)
(nincs egybeesés)

Nagy cél, tervezés elterjedése



Kvantum számítógép

Fázis koherens kvantum eszközök készítése.

Tipikus paraméterek

GaAs (100)

Effektív tömeg: $m_{eff} = 0.067 \cdot m_e$, $m_e = 9.1 \cdot 10^{-28} \text{ g}$

Állapotsűrűség: $\rho_{2D} = \frac{m}{2\pi\hbar^2} = 0.28 \cdot 10^{11} \frac{1}{\text{cm}^2 \text{ meV}}$

Elektronsűrűség a rétegleben: $n_s = 4 \cdot 10^{11} \frac{1}{\text{cm}^2}$

Fermi-hullámhossza: $\lambda_F = \sqrt{2\pi n_s} = 1.58 \cdot 10^6 \frac{1}{\text{cm}}$

Fermi-energia: $E_F = 14 \text{ meV}$!!! ($v_F = 2.7 \cdot 10^7 \frac{\text{cm}}{\text{sec}}$)

Fermi-hullámhossza: $\lambda_F = \frac{2\pi}{k_F} = 40 \text{ nm}$!!! = 400 \AA

Átlagos szabadúthossza: $l = v_F \tau = 10^2 - 10^4 \text{ nm}$, $l \gg \lambda_F$

Fázis koherencia hossza: $L_\phi \geq 200 \text{ nm}$!!! = 2000 \AA

Megj.: Normal felület

$$\lambda_F \sim 1 \text{ \AA} \ll E_F \sim 1 \text{ eV}$$

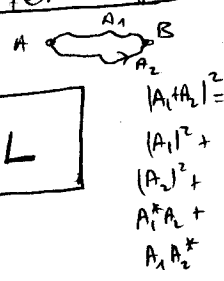
↳ szubvenció + pályák (elamrés)

Nanométeres tartományban a ^{hemi}elastikus diffúzió

transport nem jó. új jelenség, a kvantumos jelleg fontos.

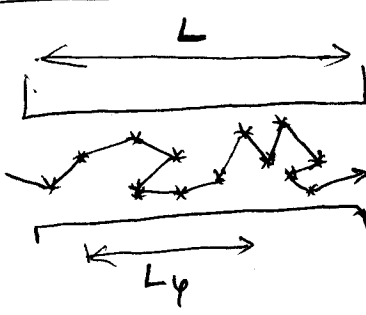
Transport tartományok:

Hát ez eddig is figyelembe volt vevő (nem elasztikus transport), de most az elektronok interferenciája is fontos lesz.



Diffúzió tartomány:

rendezetlen helyeken a hemi rugalmas hívódás az elektron



$w > l$

$l < w, L$

L_p

L_p + nem vektoros. az l -t.

"Olymics" anyagot az egyes frekvenciák vesztő éppesége csak akkor adódik össze, ha a frekvencia hossza $\gg L_p$.

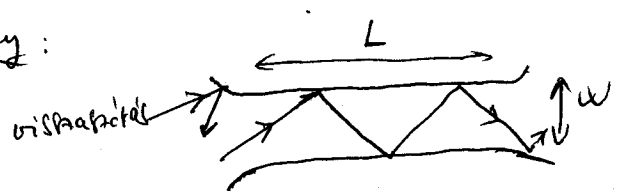
Alacsony hőmérsékleten (k_B/L_p) elég nagy lehet, összehasonlítható, a mintaméretével (L). \Rightarrow Fázis koherencia a minta nagy részén.

Ez a kvantumos koherencia miatt új effektusok lépnek fel:

- gyenge lokalizáció
- vesztő éppesség fluktuációk
- Aharonov-Bohm effektus

Ballisztikus tartomány:

$w, L < l$



Nincs interferencia nem interferencia ellenállás!

Nem zérus ellenállás oka: a kontaktus (a nagy húlsó 2DEG és a keskeny 2DEG minta között.)

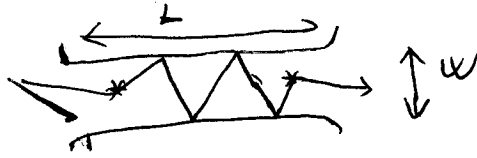
Analógia: elektron optika, határon van csel hívódás. Sch. egyenlet $\Rightarrow (\Delta + k^2)\psi = 0$ alóli, mint a waveguide-ban.

Landauer-formula jól használatos. \leftarrow kevés hími ballad módus van a "waveguide"ban.

α hívódás mem 5!

Kis ballisztikus tartomány:

$w < l < L$



kevés hívódás.

A határon + a hívódás hívódás az elektron és egyenlő fontosságú minőség.

2DEG Schrödinger eigenstate

$$\hat{H}\psi = \epsilon\psi, \quad \hat{H} = \frac{(p + eA)^2}{2m} + U(r) \quad \begin{matrix} \rightarrow \text{Confining} \\ \text{potential} \end{matrix}$$

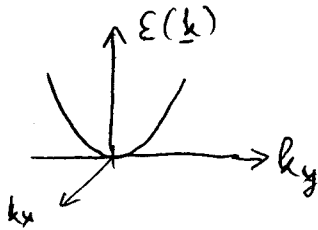
↓
effektiv löse, $m = 0.067m_e$

Stabes gät, $U(r) = 0$

$$\Rightarrow \psi(r) = e^{i\mathbf{k}\cdot\mathbf{r}}$$

$$\Rightarrow E(\mathbf{k}) = \frac{\hbar^2 \mathbf{k}^2}{2m}$$

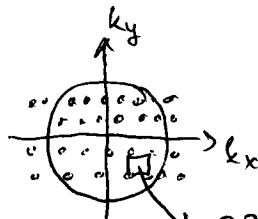
konstant energi "föliet"



periodisk lat. felt.

$$\Downarrow \\ \mathbf{k} \in \mathbb{BZ}$$

$$\frac{2mE}{\hbar^2} \equiv k_x^2 + k_y^2$$

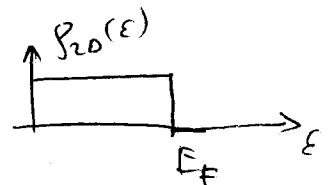


$$\rightarrow \frac{2\pi}{L_x} \frac{2\pi}{L_y} = \frac{2\pi \cdot 2\pi}{L_x L_y}$$

$$N(\epsilon) = 2 \cdot \frac{2m\epsilon}{\hbar^2} \cdot \pi \cdot \frac{1}{\frac{2\pi}{L_x} \frac{2\pi}{L_y}} = L_x L_y \cdot 2 \frac{2m\epsilon \pi}{\hbar^2 4\pi^2} = L_x L_y \frac{m\epsilon}{\hbar^2 \pi}$$

↑
Spin

$$\rho_{2D}(\epsilon) = \frac{1}{L_x L_y} \frac{dN(\epsilon)}{d\epsilon} = \frac{m}{\pi \hbar^2} = \text{const.}$$

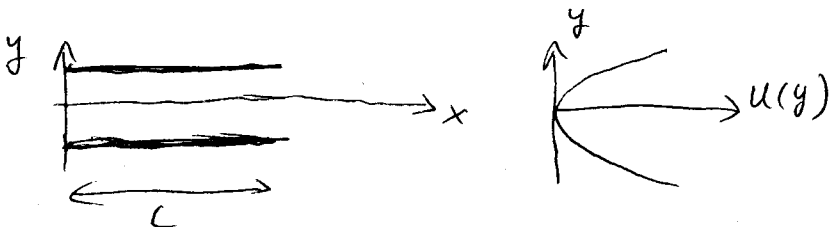


elektronstyrmsög

$$n_s = \rho_{2D} \cdot \epsilon_F = \rho_{2D} \cdot \frac{\hbar^2 k_F^2}{2m} \Rightarrow k_F = \sqrt{2m n_s}$$

$$\downarrow \\ v_F = \frac{\hbar k_F}{m}$$

Kerentiröyvan korlatöröt 2DEG + B-tör:



$$\hat{H} = \frac{(\hat{p}_x + eA)^2}{2m} + U(y)$$

$$A = \begin{pmatrix} -By \\ 0 \\ 0 \end{pmatrix} \Rightarrow \text{rot } \underline{A} = \underline{B}$$

Landau nivåer $\Rightarrow \text{rot } \underline{A} = \underline{B}$

$$q = -e = -1.6 \cdot 10^{-19} \text{ Cb}$$

$$= \frac{(p_x + eBy)^2}{2m} + \frac{p_y^2}{2m} + U(y)$$

$$0 = [\hat{p}_x, \hat{H}] \Rightarrow p_x \text{ sajátvektora ok., azat } e^{ikx} \Rightarrow \hat{p}_x = \hbar k$$

A megoldás alakja

$$\psi(x, y) = e^{ikx} \chi(y)$$

$$H\psi = \left[\frac{(\hbar k + eBy)^2}{2m} + \frac{p_y^2}{2m} + U(y) \right] \chi(y) = E_n(\hbar k) \chi_{n,k}(y)$$

Spec. esetek: (a) $U \neq 0, B = 0$

$$U(y) = \frac{1}{2} m \omega^2 y^2$$

$$\left[\frac{\hbar^2 k^2}{2m} + \frac{p_y^2}{2m} + \frac{1}{2} m \omega_0^2 y^2 \right] \chi(y) = E_n(\hbar k) \chi_{n,k}(y)$$

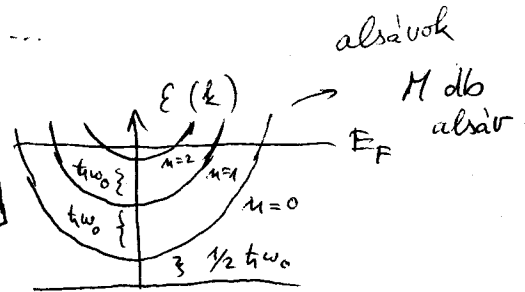
~
oszillátor

$$\chi_{n,k}(y) = e^{-\frac{m\omega_0 y^2}{\hbar}} \cdot H_n\left(\sqrt{\frac{m\omega_0}{\hbar}} y\right)$$

↑
Hermite polinomok

$$H_0(x) = \frac{1}{\sqrt{\pi} \hbar^{1/4}}, H_1(x) = \frac{\sqrt{2} x}{\sqrt{\pi} \hbar^{1/4}}, H_2(x) = \frac{2x^2 - 1}{\sqrt{2} \sqrt{\pi} \hbar^{1/4}}, \dots$$

$$E_n(\hbar k) = \frac{\hbar^2 k^2}{2m} + (n + \frac{1}{2}) \hbar \omega_0, \quad n = 0, 1, 2, \dots$$

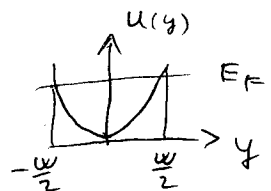


Csoport sebesség: $v_n(\hbar k) = \frac{1}{\hbar} \frac{\partial E(\hbar k)}{\partial k} = \frac{\hbar k}{m}$

Megj: Ha szólok a z irányú inverziós rétegen is a potenciál, de korlátot tartomány kicsi (~ 5-10nm) => $\hbar \omega_0 \sim 100 \text{ meV}$ => csak egy, esetleg két nívó van betöltve az inverziós potenciálban.

Az $U(y)$ korlátozó potenciál (confining pot.) már nem olyan szűk tartományra "tereli" az elektront, mint z irányban. Így itt több alsáv van is lehet elektron. Alsáv ↔ kereszt módus.

felölés: $\frac{1}{2} m \omega_0^2 \left(\frac{W_F}{2}\right)^2 = E_F$

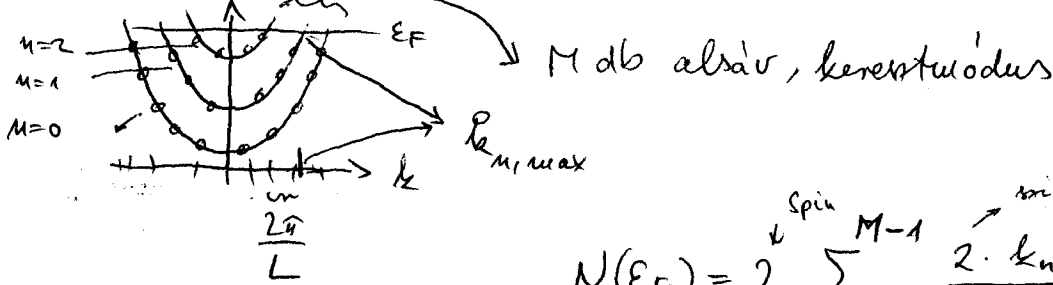


Így W_F valamilyen effektív.

hővezettség

Mennyi a kereszt módusok száma E_F -ig? $M(E_F) = ?$

Legyen az utolsó alsáv indexe n_{max} ekkor $E_F \geq \hbar \omega_0 (n_{max} + \frac{1}{2}) \Rightarrow$
 egyen $n_{max} \leq \frac{E_F}{\hbar \omega_0} - \frac{1}{2}$, de $M(E_F) = n_{max} + 1 \Rightarrow M(E_F) = \left\lfloor \frac{E_F}{\hbar \omega_0} + \frac{1}{2} \right\rfloor$



$$N(\epsilon_F) = 2 \sum_{n=0}^{M-1} \frac{2 \cdot k_{n,max}}{2\pi/L}$$

Spin ↑ szimmetrikus ↗

$$\Rightarrow \frac{N(\epsilon_F)}{L} = \frac{2}{W_{par}} \sum_{n=0}^{M(\epsilon_F)-1} \sqrt{\left(\frac{k_F W_{par}}{\pi}\right)^2 - \frac{4}{\pi} \frac{k_F W_{par}}{\pi} \left(n + \frac{1}{2}\right)}$$

$$S_{parabola}(\epsilon) = \frac{dN(\epsilon)}{d\epsilon}$$

(b) $U=0, B \neq 0$ eset, Landau nívók

Sch. $\left[\frac{p_y^2}{2m} + \frac{(\hbar k_x + eBy)^2}{2m} \right] \chi_n(y) = \epsilon_n(k) \chi_n(y)$
 eqn.

$[p_x, \hat{H}] = 0$

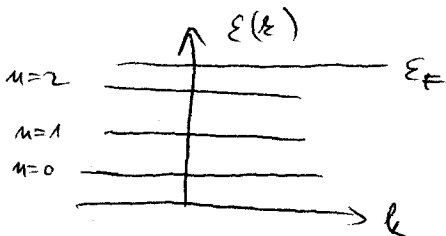
$y_k = \frac{\hbar k_x}{eB}$ és $\omega_c = \frac{|e|B}{m}$ új változóval a Sch. átírható:

$$\left[\frac{p_y^2}{2m} + \frac{1}{2} m \omega_c^2 (y + y_k)^2 \right] \chi_n(y) = \epsilon_n(k) \chi_n(y)$$

Er oszcillátor, csak a parabola az $y = -y_k$ helyre szimmetrikus

$$\chi_{n,k}(y) = e^{-\frac{m\omega_c}{4}(y+y_k)^2} H_n\left(\sqrt{\frac{m\omega_c}{4}}(y+y_k)\right)$$

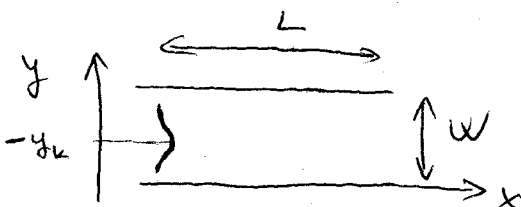
$$\epsilon_n(k) = \left(n + \frac{1}{2}\right) \hbar \omega_c, \quad n = 0, 1, 2, \dots$$



A csoport sebesség

$$v_n(k) = \frac{1}{\hbar} \cdot \frac{\partial \epsilon_n(k)}{\partial k} = 0$$

Körpályán mozog az elektron, nincs beáramlás ("drift").



A $\psi(x,y)$ hullámfü. $\sqrt{\frac{\hbar}{m\omega_c}}$ kiterjedésű az y irányban.

k változtatásával a hullámfü. eltolódik az y irányban.

Landau
mivó

Degeneráció, N_0 : hány állapot van egy Landau mivón?

4

X irányban periodikus hat. felt. (L hossz) \Rightarrow

$$\Delta k = \frac{2\pi}{L} = a \text{ lehetéges \& \textit{entérek közi távolság.}} \\ \text{(Assumptions)}$$

$$\Downarrow \\ \Delta y_k = \frac{\hbar \Delta k}{|e| B} = \frac{2\pi \hbar}{|e| B L}$$

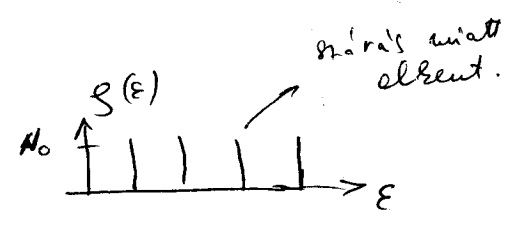
Az állapotok degenerációja $N_0 = 2 \cdot \overset{\text{spec}}{\frac{\omega}{\Delta y_k}} = \frac{|e| B \cdot (L \cdot \omega)}{\pi \hbar} =$

$$\Rightarrow N_0 = 2 \cdot \frac{\phi}{\phi_0}$$

ahol ϕ a minta áthaladó fluxus $\phi = B \cdot L \omega$

ϕ_0 a fluxus kvantum $\phi_0 = h/e$

$$\rho(\epsilon) = N_0 \cdot \sum_{k=0}^{\infty} \delta(\epsilon - (k + \frac{1}{2}) \hbar \omega_c)$$



(C) $u \neq 0, B \neq 0$

Sch. $\left[\frac{p_y^2}{2m} + \frac{(\hbar k + e B y)^2}{2m} + \frac{1}{2} m \omega_0^2 y^2 \right] \chi_n(y) = \epsilon_n(k) \chi_n(y)$

ϵ_n átírható (teljes négyzetre alakítással)

$$\left[\frac{p_y^2}{2m} + \frac{1}{2} m \frac{\omega_0^2 \omega_c^2}{\Omega^2} y_k^2 + \frac{1}{2} m \Omega^2 \left(y + \frac{\omega_c^2}{\Omega^2} y_k \right)^2 \right] \chi_n(y) = \epsilon_n(k) \chi_n(y)$$

\rightarrow energiaeltolás \rightarrow oszcillátor

ahol $\Omega^2 = \omega_c^2 + \omega_0^2$, $y_k = \frac{\hbar k}{e B}$

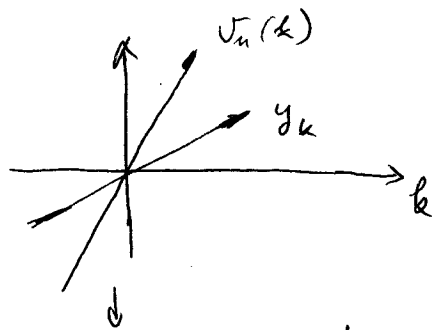
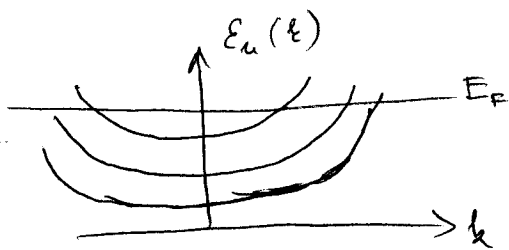
$\chi_{n,k}(y) = u_n \left(q + \frac{\omega_c^2}{\Omega^2} q_k \right)$, ahol $u_n(x) = e^{-\frac{x^2}{2}} H_n(x)$

$q = \sqrt{\frac{m \Omega^2}{\hbar}} y$, $q_k = \sqrt{\frac{m \Omega^2}{\hbar}} y_k$

$$\epsilon_n(k) = \frac{1}{2} m \frac{\omega_0^2 \omega_c^2}{\Omega^2} y_k^2 + (n + \frac{1}{2}) \hbar \Omega = \boxed{(n + \frac{1}{2}) \hbar \Omega + \frac{\hbar^2 k^2}{2m} \cdot \frac{\omega_0^2}{\Omega^2}}$$

Árop.
seb.

$v_n(k) = \frac{1}{\hbar} \frac{\partial \epsilon_n(k)}{\partial k} = \frac{\hbar k}{m} \cdot \frac{\omega_0^2}{\Omega^2}$



$$j_k = \frac{tE}{eB} = v_n(k) \frac{q^2}{m\omega_0}$$

Az az állapot, amelyik átáramot vezet

az $+x$ irányban az eltolódik $(y_k - t)$ a minta egyik oldala felé, míg az az állapot, melyet ellentétes irányú áramot vezet a minta másik oldala felé tolódna.

Csökkent az átfedés a két állapot között (előre és vissza felé haladó) állapotok között

a B növelésével. Csökken a viszkozitás is. (lásd később.)

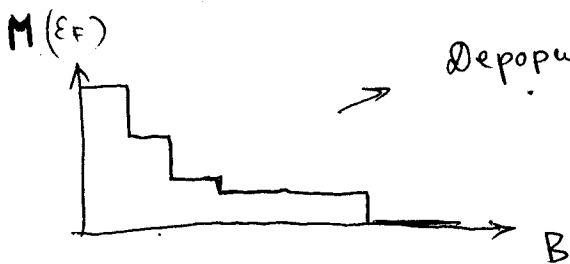
Az előzőekhez hasonlóan számítható az állapotok száma is.

$$\frac{1}{L} N(E_F) = \frac{2}{\omega_{par}} \sum_{n=0}^{M(E_F)-1} \sqrt{x^2 - \frac{2}{\pi} x \sqrt{4 + \left(\frac{\omega_{par}}{\ell_H}\right)^2} (n + \frac{1}{2})}$$

ahol $x = \frac{k_F \omega_{par}}{\pi}$, $\omega_{par} = \frac{2t\ell_F}{m\omega_0}$ (az előző a, esetleg hasonlóan definiáltul)

$$\sqrt{\frac{t}{eB}} = \ell_H = \sqrt{\frac{t}{eB}} \text{ mágneses hossz. } \sim \frac{1}{\sqrt{B}}$$

A keresztmetszet száma: $M(E_F) = \text{int} \left[\frac{E_F}{t\omega_0} + \frac{1}{2} \right]$



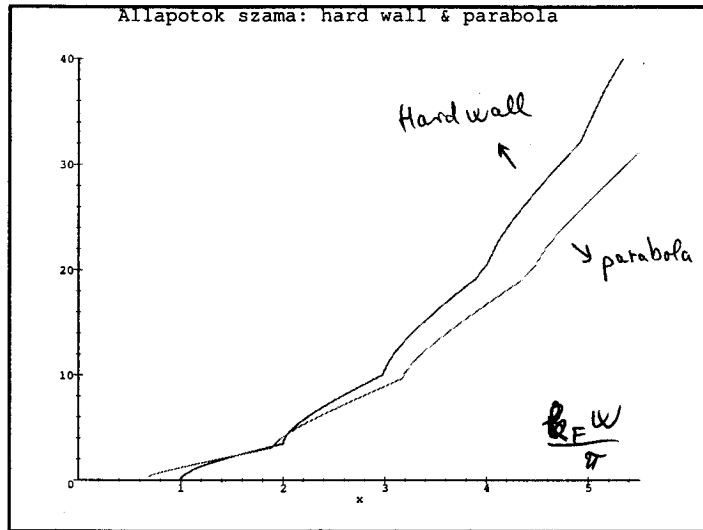
Depopulation: Csökken a keresztmetszet száma a B tér növelésével.

$$E_F = \frac{\hbar^2 k_F^2}{2m}$$

> parabola:=x->2*sum(sqrt(x^2-4*x/Pi*(n+0.5)),n=0..trunc(x*Pi/4-0.5));

$$\text{parabola} := x \rightarrow 2 \left(\sum_{n=0}^{\text{trunc}(1/4 x \pi - 0.5)} \sqrt{x^2 - 4 \frac{x(n+0.5)}{\pi}} \right)$$

> plot([Hard_wall(x),parabola(x)],x=0..5.5,view=[0..6,0..40],title='Allapotok szama: hard wall & parabola');

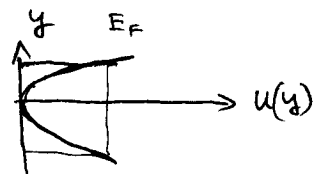
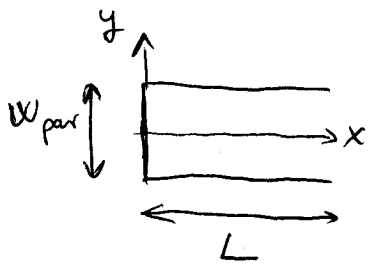


$$\frac{N(E_F)}{L}$$

> ro_parabola:=x->2*sum((x-2/Pi*(n+0.5))/sqrt(x^2-4*x/Pi*(n+0.5)),n=0..trunc(x*Pi/4-0.5));

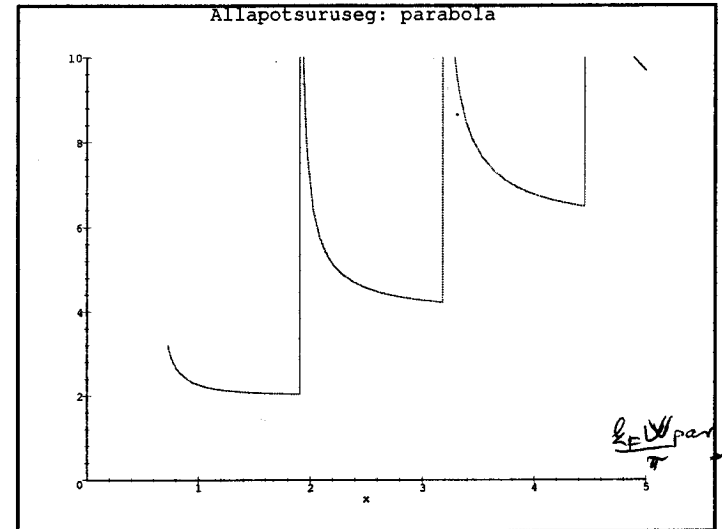
$$\text{ro_parabola} := x \rightarrow 2 \left(\sum_{n=0}^{\text{trunc}(1/4 x \pi - 0.5)} \frac{x - 2 \frac{n+0.5}{\pi}}{\sqrt{x^2 - 4 \frac{x(n+0.5)}{\pi}}} \right)$$

> plot(ro_parabola(x),x=0..5,title='Allapotsuru seg: parabola',view=[0..3,0..10]);

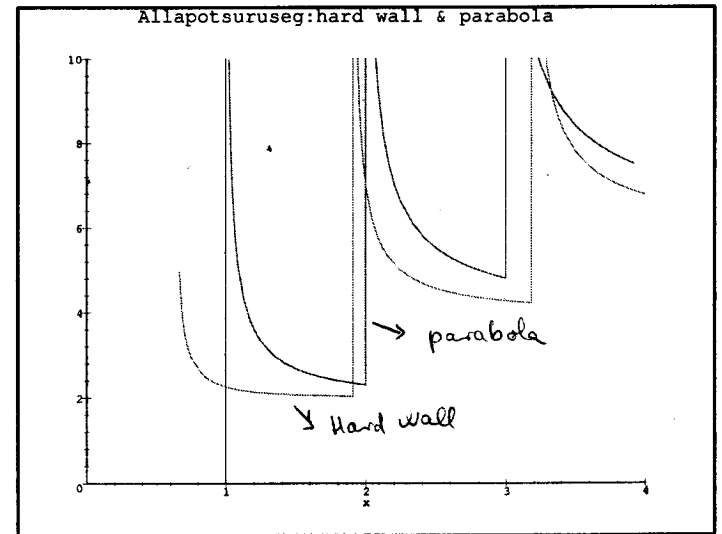


$$W_{\text{par}} \stackrel{\text{def}}{\Rightarrow} \frac{1}{2} m \omega_0^2 \left(\frac{W_{\text{par}}}{2} \right)^2 = E_F = \frac{\hbar^2 k_F^2}{2m}$$

$\zeta(E)$



> plot([ro_hard(x),ro_parabola(x)],x=0..4,title='Allapotsuruseg:hard wall & parabola',view=[0..4,0]);



> homega_0:=3.9;

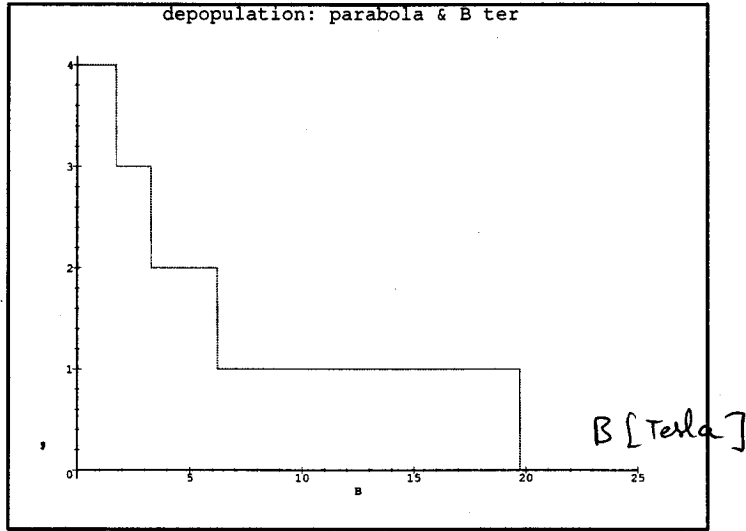
homega_0 := 3.9

$$E_f = 17.2 \text{ meV}, \quad t_{w_0} = 3.9 \text{ meV}$$

$$m = 0.067 m_e$$

```
> M:=(e,B)-> trunc(0.5+e/sqrt(homega_0^2+(1.731*B)^2));
M := (e, B) -> trunc(0.5 +  $\frac{e}{\sqrt{\text{homega}_0^2 + 2.996361 B^2}}$ );
> plot([M(17.2,B)],B=0..25,title='depopulation: parabola & B ter');
```

M(E=B)



```
> parabola_Bter:=(e,B)->2/Pi*sum(sqrt(e-(n+0.5)*homega_0)*sqrt(homega_0^2+(1.731*B)^2),n=0..trunc(e/sqrt(homega_0^2-0.5)));
```

parabola_Bter :=

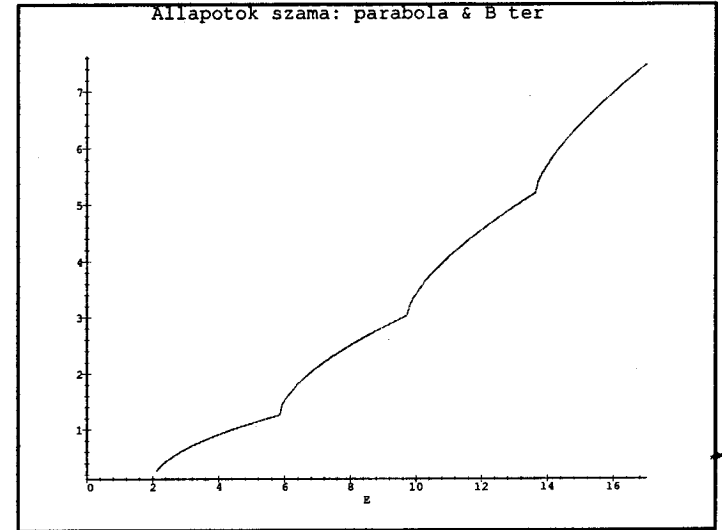
$$(e, B) \rightarrow 2 \frac{\sum_{n=0}^{\text{trunc}(\frac{e}{\sqrt{\text{homega}_0^2 + 2.996361 B^2}} - 0.5)} \sqrt{e - (n + 0.5) \sqrt{\text{homega}_0^2 + 2.996361 B^2}}}{\pi}$$

```
> plot([parabola_Bter(E,0.0)],E=0..17.2,title='All apotok szama: parabola & B ter');
```

$$t_{w_c} = t \cdot \frac{eB}{m} = \frac{t e m}{m_e} B = \frac{t e}{m_e} m \cdot B \quad \rightarrow \text{effektív tömeg}$$

Megj.: $t_{w_c} = 0.116 \cdot B [\text{Tesla}] \text{ meV}$
 elektron tömeg értéke \rightarrow

Allapotok szama: parabola & B ter



```
> Parabola:=e->2/Pi*sum(sqrt(e-(n+0.5)*homega_0),n=0..trunc(e/homega_0-0.5));
```

$$\text{Parabola} := e \rightarrow 2 \frac{\sum_{n=0}^{\text{trunc}(\frac{e}{\text{homega}_0} - 0.5)} \sqrt{e - (n + 0.5) \text{homega}_0}}{\pi}$$

```
> hard:=e->2*sum(sqrt(e-Pi^2/16*homega_0^2/e*n^2),n=1..trunc(4/Pi*e/homega_0));
```

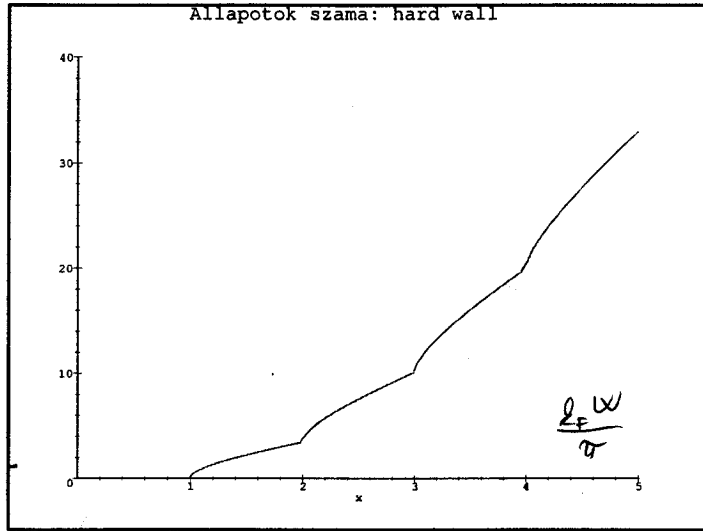
$$\text{hard} := e \rightarrow 2 \left(\sum_{n=1}^{\text{trunc}(\frac{4}{\pi} \frac{e}{\text{homega}_0})} \sqrt{e - \frac{1}{16} \frac{\pi^2 \text{homega}_0^2 n^2}{e}} \right)$$

```
> plot([Parabola(E),hard(E)],E=0..17.2);
```

Hard Wall

$$H\psi = \left(\frac{p_x^2}{2m} + \frac{p_y^2}{2m} \right) \psi = \epsilon \psi$$

```
> Hard_wall := x -> 2 * sum(sqrt(x*x-n*n), n=1..trunc(x));
Hard_wall := x -> 2 * (sum_{n=1}^{trunc(x)} sqrt(x^2-n^2))
> plot(Hard_wall(x), x=0..5, view=[0..6, 0..40], title='Allapotok szama: hard wall');
```



$$E_F = \frac{\hbar^2 k_F^2}{2m}$$

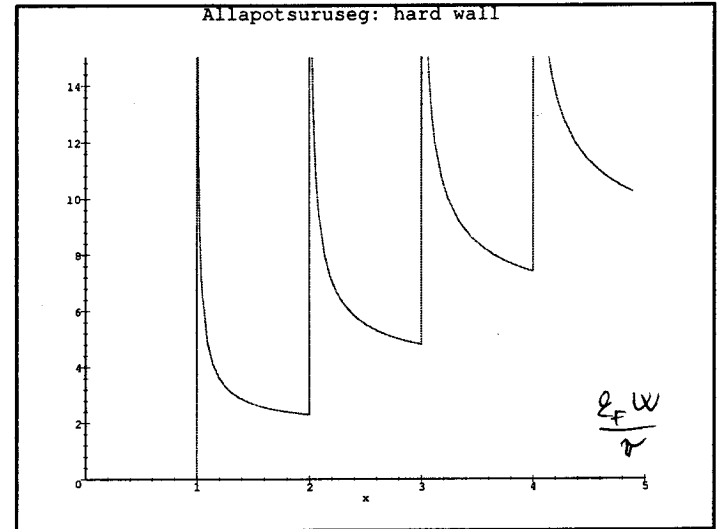
$$\frac{1}{L} N(E_F) = \frac{2}{W} \sum_{n=1}^{M(E_F)} \sqrt{\left(\frac{k_F W}{\pi} \right)^2 - n^2}$$

$$E_n(k) = E_n + \frac{\hbar^2 k^2}{2m}, \quad \psi(x,y) = \sin \frac{n\pi y}{W} e^{ikx}$$

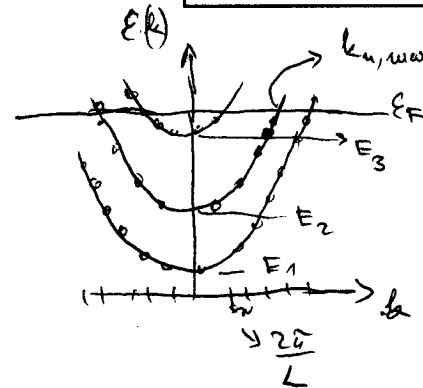
ahol $E_n = \frac{n^2 \pi^2 \hbar^2}{2m W^2} = E_1 n^2, \quad E_1 = \frac{\pi^2 \hbar^2}{2m W^2}$

kereszt modulus
száma

```
> ro_hard(x) := 2 * sum(x/sqrt(x*x-n*n), n=1..trunc(x));
ro_hard(x) := 2 * (sum_{n=1}^{trunc(x)} x / sqrt(x^2-n^2))
> plot(ro_hard(x), x=0..5, title='Allapotsuruseg: hard wall', view=[0..4.2, 0..15]);
```



$$\rho(E) = \frac{dN(E)}{dE}$$



$$N(E_F) = 2 \sum_{n=1}^{n_{\max}} 2 \cdot \frac{k_{n,\max}}{2\pi/L} =$$

szimmetrius
2-ban

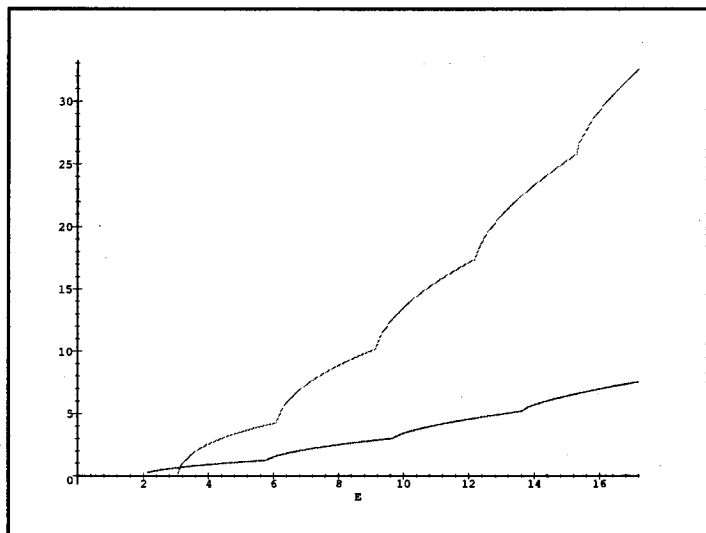
$$= \frac{2}{\pi} L \sum_{n=1}^{M(E_F)} \sqrt{\left(\frac{k_F W}{\pi} \right)^2 - n^2}$$

$$\frac{N(E_F)}{L} = \frac{2}{W} \sum_{n=1}^{M(E_F)} \sqrt{\left(\frac{k_F W}{\pi} \right)^2 - n^2}$$

$$E_F \geq n_{\max} \cdot E_1$$

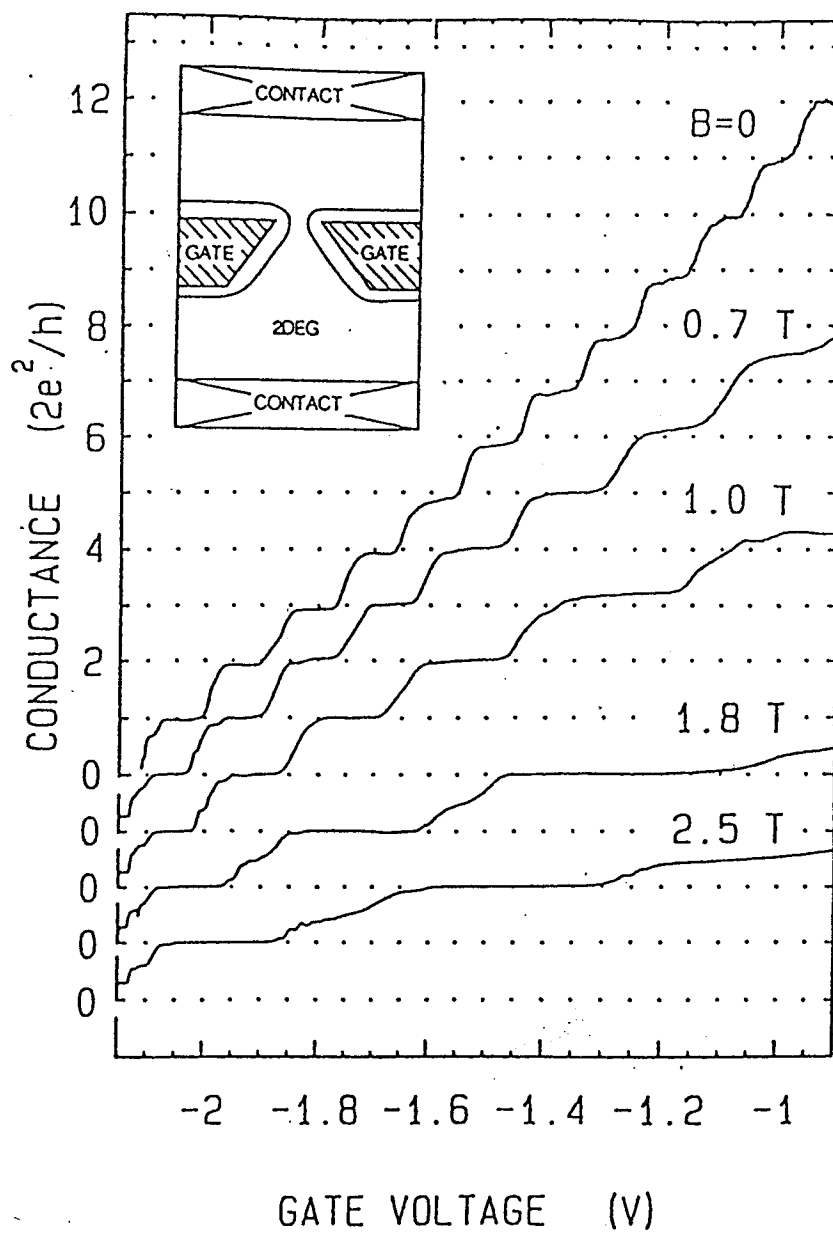
$$n_{\max} = \text{int} \left[\frac{E_F}{E_1} \right]$$

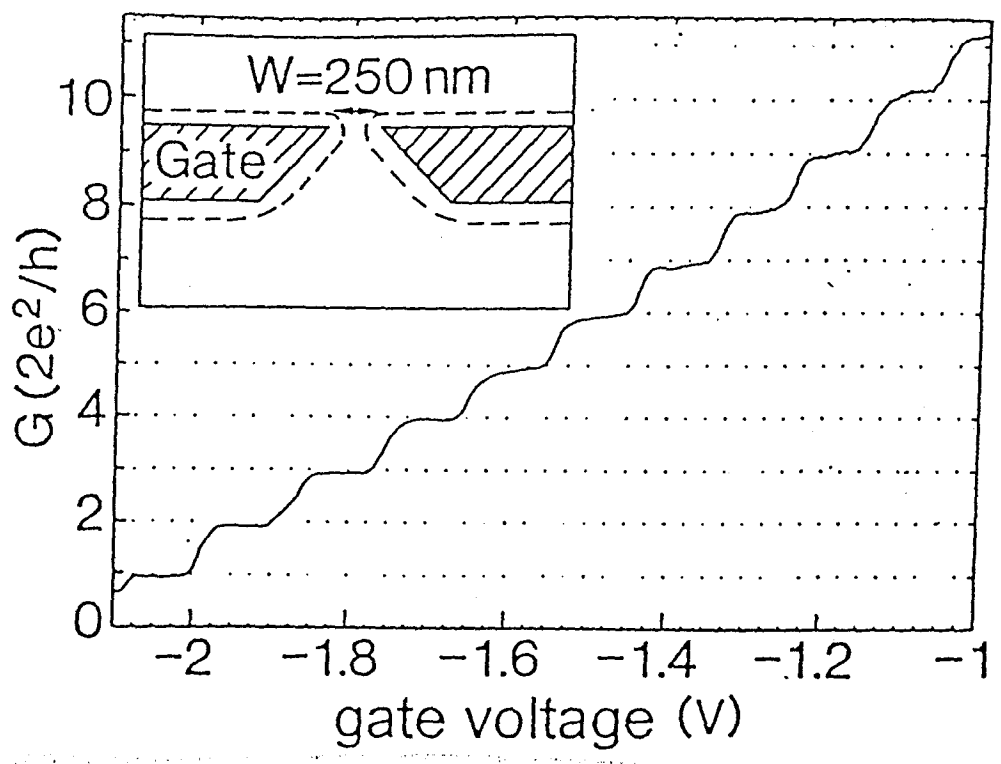
$$M = n_{\max} = \text{int} \left[\frac{E_F}{E_1} \right] = \left[\frac{k_F W}{\pi} \right]^2$$

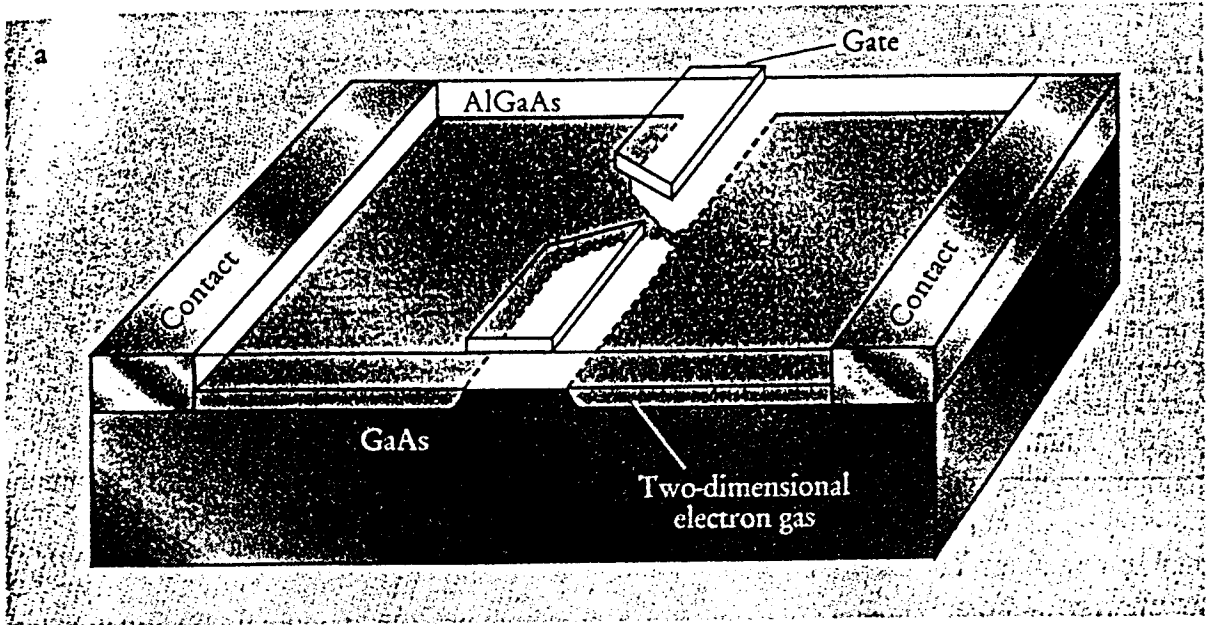


8

8

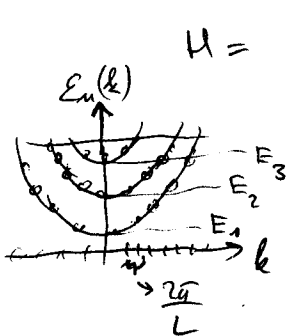
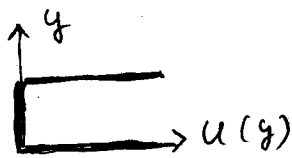
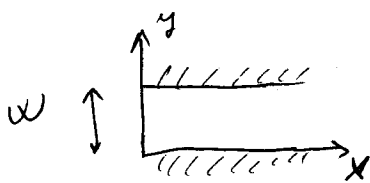






Hard wall:

Levegő $B=0$ és $U(y) = \begin{cases} 0, & 0 < y < a \\ \infty, & y=0 \text{ és } y=a \end{cases}$



$$U = \frac{p_x^2}{2m} + \frac{p_y^2}{2m} \Rightarrow H\psi = \epsilon\psi \Rightarrow$$

$$\psi(x,y) = \sin \frac{n\pi y}{W} e^{ikx}$$

$$E_n(k) = E_n + \frac{\hbar^2 k^2}{2m}, \text{ ahol}$$

$$E_n = \frac{n^2 \pi^2 \hbar^2}{2m W^2} = E_1 n^2, E_1 = \frac{\pi^2 \hbar^2}{2m W^2}$$

A keresztmetszetszám:
Máma:

$$M = n_{\max} = \text{Int} \left[\frac{E_F}{E_1} \right] = \left[\frac{k_F W}{\pi} \right], \quad \sqrt{2m E_F} = \hbar k_F$$

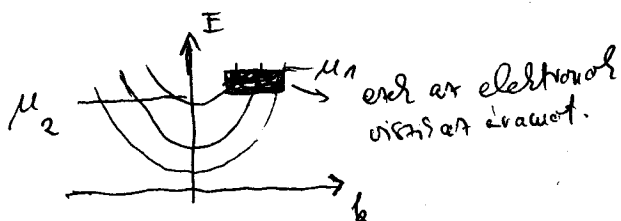
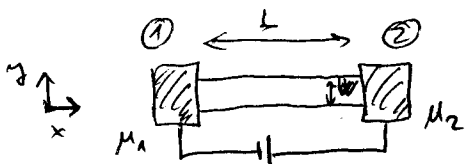
Normál félvezető M nagyon kicsi, mert λ_F kicsi és W nagy ($\sim 10^6$!)

Pl. heterozsziótor, $\lambda_F = 30 \text{ nm}$, $W = 15 \mu\text{m}$ $\Rightarrow M \approx 1000$

Vezető levezetésének kvantálása a transzmisszió alapján

Landauer-formula:

A vezeték átfolyó áramot az elektron transzmissziós valószínűségeiből számoljuk. Először vizsgáljuk a ballisztikus vezeték ellenállítását. Mivel nincs központum, azt várjuk, hogy zérus az ellenállás. Azonban kiderül, hogy a kontaktusok miatt mégis fellep ellenállás.



Feltevés: Reflectionless contact:

A kontaktusok az elektron nem verődik vissza.
Mindent elnyel. Csak emittál.
Ezt a feltevést Gafer, Stone ...
PRB, 62, 300 (199) numerikus
vizsgálta.

Reflectionless kontaktus esetén a $|+k\rangle$ elektron állapotok (csak, melyek a $+x$ irányban mozognak a hullámfüggvény) csak

a bal oldali kontaktusból származhatnak, ezért ök a μ_1 félsík potenciálú D -es kontaktussal vannak egyensúlyban.

A $|+k\rangle$ állapot kvázi Fermi-energiája μ_1

Hasonlóan a $| -k\rangle$ állapotok csak a jobb oldali kontaktusból jöhetnek. $| -k\rangle$ állapot kvázi Fermi-energiája μ_2

T=0 hőmérséklet: A'ram számolása: ψ -u módusok van egy $\epsilon_n(\epsilon)$

dispenziós relációja, és egy E_n cut-off energiája, mely alatt az elektron nem propagálódhat. $E_n = \epsilon(k=0)$

A kereszt módusok száma:

$$M(\epsilon) = \sum_n \Theta(\epsilon - E_n)$$

Teljesítmény egy módot ^{az összes} $|+k\rangle$ állapottal és $f^+(\epsilon_n)$ ^{betöltési} valószínűséggel

az n -dik módusra $\rightarrow I_n^+ = env = e \cdot \frac{1}{L} \sum_k \frac{1}{\hbar} \cdot \frac{\partial \epsilon_n}{\partial k} \cdot f^+(\epsilon_n) =$

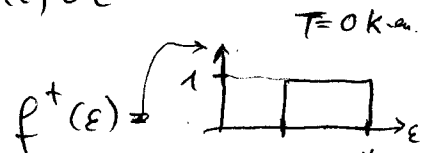
$n = \frac{1}{L}$ (L hosszban egy elektron halad) $\sum_k \Rightarrow 2 \cdot \frac{L}{2\pi} \int dk$ ^{↑ spin} ^{periodikus hat. felt.}

$$I_n^+ = \frac{e}{L} \cdot 2 \cdot \frac{L}{2\pi} \frac{1}{\hbar} \int_{E_n}^{\infty} dk \cdot \frac{\partial \epsilon_n}{\partial k} f^+(\epsilon) = \frac{2e}{\hbar} \int_{E_n}^{\infty} d\epsilon_n \cdot f^+(\epsilon_n)$$

Fizikailag véve az összes módot, adott ϵ energián és összerakva az egyes áramjártulékokat az egyes módusokból:

$$I^+ = \sum_n I_n^+ = \sum_n \frac{2e}{\hbar} \int_{E_n}^{\infty} d\epsilon f^+(\epsilon) = \frac{2e}{\hbar} \int_{-\infty}^{\infty} M(\epsilon) f^+(\epsilon) d\epsilon$$

kihagyva $M(\epsilon)$ alagját



Tfh. $M(\epsilon) = 1$, ha $\mu_1 < \epsilon < \mu_2$

$$\Rightarrow I^+ = \frac{2e}{\hbar} M(\epsilon) \cdot \int_{\mu_1}^{\mu_2} f^+(\epsilon) d\epsilon = \frac{2e}{\hbar} M(\epsilon) \cdot (\mu_1 - \mu_2)$$

csak a $\mu_1 - \mu_2$ energia tartományban lévő $|+k\rangle$ állapotok vesznek részt.

az alkalmasott V külső feszültség.

10

$$I^+ = \frac{2e^2}{h} M(\epsilon) \cdot \frac{\mu_1 - \mu_2}{e} = G_c \cdot V$$

$$G_c = \frac{2e^2}{h} M$$

→ kontaktus vezetése nélkül.

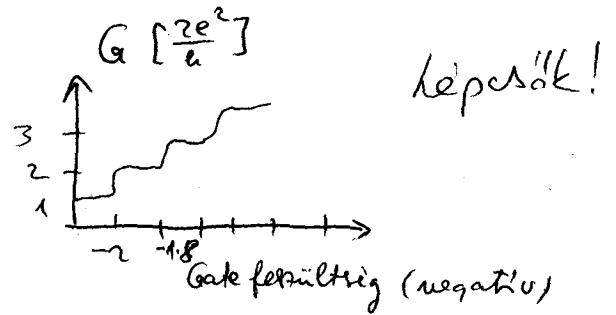
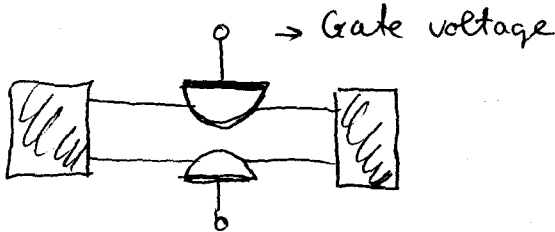
$$R_c = \frac{1}{G_c} = \frac{h}{2e^2} \frac{1}{M} = \frac{12.9 \text{ k}\Omega}{M}$$

kontakt ellenállás.

Ha M nagy (valószínűleg
nagy, homot fény), akkor
R_c elhanyagolható hiszen M nagy
pl. M ~ 10⁶)

Kísérlet:

B.F. Wees: PRL, 60, 848 ('88)



$\lambda_F \sim 30 \text{ nm}$, $W \sim 250 \text{ nm}$

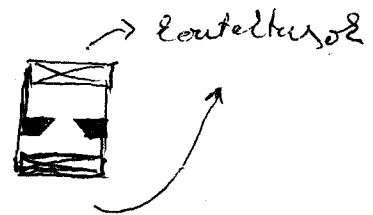
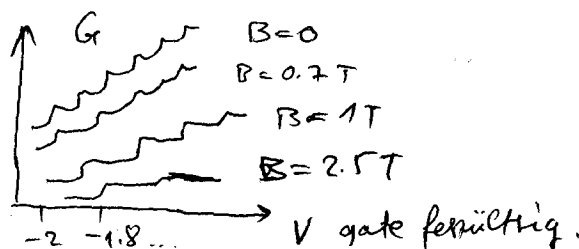
$M \sim \frac{\lambda_F W}{\pi}$ elég kicsi.

(Fólia)

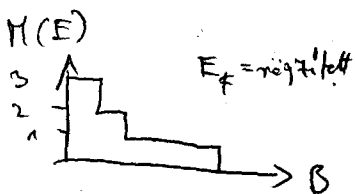
Kísérlet: Depopulation of subbands; keresztmódusok kiürítése
a B tér növelésével.

B.F. Wees et al. PRB, 38, 3625 ('88)

(Fólia)

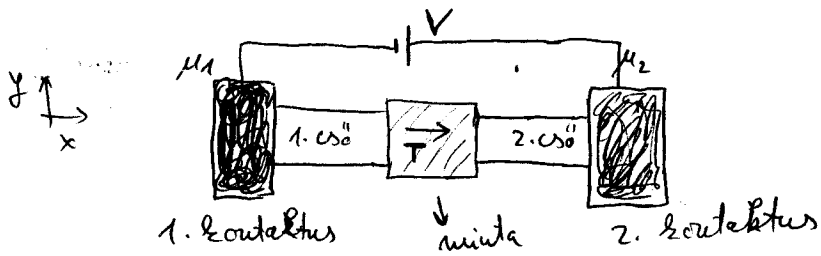


Látni szeretném

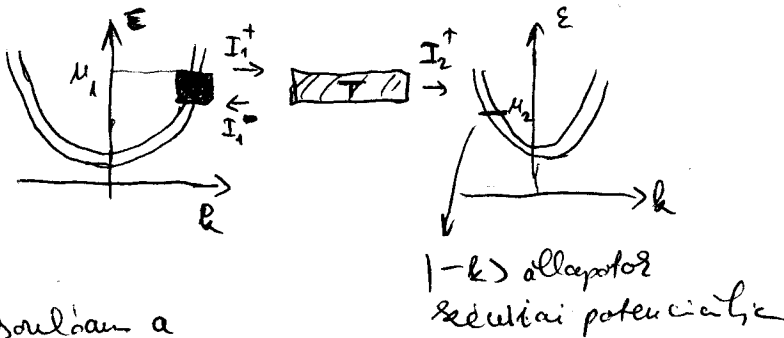


B-t növelve egyre kevesebb lett az M(B)
keresztmódusok máma rögzített Fermienergia

Landauer - formula:



Tfh.: a csővel ballisztikus



$|+k\rangle$ az 1. csőben
 csak az 1. kontaktusból
 jöhet (reflectionless
 contact miatt)
 Így a kémiai potenciál μ_1 lesz.

Maradnak a $| -k \rangle$ állapotok a 2. csőben csak a 2. kontaktusból jöhetnek

$| -k \rangle$ állapotok kémiai potenciálra



Az 1. csőből a miótaiba jövő áram:

$$I_1^+ = \frac{2e}{h} M (\mu_1 - \mu_2)$$

← alrálmentek az előző eredményt ballisztikus csőre. Csak a $\mu_1 - \mu_2$ energia ~~m~~üzeben lévő elektronok adnak áramot.

A kimenő áram a miótából:

$$I_2^+ = I_1^+ \cdot T = \frac{2e}{h} M T (\mu_1 - \mu_2), \text{ ahol } T \text{ a transzmissziós valószínűség a miótára.}$$

A maradék áram visszaverődik a miótától és be megy az 1. kontaktusba.

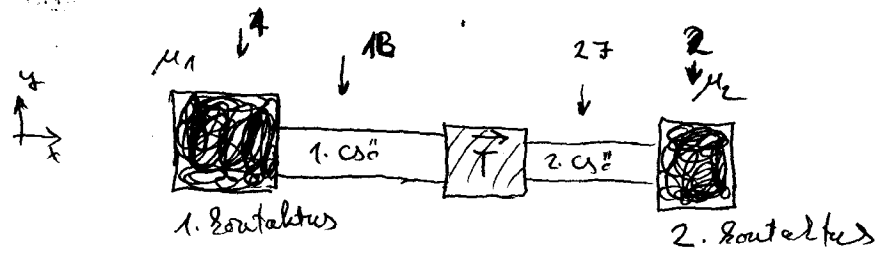
$$I_1^- = \frac{2e}{h} M (1-T) (\mu_1 - \mu_2)$$

A net áram:

$$I = I_1^+ - I_1^- = I_2^+ = \frac{2e}{h} M \cdot T \cdot (\mu_1 - \mu_2) = \frac{2e^2}{h} M \cdot T \cdot \frac{\mu_1 - \mu_2}{e}$$

$$\Rightarrow \boxed{G = \frac{2e^2}{h} M \cdot T} \text{ Ez a Landauer-formula.}$$

Kérdés: Be kell venni a kontaktusokat is a Landauer'séban?



Állítás: Elég M.T. mennyiséget 1B és 2F között számolni. (Ez egy csomó hámolási munkától ment meg!)

Biz: A Landauer-formulával csak a mintába bejövő elektronokat mérjük. Belátható, hogy "reflectionless" kontaktusok esetén az egyes csövekben a mintába bejövő állapotok termikus egyensúlyban vannak a megfelelő kontaktussal, így elég számolni M.T.-t 1B és 2F között.

Prüdet a "szövetkés" módon látható be: Az elektron, mely a 2. kontaktusból jön soha sem tölti be $|+k\rangle$ állapotot az 1. csőben, hiszen az az elektron a $| -k\rangle$ állapotot tölti be az 1. csőben, majd elmozdít az 1. kontaktusnál. Erőnt a $|+k\rangle$ állapot az 1. csőben csak az 1. kontaktusból jöhet. Így a száti Fermi-energiája (F^+) a $|+k\rangle$ állapotúak az 1. csőben múndig (még ha külső potenciált adunk a rendszernek) μ_1 . Használva a $| -k\rangle$ állapot a 2. csőben csak a 2. kontaktusból származhat, ezért a $| -k\rangle$ állapotok száti Fermi-energiája μ_2 .

Megj: A mintából kimenő elektronokra a fentiek nem igazak.

Pr: a $| -k\rangle$ állapot az 1. csőben néha jöhet a 2. kontaktusból a mintán való áthaladás során, másként az 1. kontaktusból a mintán való reflexió után. Így a $|+k\rangle$ állapotok energiájukat az 1. csőben nem lehet tudni. Használjuk a $|+k\rangle$ -ra a 2. csőben. De persze a Landauer-formula levezetéséhez nem kell tudni csak az állapotok energiájukat (száti potenciál). Csak a mintába bejövő állapotok energiájukat kell a levezetéshez.

Olem - fórvéy: Nagy miutára a Landauer - formulából megkaphatjuk az Olem fórvéy.

$$G = \frac{2e^2}{h} M \cdot T = \frac{2e^2}{h} \frac{e_F W}{\nu} T$$

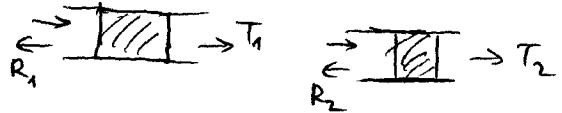
nagy miutára
Tudniad, hogy

$$\textcircled{*} = e^2 S_{2D} \cdot W \left(\frac{v_F}{\nu} T \right) \rightarrow T \propto \text{transmisszió USA.}$$

$S_{2D} = \frac{m}{h^2 \nu}$ 2DEG

Kérdés mennyi $T = ?$

Nézzük először két egyszerűt:

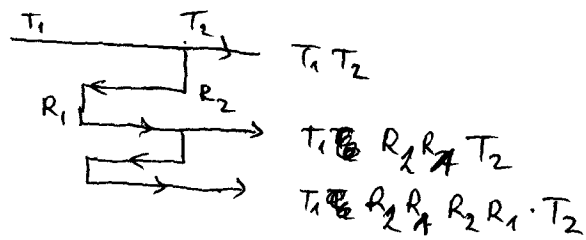


Att gondoljuk

$$T = T_1 T_2$$

Es hibás! Fingelambert kell

venni a reflexiókat.



$$T_{12} = T_1 T_2 + T_1 T_2 R_1 R_2 + T_1 T_2 R_1^2 R_2^2 + \dots = \frac{T_1 T_2}{1 - R_1 R_2}$$

Tudniad, hogy $R_1 = 1 - T_1$ és $R_2 = 1 - T_2$

$$\Rightarrow \boxed{\frac{1 - T_{12}}{T_{12}} = \frac{1 - T_1}{T_1} + \frac{1 - T_2}{T_2}}$$

Att $\frac{1-T}{T}$ mennyiség additív!

Legyen N db Möröcentrum sorban. $N = \nu L$, ahol ν az egyszerűen hossza a Möröcentrumoknak.

$$\frac{1 - T(N)}{T(N)} = N \cdot \frac{1 - T}{T} \Rightarrow T(N) = \frac{T}{N(1 - T) + T}$$

$$\Rightarrow T(L) = \frac{L_0}{L + L_0} \quad \text{és} \quad L_0 = \frac{T}{\nu(1 - T)}$$

$$G = \frac{W}{L + L_0} e^2 S_{2D} \cdot \frac{v_F L_0}{\nu} = \boxed{\frac{\sigma W}{L + L_0}}$$

Einstein reláció

$$\sigma = e^2 S_{2D} \cdot D$$

$$l^2 \sim \langle x^2 \rangle = D \tau$$

$$v_F \tau \sim D \Rightarrow D \sim \nu l$$

$$l \sim l_0 \Rightarrow D \sim \nu l_0$$

szabad elektronok

Mennyi $L_0 = ?$

L_0 az a hossz (atlagosan), melyet az elektron megtesz mielőtt Mörödna.

νL db Möröcentrum van a hosszon. Egy centrum általi rötés USA $= 1 - T$.

Így a USA, hogy Mörödi νL db centrumon $= (1 - T) \nu L$, de ez ≈ 1 , hiszen a szabad elektronok még feltétlenül már Mörödi az elektron.

az áram differenciál
 $J = -e D \cdot \text{grad } n = -e D \cdot \frac{S_{2D} (n_2 - n_1)}{L} \hat{x}$
 $-e^2 D \cdot S_{2D} \frac{n_2 - n_1}{|e| L} \hat{x} = -e^2 D S_{2D} E \Rightarrow \sigma = e^2 S_{2D} \cdot D$

$l_{gy} (1-T) v l \sim 1 \Rightarrow$

$l \sim \frac{1}{v(1-T)} = \frac{L_0}{T}$ ha $T \sim 1 \Rightarrow$

$\Rightarrow l \sim L_0$ Azaz L_0 az átlagos szabad úthossz

megszármadé.

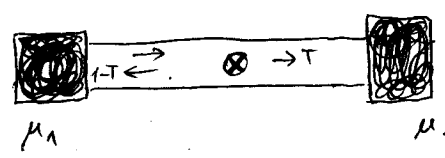
Az a tény, hogy $\frac{1-T}{T}$ additív jellegű \Rightarrow

ellenállás: $G^{-1} = \frac{h}{2e^2 \pi} \frac{1}{T} = \frac{h}{2e^2 \pi} + \frac{h}{2e^2 \pi} \frac{1-T}{T}$
 ↓ csak a szőrcentrumok jütulés
 ↓ "aktuális ellenállás".

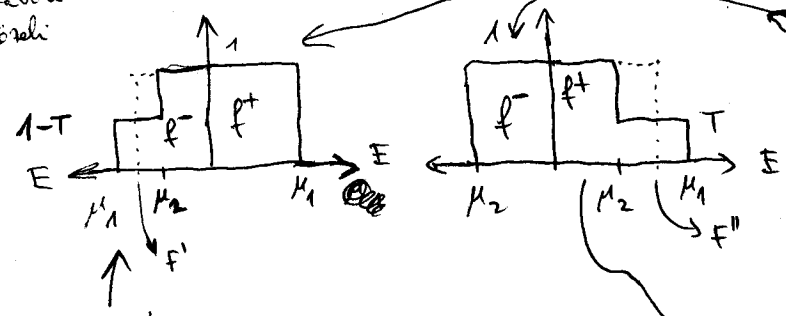
$G^{-1} = G_c^{-1} + G_s^{-1}$ (kontart ellenállás)

Energiaszabály

Elhangyoljard most az interferencia effektust és semielastikusan vezüel a rétekreket. Késöbb megnezzüel az S mátrixal is. $T=0K$ hőm.



--- tévoti
 — köröli



Szőrcentrumtól balra a $|+k\rangle$ állapot:

$f^+(E) = \Theta(\mu_1 - E)$

a $|+k\rangle$ a baloldalon eszményituban van az 1. kontaktussal.

Szőrcentrumtól jobbra a $|+k\rangle$ áll.:

$f^-(E) = \Theta(\mu_2 - E)$

$|+k\rangle$ állapot érmiai pot. = μ_2

Szőrcentrumtól balra $|+k\rangle$ áll.

\forall áll. be van töltve $E \leq \mu_2$ -ig.

De $\mu_1 - \mu_2$ rangeben

$1-T$ valószínűséggel van

betöltve a $|+k\rangle$ áll. Ezer az állapotok a 1. kontaktusból hármastal.

$f^-(E) = \Theta(\mu_2 - E) + (1-T) [\Theta(\mu_1 - E) - \Theta(\mu_2 - E)]$

Szőrcentrumtól jobbra a $|+k\rangle$ áll.

$E \leq \mu_2$ -ig \forall áll. betöltve.

$\mu_2 < E < \mu_1$ -re az állapot T valószínűséggel van be betöltve.

$f^+(E) = \Theta(\mu_2 - E) + T [\Theta(\mu_1 - E) - \Theta(\mu_2 - E)]$

csatlakozási ellenállás alakul ki.

A hirocentrumtól távol, balra: Bedél valóami F' értéke a Fermi-energia

$$f^-(E) \approx \Theta(F' - E)$$

A hirocentrumtól távol, jobbra: F'' lett a Fermi-energia

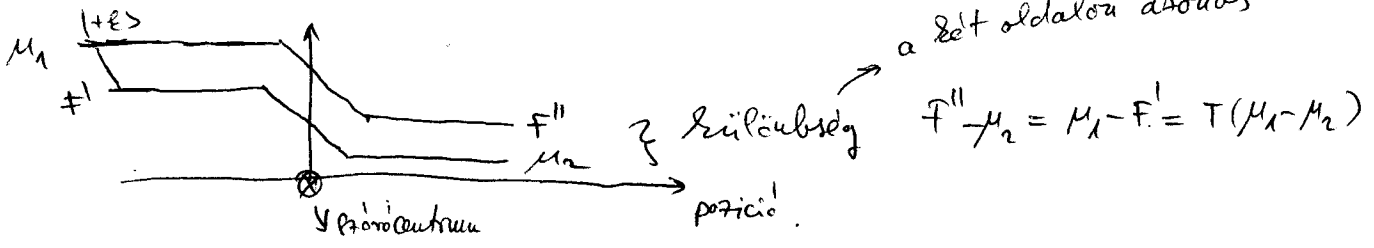
$$f^+(E) \approx \Theta(F'' - E)$$

F' és F'' állból határozható meg, hogy a ~~phases~~ F' és F'' nem változik.

(Fermi-energia átlagolás)

$$\begin{aligned} F' &= \mu_2 + (1-T)(\mu_1 - \mu_2) \\ F'' &= \mu_2 + T(\mu_1 - \mu_2) \end{aligned}$$

Kémiai potenciál a hely függvényében:



A potenciál értéke $\mu_1 - F'' = F' - \mu_2 = (1-T)(\mu_1 - \mu_2)$ mind $1 \gg \delta$ és $1 \gg -m$.

És a pot. értéke a hirocentrum körül van, így $= eV_s$ -sel azonosítható!

A $\frac{\mu_1 - \mu_2}{|e|}$ feszültséggel $(1-T)(\mu_1 - \mu_2)$ a hirocentrumon van, míg a maradék feszültség $(= \frac{I(\mu_1 - \mu_2)}{|e|})$ a kontaktuson van.

Ezzel az áttal:

$$I = \frac{2e^2}{h} M \cdot \frac{T(\mu_1 - \mu_2)}{|e|} = G_c V_c$$

A hirocentrum ellenállása:

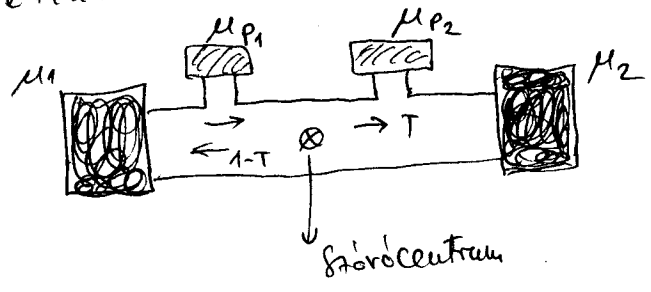
$$R_s = \frac{1}{G_s^{-1}} = \frac{V_s}{I} = \frac{\frac{1}{|e|} (1-T)(\mu_1 - \mu_2)}{\frac{2e^2}{h} M \frac{T(\mu_1 - \mu_2)}{|e|}} = \frac{h}{2e^2 M} \frac{1-T}{T}$$

és

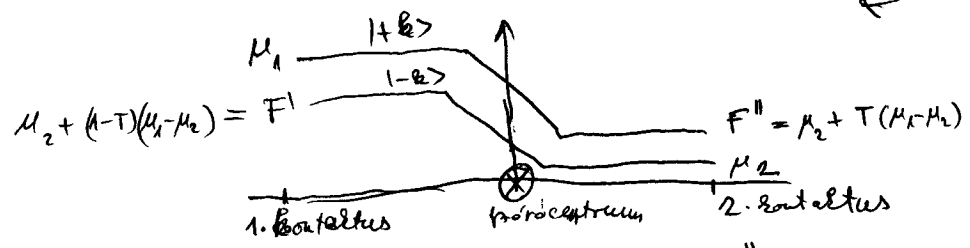
$$R_c = \frac{1}{G_c^{-1}} = \frac{V_c}{I} = \frac{h}{2e^2 M}$$

Mit mérjük?

Nézzük a 4 terminálos elrendezést!



↳ Korábban láttuk a Rényi potenciál helyfüggetlenségét.



$\mu_{P1} \approx \mu_1$ és $\mu_{P2} = F''$ → $|+k\rangle$ állapotra (használva $| -k\rangle$ -ra)

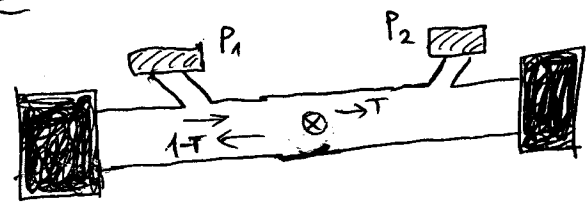
⇒ $\mu_{P1} - \mu_{P2} = \mu_1 - F'' = (1-T)(\mu_1 - \mu_2)$

Az áram $I = \frac{2e}{h} \pi \cdot T \cdot (\mu_1 - \mu_2)$ ← Ezt láttuk már korábban.

4-terminál ellenállás $R_{4t} = \frac{(\mu_{P1} - \mu_{P2}) / |e|}{I} = \frac{h}{2e^2 \pi} \cdot \frac{1-T}{T}$

Az eredmény nagyon függ az elrendezéstől és kvantuminterferenciától.

a) elrendezés: tekintjük az alábbi elrendezést:



A P_2 mélypontnál

a $|+k\rangle$ rézszebben tud belépni, mint a $| -k\rangle$ -val.

a $| -k\rangle$ állapotú elektron (esetleg többi) nagyobb valószínűséggel kerül a P_2 -nél megpróbál a $|+k\rangle$ áll. potenciáljával azonos közvetlenül jobbra a szórócentrumtól. Azaz: $\mu_{P2} = F''$

Használva a P_1 -nél $\mu_{P1} \approx T \cdot (\mu_1 - \mu_2) + \mu_2$
 $\mu_{P1} = F' = (1-T)(\mu_1 - \mu_2) + \mu_2$ ←

⇒ $R_{4t} = \frac{(\mu_{P1} - \mu_{P2}) / |e|}{I} = \frac{h}{2e^2 \pi} \cdot \frac{1-2T}{T}$!! $T > 0.5$ -re negatív ellenállás!

$|+k\rangle$ áll. elektronok nagy valószínűséggel kerülnek a P_1 -nél. $| -k\rangle$ -val lett érintve a P_1 -nél.

A gyakorlatban a vezetők mintha sokkal hosszabbak, mint a szabadúthossz. $T = \frac{L_0}{L+L_0} \ll 1 \Rightarrow$

$$\frac{1-T}{T} \approx \frac{1-2T}{T}$$

199 a gyakorlati elvárás nem olyan nagy elvárás az ellenértékben. De óvatossággal kell lenni!

b.) Kvantuminterferencia:

Az interferencia befolyásolja a mért feszültséget a mérőpontnál. Pé. az eredmény függ, hogy hol van a forráscentrum ha feltesztük, hogy a kötés koherens a teljes mintában. Később az S mátrix segítségével konkrét példát látnunk erre. (Datta, Ex. 3.1.)

Er egy jelenség arra is, hogy a nemrelativisztikus körülmények között. Eddig az elvileg $f(E)$ -t néztük a $|+\rangle$ és $|-\rangle$ állapotokra. Használó módon számolva a p-u transzmisszióval is csatlakoztatva és lyuk van. Azonban fázis koherens mintában a $|+\rangle$ és $|-\rangle$ állapotok erősen korrelálhatók. \Rightarrow Az $f(E)$ Fermi-elvileg f . helyett a sűrűség-mátrix leírás a helyesebb. Er egy másik story...

A továbbiakban a több terminálos fázis koherens mintát a mért áramok és feszültségek alapján jellemezzük. Ezzel megérjük azt a kérdést, hogy milyen belső elektronállapotai vannak a vezetőknek. Először Büttiker dolgozta ezt ki.

Büttiker-formula:

$$I = \frac{ze}{h} M \cdot T \cdot (\mu_1 - \mu_2) = \frac{ze}{h} \bar{T} (\mu_1 - \mu_2), \quad \bar{T} = M \cdot T$$

\hookrightarrow két-terminál eset.

Kikeménytől több terminálra:

$$I_a = \frac{ze}{h} \sum_b (\bar{T}_{a \leftarrow b} \mu_b - \bar{T}_{b \leftarrow a} \mu_a) \quad \leftarrow \begin{matrix} V = \mu/e \\ \Rightarrow \end{matrix}$$

az áram ellentétes az el. transfer irányával. a μ az el. transfer irányára.

$$\Rightarrow I_a = \sum_b (G_{ab} V_b - G_{ba} V_a), \quad \text{ahol } G_{ba} = \frac{ze^2}{h} \bar{T}_{b \leftarrow a}$$

$\forall I_q = 0$, ha V_p az összes terminálra azonos.

$$\sum_b G_{ab} = \sum_b G_{ba}$$

összeg szabály, lásd még Datta 123-ald. S mátrix kapcsolat.

Ezt felhasználva (és az $I_p = 0$ az első terminálból V_p -t kiemelve)

Büttiker-formula

$$I_a = \sum_b G_{ab} (V_b - V_a) \quad \text{ahol } G_{ab} = \frac{ze^2}{h} \bar{T}_{b \leftarrow a}$$

" G_{ba} -ba pakoltuk a kvantummechanikát"

A Büttler-formula használó a Kirchhoff-törvények, ha a \underline{B} mágneses tér zérus. $\underline{B} \neq 0$ esetén

$$G_{ba}(\underline{B}) \neq G_{ab}(\underline{B})$$

Nem szimmetrikus, ami kell, hogy teljesüljön a Kirchhoff törvény.

Igaz az, hogy

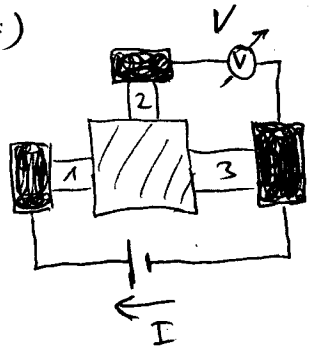
$$G_{ab}(\underline{B}) = G_{ba}(-\underline{B})$$

Szimmetrikus \underline{G} , ha \underline{B} irányát ellentétesre változtatjuk.

Kísérletileg ez (a lineáris valós tartományban) mindig teljesült függetlenül a transzport, jellegétől, a fizikai rétektől. Az \underline{S} mátrix segítségével be fogjuk látni a fenti összefüggést koherens transzport esetén. (Data: 123-124. oldal!)

Példa: a)

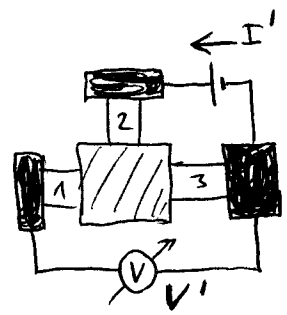
3. terminál:



$$R_{3t} = \frac{V}{I}$$

Felhasználva a Büttler-formulát

I, V cseréje fordított elrendezés



$$R'_{3t} = \frac{V'}{I'}$$

$$\begin{pmatrix} I_1 \\ I_2 \\ I_3 \end{pmatrix} = \begin{bmatrix} G_{12} + G_{13} & -G_{12} & -G_{13} \\ -G_{21} & G_{21} + G_{23} & -G_{23} \\ -G_{31} & -G_{32} & G_{31} + G_{32} \end{bmatrix} \begin{pmatrix} V_1 \\ V_2 \\ V_3 \end{pmatrix}$$

Es $I_1 + I_2 + I_3 = 0 \Leftrightarrow$ Az összterhelésből következik. Az áramok a feszültségkülönbségektől függenek, ezért vehetjük pl. $V_3 = 0$ -nak.

$$\begin{pmatrix} I_1 \\ I_2 \end{pmatrix} = \begin{pmatrix} G_{12} + G_{13} & -G_{12} \\ -G_{21} & G_{21} + G_{23} \end{pmatrix} \begin{pmatrix} V_1 \\ V_2 \end{pmatrix}$$

Invert:

$$\begin{pmatrix} V_1 \\ V_2 \end{pmatrix} = \begin{pmatrix} R_{11} & R_{12} \\ R_{21} & R_{22} \end{pmatrix} \begin{pmatrix} I_1 \\ I_2 \end{pmatrix}, \text{ ahol } \underline{R} = \begin{bmatrix} G_{12} + G_{13} & -G_{12} \\ -G_{21} & G_{21} + G_{23} \end{bmatrix}^{-1}$$

\Rightarrow Ha R_{3t} -t akarjuk megmutatni, akkor $I_2 = 0$ (hiszen ide G_{21} nagy ellenállású ∇ voltmérő van kapcsolva, melyen egy elküszöbölhető áram folyik.

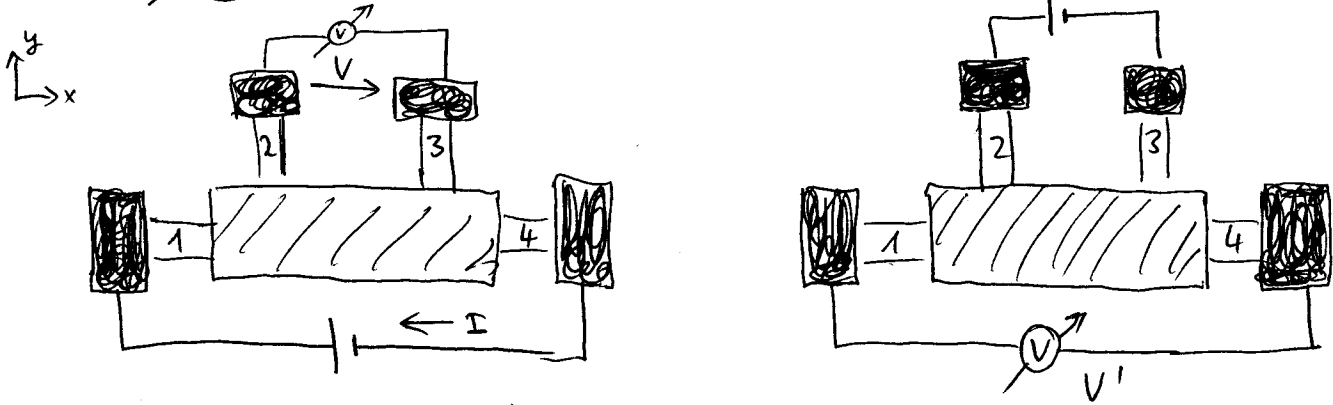
$$\Rightarrow R_{3t} = \frac{V}{I} = \frac{V_2}{I_1} \Big|_{I_2=0} = R_{21}$$

(Nektek $V_3 = 0$ volt!))

Hasoldéan a fordított elrendezésre:

$$R'_{3t} = \frac{V'}{I'} = \frac{V_1}{I_2} \Big|_{I_1=0} = R_{12}$$

b.) 4-terminal:



Leopon $V_4 = 0$

$$\begin{pmatrix} I_1 \\ I_2 \\ I_3 \end{pmatrix} = \begin{bmatrix} G_{12} + G_{13} + G_{14} & -G_{12} & -G_{13} \\ -G_{21} & G_{21} + G_{23} + G_{24} & -G_{23} \\ -G_{31} & -G_{32} & G_{32} + G_{33} + G_{34} \end{bmatrix} \begin{pmatrix} V_1 \\ V_2 \\ V_3 \end{pmatrix}$$

Invert:

$$\Rightarrow \begin{pmatrix} V_1 \\ V_2 \\ V_3 \end{pmatrix} = R \begin{pmatrix} I_1 \\ I_2 \\ I_3 \end{pmatrix}$$

$$I_1 + I_2 + I_3 + I_4 = 0$$

$$\text{és } I_1 + I_4 = 0$$

$$R_{4t} = \frac{V}{I} = \frac{V_2 - V_3}{I_1} \Big|_{I_2=I_3=0} = R_{21} - R_{31}$$

Hasoldéan a fordított elrendezésre: ($V_4 = 0$ feltétel)

$$R'_{4t} = \frac{V'}{I'} = \frac{V_1}{I_2} \Big|_{I_1=0, I_2=-I_3} = R_{12} - R_{13}$$

Reciprocitás

Mezroszkópius Hall mérésnél $R_{4t} \Leftrightarrow S_{xx}$ és Onsager termodinamika segítségével bebizonyítható, hogy

$$S_{xx}(B) = S_{xx}(-B) \Rightarrow R_{4t}(B) = R_{4t}(-B)$$

Mezroszkópius rendszerben R_{4t} fluktuál B függvényében, mert a véletlen nem többnyire károsol amplitudói interferenciával. Később ezt részletesebben vizsgáljuk. Így nem várható, hogy

$$R_{4t}(B) = R_{4t}(-B) !$$

Aróban tetőleges alaki mátrixokéus vesekőre
négita íment, hogy $\underline{B} \rightarrow -\underline{B}$ és a $\underline{I} \leftrightarrow V$ csere
után a mért ellenállás nem változik.

Az előző példában

$$R_{3t} (+\underline{B}) = R'_{3t} (-\underline{B}) \text{ vagy } R_{4t} (+\underline{B}) = R'_{4t} (-\underline{B})$$

Er a reciprocitási feltétel. Először termodinamiai úton
bizonyították.

Allítás: A reciprocitás igaz mátrixokéus rendszere is
R.A. Webb et al. Physics Today 41, 52 (1988).

Kibontakozva a reciprocitást a konduktanciára (korábban láttuk
de nem bizonyítottuk)
Egyszerű \underline{G} -mátrix
segítségével bizonyítottuk

$$G_{qp}(\underline{B}) = G_{pq}(-\underline{B})$$

Innen levetészi: ($\underline{R} = \underline{G}^{-1}$):

$$\underline{R}^{-1} |_{\underline{B}} = \widetilde{\underline{R}^{-1}} |_{-\underline{B}}$$

transponált

Mivel $\underline{R}^{-1} = [\widetilde{\underline{R}}]^{-1}$

$$\Rightarrow \underline{R} |_{\underline{B}} = (\underline{R}^{-1})^{-1} |_{\underline{B}} = [\widetilde{\underline{R}^{-1}}]^{-1} |_{-\underline{B}} = [(\widetilde{\underline{R}})^{-1}]^{-1} |_{-\underline{B}} = \widetilde{\underline{R}} |_{-\underline{B}}$$

$$\Rightarrow \underline{R}(\underline{B}) = \widetilde{\underline{R}}(-\underline{B})$$

Innen pl. 3 és 4 terminál mértésnél:

$$R_{31} |_{\underline{B}} = R_{13} |_{-\underline{B}} \quad R_{21} |_{+\underline{B}} = R_{12} |_{-\underline{B}}$$

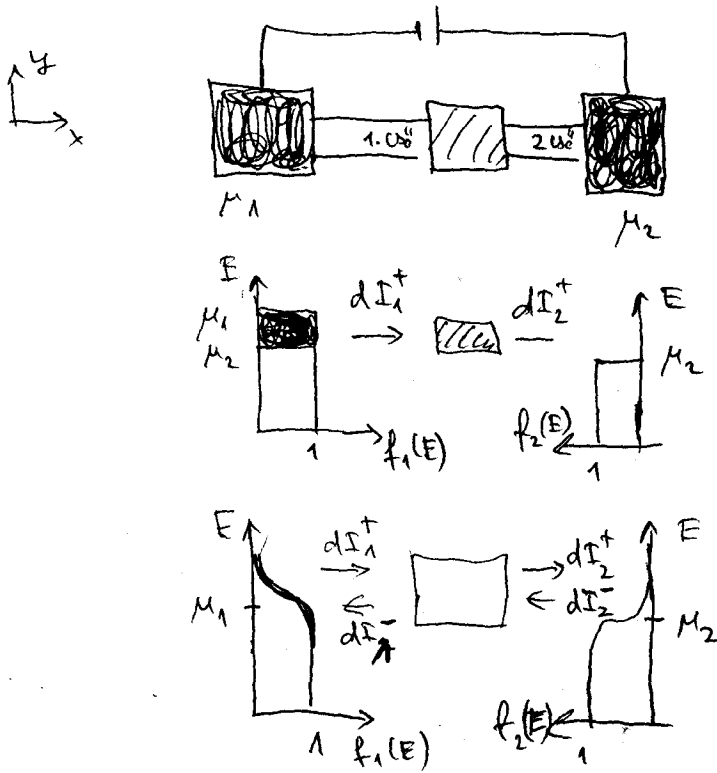
$$\Rightarrow \underline{R}_{3t} |_{\underline{B}} = \underline{R}_{21} |_{\underline{B}} = \underline{R}_{12} |_{-\underline{B}} = \underline{R}'_{3t} |_{-\underline{B}}$$

$$\text{és } \underline{R}_{4t} |_{\underline{B}} = \underline{R}_{21} - \underline{R}_{31} |_{\underline{B}} = \underline{R}_{31} - \underline{R}_{13} |_{-\underline{B}} = \underline{R}'_{4t} |_{-\underline{B}}$$

A reciprocitás tulajdonság kiterjesztés kimutatása volt az egyik
fontos alkalmazásuk a Böttcher-formulánál.

További ("velős") alkalmasításra lásd Data Ex. 2.3, Ex. 2.4.

Neu zérus hőmérséklet, $T \neq 0$



Korábban $T=0K$ esetén a transzport $1 \rightarrow 2$ -be történt, fordítottan nem.

Most $T \neq 0K$ esetén van a mintába beemelő áram a jobb kontaktusból (dI_2^-)

Az 1. kontaktusból a mintába emelő áram dE energián belül:

$$dI_1^+ = \frac{ze}{h} M f_1(E) dE$$

$$\text{ahol } f_1(E) = \frac{1}{e^{(\beta(E-\mu_1))} + 1}$$

$$dI_2^- = \frac{ze}{h} M' f_2(E) dE$$

A 2. csőből visszemelő áram: $dI_2^+ = T dI_1^+ + (1-T') dI_2^-$

Az 1. csőből visszemelő áram: $dI_1^- = (1-T) dI_1^+ + T' dI_2^-$

A net áram:

$$dI = dI_1^+ - dI_1^- = dI_2^+ - dI_2^- = T dI_1^+ + (1-T') dI_2^- - dI_2^- = T dI_1^+ - T' dI_2^- = \frac{ze}{h} [M(E)T(E) f_1(E) - M'(E)T'(E) f_2(E)] dE$$

jelölés: $\bar{T}(E) = M(E)T(E)$

$$I = \frac{ze}{h} \int \bar{T}(E) [f_1(E) - f_2(E)] dE, \text{ ha } \bar{T}(E) = \bar{T}'(E) \text{ miért igaz ez?}$$

↓
Egyensúlyban $f_1 = f_2 \Rightarrow I = 0 \Rightarrow$
Alkalmában zéró feszültségre $\bar{T}(E) \neq \bar{T}'(E)$ a De
ha nincs rugalmatlan kötés,
akkor ez igaz még $E \neq 0$
esetén is. Lásd későbbi
szigorúbb indoklást zoharus
veselőkre.

Lineáris válasz:

Ha $\mu_1 = \mu_2 \Rightarrow I = 0$ és o.k. ($f_1(E) = f_2(E)$)

Legyen $\mu_1 \neq \mu_2$, de $\mu_1 - \mu_2$ kicsi.

Ekkor az előbbi zárlathoz:
$$\delta I = \frac{2e}{h} \int \left[\bar{T}(E) \Big|_{eq} \cdot \delta(f_1 - f_2) + (f_1 - f_2) \Big|_{eq} \cdot \delta(\bar{T}(E)) \right] dE$$

és Taylor sorfejtes $\delta(f_1 - f_2) - +$

$$\delta(f_1 - f_2) \approx (\mu_1 - \mu_2) \cdot \frac{\partial f_0}{\partial \mu} \Big|_{eq} = - \frac{\partial f_0}{\partial E} (\mu_1 - \mu_2), \quad f_0 = \frac{1}{e^{\beta(E - \mu)} + 1} \Big|_{\mu = E_F}$$

0. rendű tag zérus

Így
$$G = \frac{\delta I}{(\mu_1 - \mu_2)/e} = \frac{2e^2}{h} \int \bar{T}(E) \cdot \left(- \frac{\partial f_0}{\partial E} \right) dE$$

Alacsony hőmérsékleten: $f_0 \approx \theta(E_F - E) \Rightarrow - \frac{\partial f_0}{\partial E} = \delta(E_F - E)$

$$\Rightarrow G = \frac{2e^2}{h} \bar{T}(E_F)$$

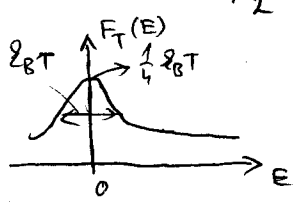
Miért jó a lin. válasz?

Bevallom és $f_1(E) - f_2(E) - +$

$$f_1(E) - f_2(E) = \int_{\mu_2}^{\mu_1} \left(\frac{d}{dE'} \frac{1}{e^{\beta(E-E')} + 1} \right) dE' = \int_{\mu_2}^{\mu_1} \left[- \frac{d}{d(E-E')} \cdot \frac{1}{e^{\beta(E-E')} + 1} \right] dE'$$

Legyen

$$F_T(E) = - \frac{d}{dE} \cdot \frac{1}{e^{\beta E} + 1} = \frac{1}{4k_B T} \cdot \frac{1}{ch^2 \frac{\beta E}{2}}$$



Ekkor
$$f_1(E) - f_2(E) = \int_{\mu_2}^{\mu_1} F_T(E - E') dE'$$

At atom (az lap vége):

$$I = \frac{2e}{h} \int \bar{T}(E) \left[\int_{\mu_2}^{\mu_1} F_T(E - E') dE' \right] dE =$$

$$= \int_{\mu_2}^{\mu_1} \frac{2e}{h} \left[\int_{-\infty}^{\infty} \bar{T}(E) F_T(E - E') dE \right] dE' = \frac{1}{e} \int_{\mu_2}^{\mu_1} \hat{G}(E') dE'$$

ahol
$$\hat{G}(E') = \frac{2e^2}{h} \int \bar{T}(E) F_T(E - E') dE$$

A $\delta\mu = \mu_1 - \mu_2$ alkalmasított feszültségre a rendszer, akkor ad lineáris választ ha $\hat{G}(E)$ nem függ E-től az $\mu_1 > E > \mu_2$ energiarangban.

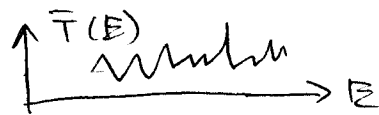
$$I = \hat{G}(E_F) \frac{\mu_1 - \mu_2}{e}, \text{ ahol}$$

$$G = \hat{G}(E_F) = \frac{2e^2}{h} \int \bar{T}(E) F_T(E - E_F) dE =$$

$$= \frac{2e^2}{h} \int \bar{T}(E) \left[-\frac{d}{dE} \frac{1}{e^{\beta(E - E_F)} + 1} \right] dE$$

$\Downarrow \left. \frac{-2f_0}{\partial E} \right|_{\mu = E_F}$

És pedig az az eredményt, amit korábban δE számolásból kaptunk. Az $F_T(E)$ egy sima fű, korrelálva $\bar{T}(E)$ -vel $\hat{G}(E)$ ritimul. Aztalában $\bar{T}(E)$ vadul fluktual az interferenciák miatt.



ha L_p nagy és T hőmérséklet kicsi. Ezt simítja az $F_T(E)$ fű. A hőmérséklet „simítja”. $\hat{G}(E)$ csak a $k_B T$ skálán változik, egyebkent relatíve sima fű.

logy választ lineáris, ha $\mu_1 - \mu_2 \ll k_B T$

A mérésnél ezt mindig tartják. Van egy másik energia skála is. Ha L_p a koherencia hossz, akkor $L_p = D\tau_p$

$E_c \equiv \frac{\hbar}{\tau_p}$ korrelációs energia $E_c \approx 0.006 \text{ meV}$, ha $\tau_p = 100 \text{ ps}$

És néha lehet nagy ekkor $\bar{T}(E)$ E_c skálán változik. logy aztalában a lin. választ jó, ha $\mu_1 - \mu_2 \ll k_B T + E_c$

Több terminál eset (2-keirentés):

$$I_b = \int \frac{ze}{h} \sum_a [\bar{T}_{ab}(E) f_b(E) - \bar{T}_{ba}(E) f_a(E)] dE$$

összegyhabály: $\sum_a \bar{T}_{ab}(E) = \sum_a \bar{T}_{ba}(E)$

És nem egyenlőség, mert csak akkor igaz, ha nincs rugalmatlan átvitel.

$$\Rightarrow I_b = \frac{ze}{h} \sum_a \bar{T}_{ba}(E) [f_a(E) - f_b(E)]$$

lineáritalva (ahogy előbb láttuk)

$$I_b = \sum_a G_{ba} (V_b - V_a)$$

ahol $G_{ba} = \frac{2e^2}{h} \int \bar{T}_{ba}(E) \left(-\frac{df_0}{dE} \right) dE$

$T \rightarrow 0 \Rightarrow G_{ba} = \frac{2e^2}{h} \bar{T}_{ba}(E_F)$

Lehet-e probahőmérsékleten megfigyelni a kvantált konduktaúcia lépéseket?

Ha constriction, W elég kicsi, akkor pl. hard-wall \rightarrow dispersive rel. Φ confining potentialal becsülve $E_1 = E_1(k=0) = \frac{\hbar^2 v^2}{2mW^2}$

$m = m_e$ tömeggel;

$$E_1 = \frac{10^5}{W^2 [A^2]} [K] \Rightarrow \begin{aligned} &= 64 \text{ mK}, \quad W = 250 \text{ nm} \\ &= 40 \text{ K}, \quad W = 100 \text{ \AA} = 10 \text{ nm} \\ &= 400 \text{ K!}, \quad W = 10 \text{ \AA} = 1 \text{ nm} \end{aligned}$$

log. rászállando' mellelsgü csövelben mat a lépéseket nem lehet el a $F_T(E)$ függvény (einer mellelsgü E_T) adár probahőmérsékleten. Erel becsülve. De mat kísérletileg kimutatható!! Főlc

Pauli-elv?

Vajon módosítani kell az áramképletet a Pauli-elv miatt.

$$I_a = \int \frac{ze}{h} \sum_b [\bar{T}_{ab}(E) f_b(E) - \bar{T}_{ba}(E) f_a(E)] dE$$

\uparrow $f_b \cdot (1-f_a)$ \uparrow $f_a(1-f_b)$

Ha figyelembe vesszük és átrendezzük $I_b \rightarrow I_a$, kapjuk

$$I_a = \int \frac{ze}{h} \sum_b [\bar{T}_{ab} f_b - \bar{T}_{ba} f_a] - (\bar{T}_{ab} - \bar{T}_{ba}) \cdot f_b f_a$$

Ha $\bar{T}_{ab} = \bar{T}_{ba}$, akkor az extra tag zérus. ez az extra tag.

log nem lényeges, hogy figyelembe vesszük a Pauli-elvet vagy nem. Korábban (1930-tól hátra) a tunnelési probléma Erel (pl. tranzistor) mindig figyelembe vettük a Pauli-elvet.

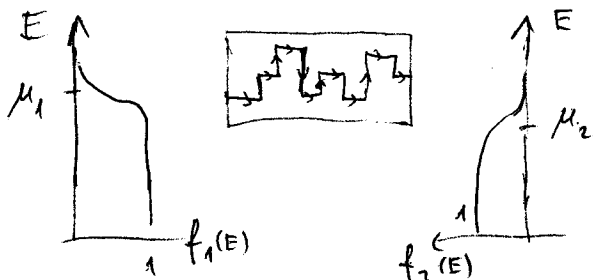
Két-terminal rendszerrel $\bar{T}_{12} = \bar{T}_{21}$ mindig igaz az östregmabák miatt. Erel nem került felde korábban az a kérdés.

Amikor $\underline{B} \neq 0$ mértékesül ált. $\bar{T}_{ab} \neq T_{ba}$. Igy a Pauli-elv miatt van az a, az eredmény, a létezési fog.

Megmutatjuk, hogy **koherens vezetők: $T_{ab} = T_{ba}$**

(Az 1-f tényezővel a linearitás I-ben (ahogy est) előbb tettük) bizonyítható. Eiferésre vezet.

Neu koherens rugalmas transport: $L \gg L_y$

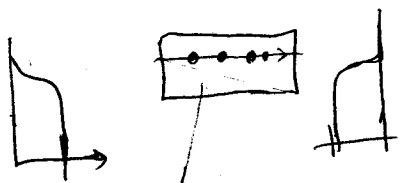


"Vertical flow"
Az elektron kitérítése "energia csatorna" mentén történik általában.

~~De az~~ Igy az electron transport rugalmatlan és az 1-f faktor kell.

Ha feltesszük, hogy a transport rugalmas, akkor nincs energia disszipáció. Az impulzus relaxáció (váltakoz) eredményt ellenállást. (Az energia csak az egyensúlyt biztosítja.)

Et a feltevés



Nincs "vertical-flow".
⇒ rugalmas transport.
Csak energiacsatornákat lehet a transport.

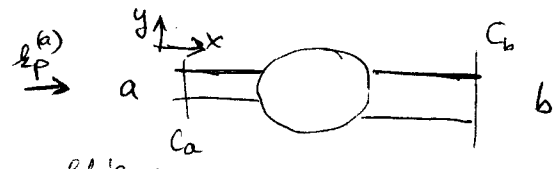
fázis ugrásról lehetnek (neu koherens transport)

Et a model (**neu koherens rugalmas transport**) gyakran monyor/és az **1-f faktor sem kell** (szó koherens vezetők összekapcsolva, de ~~afon~~ energia csatornákon történik a transport) et a koherens rugalmas mozgás, melyre be fogjuk látni (hogy nem kell 1-f faktor.)

Ha $\mu_1 - \mu_2 + \text{nehány } \epsilon_{BT} \ll \epsilon_c$ (ahol ϵ_c az az energia, melyben a transmissio $T(E)$ uniform.)
akkor még "vertical-flow" esetén is jó a Büttiker-formula", nem kell 1-f faktor.

Közhelyes vezeték:

Elektron mértékét két ferromet. B. tev.



Sch.-egyenlet megoldása:

Tfh.: az "a" oldalán beérkező $\chi_p^{(a)}(y_a) \frac{1}{\sqrt{L}} e^{+ik_p^{(a)} x_a}$ elektron

$\chi_p^{(a)}$ a p. módus keresztirányú hullámf.-e az "a" oldalán.

Az elektron energiája: E_F , így pl. Hard-wall-ra:

$$E_F = \frac{\hbar^2}{2m} \left[(k_p^{(a)})^2 + \frac{p^2 \hbar^2}{W_a^2} \right] \Rightarrow \frac{\hbar^2}{2m} k_p^{(a)2} = E_F = \frac{\hbar^2}{2m} \left\{ [k_p^{(a)}]^2 + \frac{p^2 \hbar^2}{W_a^2} \right\}$$

$$\Rightarrow k_p^{(a)} = \sqrt{k_F^2 - \frac{p^2 \hbar^2}{W_a^2}}$$

L hosszúsága az "a" oldal, így normál a hullámf.

Más esetben $\chi_p^{(a)}$ bomlóhullám (erősebb B-teszt is függ....) de $k_F = k_p + ?$ felbontás vigye lehelteges, mint a H-t ábránál.

Az "a" oldalán a megoldás:

$$\psi_p^{(a)}(x_a) = \chi_p^{(a)}(y_a) \frac{1}{\sqrt{L}} e^{+ik_p^{(a)} x_a} + \sum_{m \in a} \hat{r}_{mp}^{(aa)} \frac{1}{\sqrt{L}} e^{-ik_m^{(a)} x_a}$$

$\rightarrow \psi_p^{(a)}(x_a)$ -ban

A "b" oldalán a megoldás:

$$\psi_p^{(b)}(x_b) = \sum_{m \in b} \hat{t}_{mp}^{(ba)} \chi_p^{(b)}(y_b) \frac{1}{\sqrt{L}} e^{ik_m^{(b)} x_b}$$

P index csak a beérkező elektron p-ből jött.

A Ca keresztmetszetek átmenő áramviselkedés:

$$j_p^{(a)} = + \frac{e \hbar}{2m} (\psi \text{ grad } \psi^* - \psi^* \text{ grad } \psi) =$$

$$= \frac{e \hbar}{2m} \frac{1}{L} \left\{ \left(\chi_p^{(a)}(y_a) e^{i k_p^{(a)} x_a} + \sum_m \hat{r}_{mp}^{(aa)} \chi_m^{(a)} e^{-i k_m^{(a)} x_a} \right) \left(\chi_p^{*(a)}(-i k_p) e^{-i k_p^{(a)} x_a} + \sum_m \hat{r}_{mp}^{*(aa)} (+i k_m^{(a)}) e^{+i k_m^{(a)} x_a} \right) \right\}$$

$\hat{X}_a \rightarrow \text{c.c}$

$$I_p^{(a)} = \int_{C_a} j_a dy_a \cdot \hat{X}_a = \frac{1}{L} \frac{e \hbar}{2m} \left\{ \int_{C_a} dy_a (-i k_p^{(a)}) \chi_p^{(a)} \chi_p^{*(a)} + \sum_{m \neq n} \int_{C_a} dy_a (+i k_n^{(a)}) \hat{r}_{mp}^* \hat{r}_{np} e^{i(k_m^{(a)} - k_n^{(a)}) x_a} \chi_m^{(a)} \chi_n^{*(a)} \right\}$$

$\rightarrow \text{c.c} + \text{a keresztmetszet közötti egyenlőség} \} =$

$$I_P^{(a)} = \frac{e\hbar}{m} \frac{1}{L} k_p^{(a)} - \frac{e\hbar}{m} \frac{1}{L} \sum_n \hat{r}_{mp}^{(aa)} \hat{r}_{mp}^{*} k_m^{(a)} =$$

$$= \frac{e\hbar}{m} \frac{k_p^{(a)}}{L} \left[1 - \sum_{n \in a} \hat{r}_{mp}^{(aa)} \hat{r}_{mp}^{*} \right],$$

Masolban Ertudoljuk
alabb a jobb oldal
is $I_P^{(b)} - t$ is atam marad
Tudval $I_P^{(a)} = I_P^{(b)} \Rightarrow$

ahol $\left\| \hat{r}_{mp}^{(aa)} \right\| = \left\| \hat{r}_{mp}^{(aa)} \sqrt{\frac{k_m^{(a)}}{k_p^{(a)}}} \right\|$

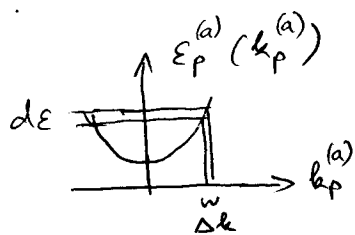
$$1 = \sum_{n \in a} |r_{mp}|^2 + |t_{mp}|^2$$

$$f^{(a)}(\epsilon) = \frac{1}{e^{\beta(\epsilon - \mu_a)} + 1}$$

A C_a -n atmenő teljes áram.

$$I|_{C_a} = \sum_P I_P^{(a)} = \frac{1}{L} \int \sum_P \frac{e\hbar}{m} k_p^{(a)} \cdot \rho_P^{(a)}(\epsilon) \cdot f^{(a)}(\epsilon) d\epsilon \left[1 - \sum_n |r_{mp}|^2 \right] =$$

$\rho(\epsilon) = ?$



$$\Delta k = d\epsilon \cdot \frac{1}{\frac{d\epsilon_P^{(a)}(k_P^{(a)})}{dk_P^{(a)}}} = d\epsilon \frac{1}{\frac{\hbar^2 k_P^{(a)}}{m}}$$

Hard-wall-ra

$$\epsilon_P^{(a)}(k_P^{(a)}) = \frac{\hbar^2}{2m} \left[(k_P^{(a)})^2 + \frac{p_{Fa}^2}{W_a^2} \right]$$

$$\rho_P^{(a)}(\epsilon) = 2 \frac{L}{2\pi} \frac{\Delta k}{d\epsilon} = \frac{L}{\pi} \frac{m}{\hbar^2} \frac{1}{k_P^{(a)}}$$

$$\Rightarrow I|_{C_a} = \int \frac{1}{L} \frac{e\hbar}{m} k_p^{(a)} \cdot \frac{L}{\pi} \frac{m}{\hbar^2} \frac{1}{k_p^{(a)}} f^{(a)}(\epsilon) d\epsilon \left[\sum_{P \in a} 1 - \sum_{n \in P} |r_{mp}|^2 \right] \Rightarrow$$

$$I|_{C_a} = \frac{2e}{h} \int f^{(a)}(\epsilon) \left[M_a - \sum_{\substack{n \in a \\ m \in a}} \left(\hat{r}_{mn}^{(aa)} \right) \left(\hat{r}_{mn}^{(aa)*} \right) \right] d\epsilon$$

Masolban a C_b -n atmenő áram:

$$I|_{C_b} = \frac{2e}{h} \int f^{(a)}(\epsilon) \sum_{\substack{n \in a \\ m \in b}} \left(\hat{t}_{mn}^{(ba)} \right) \left(\hat{t}_{mn}^{(ba)*} \right) d\epsilon$$

reflexionless

ahol $\left(\hat{t}_{mn}^{(ba)} \right)_{k_p} = \left(\hat{t}_{mn}^{(ba)} \right)_{k_p} \sqrt{\frac{k_m^{(b)}}{k_p^{(a)}}}$

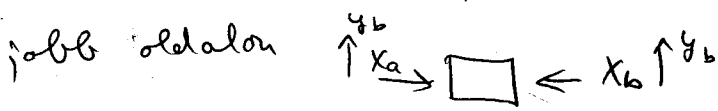
$I|_{C_b}$ az az áram, amely abból képződik, hogy a bal oldalon elindul egy p modulusú elektron (mely természetesen egyensúlyban van a baloldali rezervoárral) és transzmitálódik a jobb oldalra.

Áram megmarad $\Rightarrow I|_{C_a} = I|_{C_b} \Rightarrow \sum_{\substack{n \in a \\ m \in a}} \left(\hat{r}_{mn}^{(aa)} \right) \left(\hat{r}_{mn}^{(aa)*} \right) + \sum_{\substack{n \in a \\ m \in b}} \left(\hat{t}_{mn}^{(ba)} \right) \left(\hat{t}_{mn}^{(ba)*} \right) = M_a$

De az igaz egy kvadratikus atomra is, azaz így is megmarad az áram.

Az $I|_{c_a}$ és $I|_{c_b}$ - t felírhatjuk egy

képletbe is. Legyen a koordinátarendszer a bal és



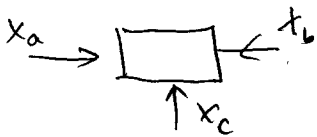
Eller az "a"-ból \rightarrow "b"-be meüő áram:

$$I_b = \frac{2e}{h} \int \left[f^{(a)}(\epsilon) M_a \delta_{ab} - \sum_{\substack{m \in a \\ n \in b}} \left(\underline{t}^{(ba)} \right)_{mn} \cdot \left(\underline{t}^{(ba)} \right)_{mn} \cdot f^{(a)}(\epsilon) \right] d\epsilon$$

Ha $b=a$, akkor $I|_{c_a}$, ha $b \neq a \Rightarrow -I|_{c_b}$ (és mivel a koordinátarendszer most általában x_b -ben, mint korábban $I|_{c_b}$ -nél.)

Sor terminálra átteljesítés:

\downarrow és $\underline{t}^{(aa)} = \underline{t}^{(aa)}$



$$I_b = \frac{2e}{h} \int \sum_a \left[f^{(a)}(\epsilon) M_a \delta_{ab} - \sum_{\substack{m \in a \\ n \in b}} \left(\underline{t}^{ba} \right)_{mn} \left(\underline{t}^{(ba)} \right)_{mn} \cdot f^{(a)}(\epsilon) \right] d\epsilon$$

$M_b f^{(b)}(\epsilon)$ a δ_{ab} miatt

Kifejez:

$$\begin{matrix} M_a \\ M_b \\ M_c \end{matrix} \left\{ \begin{matrix} \overbrace{M_a} \\ \underline{t}^{(aa)} & \underline{t}^{(ab)} & \underline{t}^{(ac)} \\ \underline{t}^{(ba)} & \underline{t}^{(bb)} & \underline{t}^{(bc)} \\ \underline{t}^{(ca)} & \underline{t}^{(cb)} & \underline{t}^{(cc)} \end{matrix} \right\} = \begin{matrix} M_a \\ M_b \\ M_c \end{matrix} \left\{ \begin{matrix} \overbrace{M_a} & \overbrace{M_b} & \overbrace{M_c} \\ S_{11} & S_{12} & \dots & S_{1N_T} \\ S_{21} & & & \vdots \\ \vdots & & & \vdots \\ S_{N_T 1} & \dots & \dots & S_{N_T N_T} \end{matrix} \right\} = \underline{S} \begin{matrix} \uparrow \\ N_T \times N_T \\ \text{matrix} \\ \downarrow \\ \underline{S} \\ \text{-matrix} \end{matrix}$$

ahol $M_T = \sum_a M_a$ a teljes keresztmetszet területe.

Az áram megmarad $\Rightarrow \sum_m |S_{mm}|^2 = 1$, ha (oszlopok összege = 1) (de a soroké is = 1!)

$|out\rangle = \underline{S} |in\rangle$

$\begin{pmatrix} b_1 \\ b_2 \\ \vdots \\ b_{N_T} \end{pmatrix} = \underline{S} \begin{pmatrix} a_1 \\ \vdots \\ a_{N_T} \end{pmatrix}$

A terminálok és csomópontok között van az \underline{S} -mátrixban.

$\Rightarrow \underline{S}$ unitér $\Rightarrow S^\dagger S = 1$ vagy $SS^\dagger = 1$

az az ismert alak az áram-megmaradásra.

$\left[\left(\underline{t}^\dagger \right) + \underline{t} \right] = \underline{1}$

Definiáljuk a transzmissziós fv.:

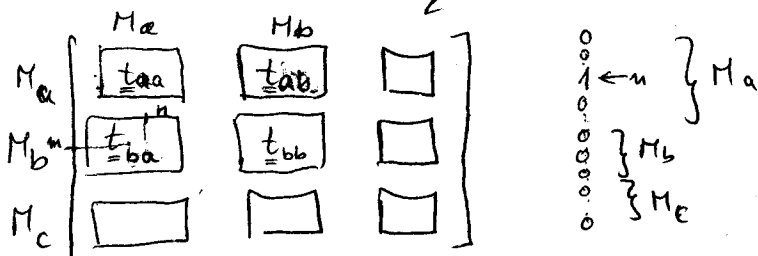
$$\bar{T}_{ba} = \sum_{\substack{m \in a \\ n \in b}} |S_{mn}|^2 =$$

megj.: ha $a \equiv b$ (a bal és jobb oldal szimmetrikus)

$$= \sum_{\substack{m \in a \\ n \in b}} \left(\underline{t}^{(ba)} \right)_{mn} \left(\underline{t}^{(ba)} \right)_{mn}^*$$

$$\text{vagy } \bar{T} = \text{Tr } \underline{t}_{ba}^* \underline{t}_{ba}$$

esetleg a $\sum_{m \in a, n \in b} |S_{mn}|^2$ elemek összege.



M_a és M_b oszlop van és δ -is oszlopja igaz, hogy $\sum_m |S_{mn}|^2 = 1$, $\forall n \in a$

\Rightarrow csatolhatóság $\boxed{\sum_b \bar{T}_{ba} = M_a}$

index cseré az elsőre $\sum_a \bar{T}_{ab} = M_b$
 az elsőre $\sum_a \bar{T}_{ab}$

$\Rightarrow \sum_{ab} \bar{T}_{ab} = M_T = \sum_a M_a$

Usszátesszük az ábrán szereplőket:

$$I_b = \frac{2e}{h} \int M_b f^{(b)}(E) - \sum_a \bar{T}_{ba} f^{(a)}(E) dE =$$

↑
ide beírjuk $\sum_a \bar{T}_{ab}$

$$= \frac{2e}{h} \int \left[\sum_a \bar{T}_{ab} f^{(b)}(E) - \sum_a \bar{T}_{ba} f^{(a)}(E) \right] dE$$

Ez a Büttiker-formula. A Pauli-elvvel jóval 1-f faktor nem jelent meg.

A levezetés jó $B \neq 0$ mágneses tér esetén is!

$$\bar{T}_{ba} |_{+B} = \bar{T}_{ab} |_{-B}$$

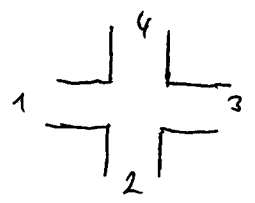
felhívhatjuk (értékesítés szabványos verzió) $T \rightarrow 0$ ° belátható

$$I_b = \sum_a G_{ba} [V_b - V_a]$$

ahol $G_{ba} = \frac{2e^2}{h} \int \bar{T}_{ba}(E) \left(-\frac{\partial f_0}{\partial E} \right) dE \approx \frac{2e^2}{h} \bar{T}_{ba}(E_F)$

és $\bar{T}_{ba} = \sum_{\substack{m \in a \\ n \in b}} |S_{mn}|^2$

Egyszerű példa:



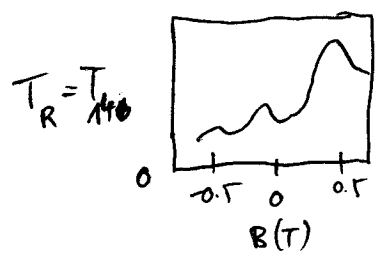
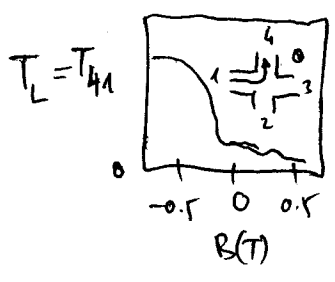
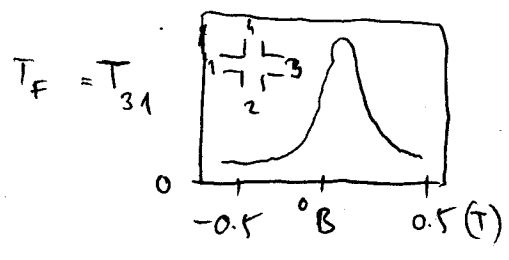
Tfh. a négy terminál teljesen azonos.

$$\bar{T}_{13} = \bar{T}_{31} = \bar{T}_{42} = \bar{T}_{24} = T_F$$

$$\bar{T}_{21} = \bar{T}_{32} = \bar{T}_{43} = \bar{T}_{14} = T_R$$

$$\bar{T}_{41} = \bar{T}_{12} = \bar{T}_{23} = \bar{T}_{34} = T_L$$

Tfh. megmérjük a T_F , T_R és T_L -t (hogyan hogyan lesz leírva!) B körben.



Hall - mérték elvétel:

1-3 → áram
2-4 → voltméter $R_H = ?$

Megoldás:

Levegő $V_4 = 0$

$$I_b = \sum_a G_{ba} (V_b - V_a)$$

$$\begin{pmatrix} I_1 \\ I_2 \\ I_3 \end{pmatrix} = \frac{2e^2}{h} \begin{bmatrix} T_0 & -T_L & -T_F \\ -T_R & T_0 & -T_L \\ -T_F & -T_R & T_0 \end{bmatrix} \begin{pmatrix} V_1 \\ V_2 \\ V_3 \end{pmatrix}$$

$$T_0 = T_F + T_R + T_L$$

Invertálva:

$$\begin{pmatrix} V_1 \\ V_2 \\ V_3 \end{pmatrix} = \begin{pmatrix} R_{11} & R_{12} & R_{13} \\ R_{21} & R_{22} & R_{23} \\ R_{31} & R_{32} & R_{33} \end{pmatrix} \begin{pmatrix} I_1 \\ I_2 \\ I_3 \end{pmatrix}, \text{ ahol}$$

$$R_{21} = \frac{h}{2e^2} \cdot \frac{T_L T_0 + T_F T_R}{\Delta}, \quad R_{23} = \frac{h}{2e^2} \frac{T_R T_0 + T_F T_L}{\Delta}$$

$$\text{és } \Delta = (T_L + T_F) [T_L^2 + T_R^2 + 2T_F^2 + 2T_F T_L + 2T_F T_R]$$

Hall-mérésnél $I_1 = -I_3$ és $I_2 = I_4 = 0$

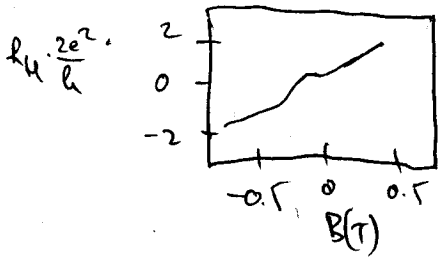
$$\Rightarrow V_2 = (R_{21} - R_{23}) I_1$$

$$R_H = \frac{V_2 - V_4 = 0}{I_1} = \frac{V_2}{I_1} = \frac{h}{2e^2} \frac{(T_L - T_R)(T_L + T_R)}{\Delta}$$

$$R_H = \frac{h}{2e^2} \frac{T_L - T_R}{T_L^2 + T_R^2 + 2T_F^2 + 2T_F T_L + 2T_F T_R}$$

A ponti mért T_F, T_R, T_L adatokkal

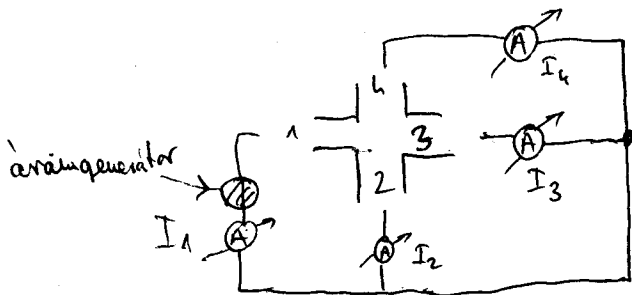
PRB 46, 9648 (192)



T_F, T_R, T_L mérés (elvi) lásd PRB 46, 9648 (192)

A 2-3 pontokat rövidre zájlik

$$\begin{pmatrix} I_1 \\ I_2 \\ I_3 \end{pmatrix} = \frac{2e^2}{h} \begin{pmatrix} T_0 & -T_L & -T_R \\ -T_R & T_0 & -T_L \\ -T_F & -T_L & T_0 \end{pmatrix} \begin{pmatrix} V_1 \\ \text{---} \\ \text{---} \end{pmatrix}$$



$$I_1 = \frac{2e^2}{h} T_0 \cdot V_1$$

$$I_2 = \frac{2e^2}{h} (-T_R) \cdot V_1$$

$$I_3 = \frac{2e^2}{h} (-T_F) \cdot V_1$$

állítható csere.

S-matrix tulajdonságai:

Arany megmaradáshoz látható:

$$\sum_m |S_{mn}|^2 = 1, \quad \forall n\text{-re} \quad \text{orolópör } |\bullet|^2 \text{ összege} = 1.$$

$$\Rightarrow \underline{S} \text{ unitár} \quad \Rightarrow \underline{S}^+ \underline{S} = 1 = \underline{S} \underline{S}^+ \\ \text{kei} \rightarrow \underline{b} = \underline{S} \underline{a} \quad \leftarrow \text{be}$$
$$\sum_{m=1}^{M_T} |S_{mm}|^2 = \sum_{m=1}^{M_T} |S_{mm}|^2 = 1$$

összeg szabály: $\sum_a \overline{T}_{ab} = \sum_a \sum_{m \in b} \sum_{m \in a} |S_{mm}|^2 = \sum_{m \in b} 1 = M_b$ Látható.

$$\| \sum_a \overline{T}_{ab} = \sum_a \overline{T}_{ba} = M_b \|$$

reciprocitás: Korábban állítottuk, hogy

$$G_{ab}|_{+\underline{B}} = G_{ba}|_{-\underline{B}}$$

Most belátjuk, hogy ez a kölcsönös vetektorok esetében is igaz. $\underline{S}|_{\underline{B}} = \underline{S}^+|_{-\underline{B}}$, ez az

Ezt kell belátni: $\sum_{\substack{m \in a \\ m \in b}} |S_{mm}|^2|_{+\underline{B}} = \sum_{\substack{m \in a \\ m \in b}} |S_{mm}|^2|_{-\underline{B}}$

$$H\psi = E\psi \quad \Rightarrow \quad H = \frac{(i\hbar \nabla + eA)^2}{2m} + U(x,y)$$

$$H^* \psi^* = E \psi^* \quad \text{és} \quad B \rightarrow -\underline{B}$$

$$\Rightarrow \left[\frac{(i\hbar \nabla + eA)^2}{2m} + U(x,y) \right] \psi^* = E \psi^*$$

$$\Rightarrow \psi^*(x,y)|_{-\underline{B}} = \psi(x,y)|_{\underline{B}}$$

$-\underline{B}$ térben a ψ^* ugyanaz mint ψ a $+\underline{B}$ térben.

Ha ismerjük a m.o.(4) a Sch. egyenletre +B-térben, akkor a megoldás a -B-térben (4*)

Ha viszont 4*-t vizsgáljuk, akkor +B-ben nem kell vizsgálni a megoldást és fordítva:

$$\underline{b} = \underline{S} \Big|_{+B} \underline{a} \Rightarrow \underline{b}^* = \underline{S}^* \Big|_{+B} \underline{a}^*$$

B-tér esete
és komplex konjugálás
B-tér ↔ -B-tér

$$\underline{a}^* = \underline{S} \Big|_{-B} \underline{b}^* \Rightarrow \underline{b}^* = \underline{S}^{-1} \Big|_{-B} \underline{a}^*$$

$$\underline{S}^* \Big|_{+B} = \underline{S}^{-1} \Big|_{-B}$$

sinus
 $\underline{a} = e^{-i\omega x}$
↑
-x irányban terjed.
 $\in a = e^{i\omega x}$
↑
+x irányban terjed.

de \underline{S} unitár

$$\underline{S}^{-1} = \underline{S}^+ \Big|_{-B}$$

vegyük a *-ot +B-térben

$$\Rightarrow \underline{S}^* \Big|_{+B} = \underline{S}^+ \Big|_{-B}$$

$$\left(\text{megj.: } \underline{S}^+ = \widetilde{\underline{S}^*} \right)$$

$$\Rightarrow \underline{S} \Big|_{+B} = \widetilde{\underline{S}} \Big|_{-B}$$

$$\Rightarrow S_{mn} \Big|_{+B} = S_{nm} \Big|_{-B}$$

||² véve H-térben oldálra és

$$\sum_{n \in A} |a_n|^2 = \sum_{n \in B} |b_n|^2$$

⇒ rajzol

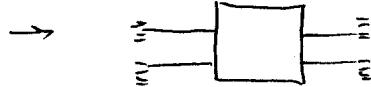
$$G_{ab} \Big|_{+B} = G_{ba} \Big|_{-B}$$

matricák:

$$\underline{S} = \begin{matrix} \begin{matrix} \text{Ha} \\ \text{Mb} \end{matrix} \left\{ \begin{matrix} t_{aa} & t_{ab} & \dots \\ t_{ba} \\ \vdots \end{matrix} \right. \end{matrix}$$

~~két terminálra~~ Általános alak:

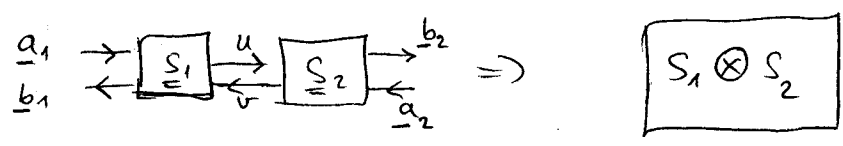
$$\underline{S} = \begin{bmatrix} \underline{r} & \underline{t}' \\ \underline{t} & \underline{r}' \end{bmatrix}$$



két terminálra

→ bal ↑ jobb

Soros kapcsolás



$$\begin{pmatrix} b_1 \\ u \end{pmatrix} = \begin{bmatrix} r^{(1)} & t^{1(1)} \\ t^{(1)} & r^{1(1)} \end{bmatrix} \begin{pmatrix} a_1 \\ v \end{pmatrix} \quad \text{és} \quad \begin{pmatrix} v \\ b_2 \end{pmatrix} = \begin{bmatrix} r^{(2)} & t^{1(2)} \\ t^{(2)} & r^{1(2)} \end{bmatrix} \begin{pmatrix} u \\ a_2 \end{pmatrix}$$

Kifejezve u-t és v-t:

$$\begin{pmatrix} b^{(1)} \\ b^{(2)} \end{pmatrix} = \begin{bmatrix} r & t^1 \\ t & r^1 \end{bmatrix} \begin{pmatrix} a^{(1)} \\ a^{(2)} \end{pmatrix} \quad S_1 \otimes S_2 = \begin{bmatrix} r & t^1 \\ t & r^1 \end{bmatrix}$$

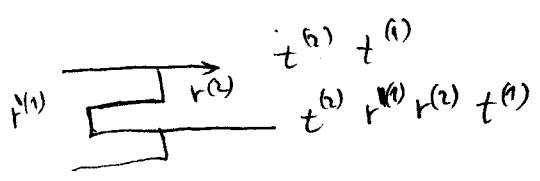
ahol

$$\begin{aligned} t &= t^{(2)} [\underline{I} - r^{(1)} r^{(2)}]^{-1} t^{(1)}, & r &= r^{(1)} + t^{(1)} r^{(2)} [\underline{I} - r^{(1)} r^{(2)}]^{-1} t^{(1)} \\ t^1 &= t^{1(1)} [\underline{I} - r^{(2)} r^{1(1)}]^{-1} t^{1(2)}, & r^1 &= r^{1(2)} + t^{1(2)} [\underline{I} - t^{1(1)} r^{(2)}]^{-1} r^{1(1)} t^{1(2)} \end{aligned}$$

Közeget belátható, hogy egy-módus esetén (kölcsönös) $t = \frac{t_1 t_2}{1 - r_1^1 r_2} \Rightarrow T = |t|^2 = \frac{T_1 T_2}{1 - 2R_1 R_2 \cos \theta + R_1 R_2}$ ahol $\theta = \text{phase}(r_1^1) + \text{phase}(t_2)$

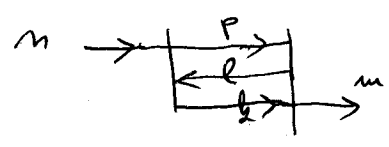
Feynmann path:

$$t = t^{(2)} [\underline{I} - r^{(1)} r^{(2)}]^{-1} t^{(1)} = t^{(2)} t^{(1)} + t^{(2)} r^{(1)} r^{(2)} t^{(1)} + t^{(2)} [r^{(1)} r^{(2)}] [r^{(1)} r^{(2)}] t^{(1)} + \dots$$



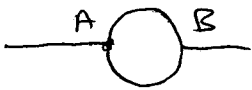
At mn komponens pl. a 2. tagra:

$$[t^{(2)} r^{(1)} r^{(2)} t^{(1)}]_{mn} \rightarrow \sum_{k \neq l} t^{(2)}_{mk} r^{(1)}_{kl} r^{(2)}_{lp} t^{(1)}_{pn}$$



$(t)_{mn} = \sum_P A_P$, ahol P az összes path mely az n. módusból indul és az m. módban végződik.

Párhuzamos kapcsolás:



Egy módusú kábel, R sugatú
Tfh. A és B szimmetrikus 3 elágazásos pont.

Legyen ~~ezek~~ az \underline{S} -mátrixa:

$$\begin{bmatrix} c & \sqrt{\varepsilon} & \sqrt{\varepsilon} \\ \sqrt{\varepsilon} & a & b \\ \sqrt{\varepsilon} & b & a \end{bmatrix}, \quad a, b, c, \varepsilon \in \mathbb{R}$$

a.) Mutassuk meg, hogy $c = \pm \sqrt{1-2\varepsilon}$ és $a = \frac{1-c}{2}$, $b = \frac{1+c}{2}$

b.) Számítsuk ki a transzmissziót!

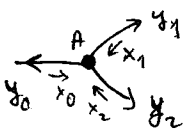
Megoldás: a.) $\underline{S}^+ \underline{S} = 1$ mielőtt $\begin{bmatrix} c & \sqrt{\varepsilon} & \sqrt{\varepsilon} \\ \sqrt{\varepsilon} & a & b \\ \sqrt{\varepsilon} & b & a \end{bmatrix} \Rightarrow \begin{bmatrix} c & \sqrt{\varepsilon} & \sqrt{\varepsilon} \\ \sqrt{\varepsilon} & a & b \\ \sqrt{\varepsilon} & b & a \end{bmatrix} = \begin{bmatrix} 1 & 0 & 0 \\ 0 & 1 & 0 \\ 0 & 0 & 1 \end{bmatrix} \Rightarrow$ elvégezzük a műveletet.

$\Rightarrow a^2 + b^2 = 1 - \varepsilon, \quad c^2 = 1 - 2\varepsilon, \quad 2ab = -\varepsilon, \quad a + b + c = 0$

egy megoldás: $a = \frac{1-c}{2}, \quad b = \frac{1+c}{2}$ és $c = \sqrt{1-2\varepsilon}$

további megoldás: vagy úgy kapható, hogy a -t és b -t felcseréljük, vagy úgy, hogy c -t negatívummal vesszük.

b.) Legyen a baloldali Y ágvál: V -u ágvál egy módusú "él".

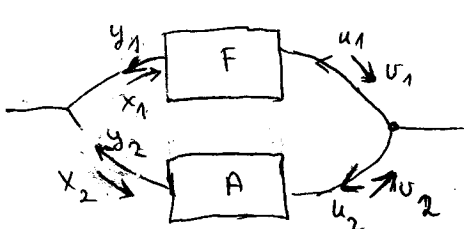


$\begin{pmatrix} y_0 \\ y_1 \\ y_2 \end{pmatrix} = \begin{bmatrix} c & \sqrt{\varepsilon} & \sqrt{\varepsilon} \\ \sqrt{\varepsilon} & a & b \\ \sqrt{\varepsilon} & b & a \end{bmatrix} \begin{pmatrix} x_0 \\ x_1 \\ x_2 \end{pmatrix}$ Ez feltehető

$\begin{bmatrix} \boxed{c} & \boxed{\sqrt{\varepsilon} \sqrt{\varepsilon}} \\ \boxed{\sqrt{\varepsilon}} & \boxed{a \quad b} \\ \boxed{\sqrt{\varepsilon}} & \boxed{b \quad a} \end{bmatrix} = \begin{bmatrix} \underline{r} & \underline{t}' \\ \underline{t} & \underline{r}' \end{bmatrix}, \quad \underline{a} \underline{a}^T \quad \underline{r} = c, \quad \underline{t} = \begin{bmatrix} \sqrt{\varepsilon} \\ \sqrt{\varepsilon} \end{bmatrix}$
 $\underline{r}' = \begin{bmatrix} a & b \\ b & a \end{bmatrix}, \quad \underline{t}' = \begin{bmatrix} \sqrt{\varepsilon} & \sqrt{\varepsilon} \end{bmatrix}$

Vitsszóljunk az alsó ill. felső ágat:

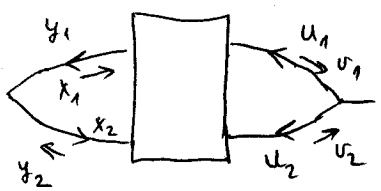
Először tfh. mindkét ág egy-egy $\begin{bmatrix} \underline{r} & \underline{t}' \\ \underline{t} & \underline{r}' \end{bmatrix}$ mátrixtal írható le (általában)



$\begin{pmatrix} y_1 \\ u_1 \end{pmatrix} = \begin{pmatrix} r_F & t'_F \\ t_F & r'_F \end{pmatrix} \begin{pmatrix} x_1 \\ u_1 \end{pmatrix} \leftarrow F, \text{ felső}$

$\begin{pmatrix} y_2 \\ u_2 \end{pmatrix} = \begin{pmatrix} r_A & t'_A \\ t_A & r'_A \end{pmatrix} \begin{pmatrix} x_2 \\ u_2 \end{pmatrix} \leftarrow A, \text{ alsó}$

A zét ág (alsó, felső) felfogható egy egysegűvel:



Az előbbi egyenletet alapján:

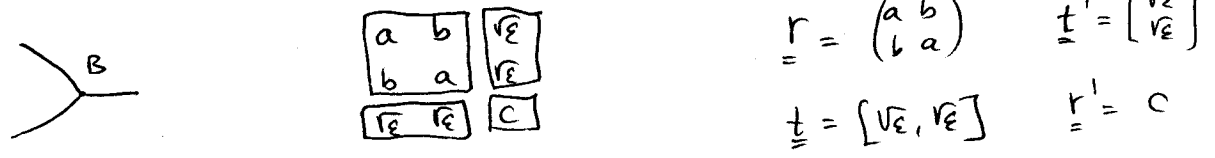
$$\begin{pmatrix} y_1 \\ y_2 \\ v_1 \\ v_2 \end{pmatrix} = \begin{bmatrix} r_F & 0 & t'_F & 0 \\ 0 & r_A & 0 & t'_A \\ t_F & 0 & r'_F & 0 \\ 0 & t_A & 0 & r'_A \end{bmatrix} \begin{pmatrix} x_1 \\ x_2 \\ u_1 \\ u_2 \end{pmatrix}$$

Így ennek az egysegűnek az S -mátrixa felírható két módú Eit formájú névelével.

$$\underline{r} = \begin{pmatrix} r_F & 0 \\ 0 & r_A \end{pmatrix} \quad \underline{t}' = \begin{pmatrix} t'_F & 0 \\ 0 & t'_A \end{pmatrix}$$

$$\underline{t} = \begin{pmatrix} t_F & 0 \\ 0 & t_A \end{pmatrix} \quad \underline{r}' = \begin{pmatrix} r'_F & 0 \\ 0 & r'_A \end{pmatrix}$$

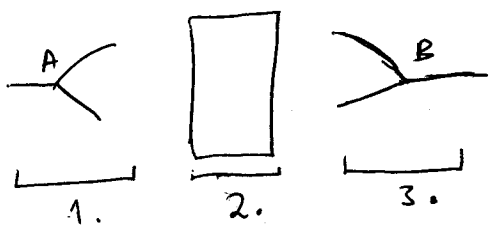
A B-pontnál az S -mátrix:



$$\underline{r} = \begin{pmatrix} a & b \\ b & a \end{pmatrix} \quad \underline{t}' = \begin{bmatrix} \sqrt{E} \\ \sqrt{E} \end{bmatrix}$$

$$\underline{t} = [\sqrt{E}, \sqrt{E}] \quad \underline{r}' = c$$

3 db egysegű van, sorosan kapcsolva:



Leopau $r_F = r_A = 0$ és $t_F = t_A = e^{i\phi} = p$
 és $r'_F = r'_A = 0$
 Tibi transmisszió! (mics reflexió!)
 ↓

1-2 kapcsolás (soros):

$$\underline{S}_1 \otimes \underline{S}_2 = \begin{bmatrix} c & \sqrt{E} & \sqrt{E} \\ \sqrt{E} & a & b \\ \sqrt{E} & b & a \end{bmatrix} \otimes \begin{bmatrix} r_F & 0 & t'_F & 0 \\ 0 & r_A & 0 & t'_A \\ t_F & 0 & r'_F & 0 \\ 0 & t_A & 0 & r'_A \end{bmatrix} =$$

$$= \begin{bmatrix} c & \sqrt{E} & \sqrt{E} & (ab) \\ (p \otimes \sqrt{E}) & (a \otimes b) & (p \otimes b) & (p \otimes a) \\ (0 \otimes \sqrt{E}) & (0 \otimes a) & (0 \otimes b) & (0 \otimes a) \end{bmatrix} \Rightarrow \begin{pmatrix} \underline{r} & \underline{t}' \\ \underline{t} & \underline{r}' \end{pmatrix} \text{ alakú.}$$

$$(1 \otimes 2) \otimes 3 \Rightarrow$$

$$= \begin{bmatrix} \boxed{C} & (\sqrt{\epsilon}, \sqrt{\epsilon}) \begin{pmatrix} P & 0 \\ 0 & P \end{pmatrix} \\ \begin{pmatrix} P & 0 \\ 0 & P \end{pmatrix} \begin{pmatrix} \sqrt{\epsilon} \\ \sqrt{\epsilon} \end{pmatrix} & \begin{pmatrix} P & 0 \\ 0 & P \end{pmatrix} \begin{pmatrix} a & b \\ b & a \end{pmatrix} \begin{pmatrix} P & 0 \\ 0 & P \end{pmatrix} \end{bmatrix} \otimes \begin{pmatrix} \begin{pmatrix} a & b \\ b & a \end{pmatrix} & \begin{pmatrix} \sqrt{\epsilon} \\ \sqrt{\epsilon} \end{pmatrix} \\ \begin{pmatrix} \sqrt{\epsilon}, \sqrt{\epsilon} \end{pmatrix} & C \end{pmatrix} \Rightarrow$$

$$\underline{t} = \underline{t}^{(2)} \left[\underline{I} - \underline{I}^{(1)} \underline{I}^{(2)} \right]^{-1} \underline{t}^{(1)} =$$

$$= [\sqrt{\epsilon}, \sqrt{\epsilon}] \cdot \left[\underline{I} - \begin{pmatrix} P & 0 \\ 0 & P \end{pmatrix} \cdot \begin{pmatrix} a & b \\ b & a \end{pmatrix} \cdot \begin{pmatrix} P & 0 \\ 0 & P \end{pmatrix} \cdot \begin{pmatrix} a & b \\ b & a \end{pmatrix} \right]^{-1} \cdot \begin{pmatrix} P & 0 \\ 0 & P \end{pmatrix} \cdot \begin{pmatrix} \sqrt{\epsilon} \\ \sqrt{\epsilon} \end{pmatrix} =$$

$$= [\sqrt{\epsilon} \sqrt{\epsilon}] \cdot \left[\underline{I} - \begin{pmatrix} (a^2+b^2)P^2 & 2abP^2 \\ 2abP^2 & (a^2+b^2)P^2 \end{pmatrix} \right]^{-1} \begin{pmatrix} P\sqrt{\epsilon} \\ P\sqrt{\epsilon} \end{pmatrix} =$$

feltételezve, hogy a, b, ϵ számok egymástól függetlenek.

$$= [\sqrt{\epsilon} \sqrt{\epsilon}] \cdot \begin{pmatrix} 1 - (1-\epsilon)P^2 & \epsilon P^2 \\ \epsilon P^2 & 1 - (1-\epsilon)P^2 \end{pmatrix}^{-1} \cdot \begin{pmatrix} P\sqrt{\epsilon} \\ P\sqrt{\epsilon} \end{pmatrix} =$$

$$= \frac{\epsilon P}{(1-P^2)(1-c^2P^2)} \begin{bmatrix} 1 & 1 \\ 1 & 1 \end{bmatrix} \cdot \begin{pmatrix} 1 - (1-\epsilon)P^2 & -\epsilon P^2 \\ -\epsilon P^2 & 1 - (1-\epsilon)P^2 \end{pmatrix} \cdot \begin{pmatrix} 1 \\ 1 \end{pmatrix} =$$

$$= \frac{2\epsilon P}{1 - c^2 P^2} = \frac{2\epsilon \cdot e^{i\theta}}{1 - c^2 e^{2i\theta}}$$

$$\Rightarrow T = |t|^2 = \frac{4\epsilon^2}{1 - 2c^2 \cos 2\theta + c^4}$$

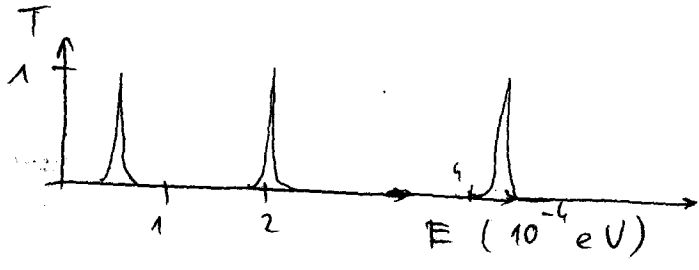
Mennyi, $\theta = ?$ $P = e^{i\theta}$ a transzmisszió az egyes ágakon (alsó, felső)

$P = e^{ik \cdot L}$, ahol L az úthossz. $L = R \tilde{v}$, R rugalmas gyűrűvel.

$k = \sqrt{\frac{2mE}{\hbar^2}}$ ← az E energiájú bejövő egyetlen módus $\&$ hullám-
hossza.

Igy $P = e^{ikL} \Rightarrow$

$\theta = \sqrt{\frac{2mE}{\hbar^2}} \cdot R \tilde{v}$ a fázis θ a félkör megtétele során.



$R = 1000 \text{ \AA}$
 $\epsilon = 0.025$

Mégyesés két a gyűrűben:

$t_F \Rightarrow t_F \cdot e^{i \frac{e}{\hbar} \int_{\text{felső}} \underline{A} \cdot d\underline{s}} = t_F e^{i\varphi_F}$

$t'_F \Rightarrow t'_F \cdot e^{-i \frac{e}{\hbar} \int_{\text{felső}} \underline{A} \cdot d\underline{s}} = t'_F e^{-i\varphi_F}$

$t_A \Rightarrow t_A \cdot e^{i \frac{e}{\hbar} \int_{\text{alsó}} \underline{A} \cdot d\underline{s}} = t_A e^{i\varphi_A}$

$t'_A \Rightarrow t'_A \cdot e^{-i \frac{e}{\hbar} \int_{\text{alsó}} \underline{A} \cdot d\underline{s}} = t'_A e^{-i\varphi_A}$

Végig lehet számolni ezekkel az új t -ekkel.

Kiderül hogy a $\varphi_F - \varphi_A$ jön be.

Meg lehet ezt érteni a Fermi-Dirac path-al is.

Két hullám interferál (felső és alsó áthaladó!):

$T(u \leftarrow u) = |t_1 + t_2|^2$

ahol $t_1 = \sum_{\text{all path a felső}} A_p$, $t_2 = \sum_{\text{all path az alsó}} A_p$

$T = |t_1 + t_2|^2 = |t_1|^2 + |t_2|^2 + t_1 t_2 e^{i\varphi_1} e^{-i\varphi_2} + t_1 t_2 e^{-i\varphi_1} e^{i\varphi_2} =$
 $= T_1 + T_2 + 2\sqrt{T_1 T_2} \cdot \cos(\varphi_1 - \varphi_2)$

De $\varphi_1 - \varphi_2 = \frac{e}{\hbar} \oint \underline{A} \cdot d\underline{s} = \frac{e}{\hbar} \cdot \phi \rightarrow$ fluxus a ringen
 $= 2\pi \cdot \frac{\phi}{\phi_0}$, $\phi_0 = \frac{h}{e}$

így $T = T_1 + T_2 + 2\sqrt{T_1 T_2} \cos(2\pi \frac{\phi}{\phi_0} + \varphi)$ \rightarrow energiára függő.

$\frac{h}{e}$ oszcilláció a $|B|$ függvényében.

Megj: Többirányú "patkózás" a két végpont közt, mondjuk

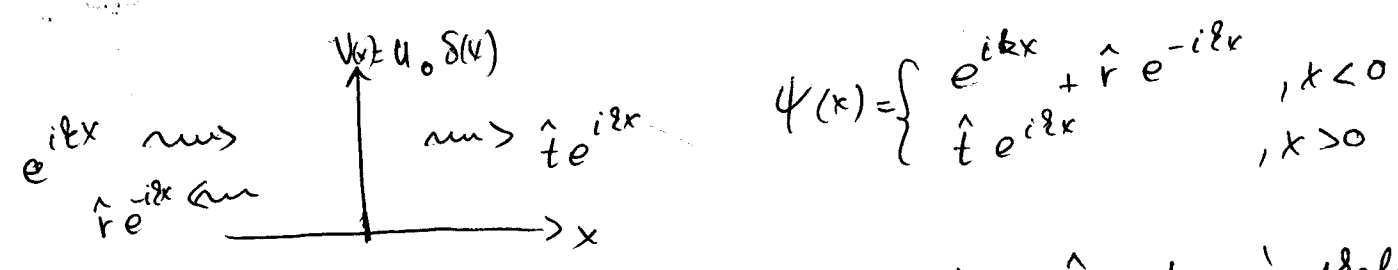
N -mal. Ezzel $\varphi_1 - \varphi_2 = 2\pi N \frac{\phi}{\phi_0} \Rightarrow$ oszcilláció $\phi = \frac{h}{e} \cdot \frac{1}{N}$ ~~erős~~
 magasabb harmonikusok.

Kísérletileg nehéz mérni, mert $\frac{h}{e \lambda}$ effektívul

a megfett λ $NL = N \cdot R \lambda$ sordu az elektron amplitudója:

e^{-2NL/L_p} leírja, azaz egyre csökken N növelésével.

Dirac-delta erőhatás-mátrixa, egydimenzió!



Csal egy módus van. $\Rightarrow \hat{r} = r$ és $\hat{t} = t$ és skalárok.

$\psi|_- = \psi|_+$ felt.

$\psi'|_+ - \psi'|_- = \frac{2mU_0}{\hbar^2} \psi(0) \rightarrow$ gradientus.

Legyen $\lambda^2 = \frac{2mU_0}{\hbar^2} \Rightarrow [\lambda] = \frac{1}{\text{hossz}}$
 diverzió $[U_0] = m \cdot \ddot{x} \leftarrow$ hossz \times energia
 $V(x) = U_0 \delta(x) \Rightarrow \int V(x) dx = U_0$
↑ energia hossz

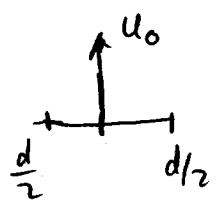
$\Rightarrow \left. \begin{aligned} 1 + r &= t \\ ik t - [ik + (-ik)r] &= \lambda(1+r) \end{aligned} \right\} \Rightarrow$

$r = \frac{-i\lambda/2}{\lambda + i\lambda/2}$ és $t = \frac{\lambda}{\lambda + i\lambda/2}$

Szimmetria $\Rightarrow r' = r$ és $t' = t$

$\Rightarrow S_{\delta} = \frac{1}{\lambda + i\lambda/2} \begin{bmatrix} -i\lambda/2 & \lambda \\ \lambda & -i\lambda/2 \end{bmatrix}$

és unitár



$S_{\text{üres}} = \begin{pmatrix} 0 & e^{i\lambda d/2} \\ e^{i\lambda d/2} & 0 \end{pmatrix}$

$\rightarrow S = S_{\text{üres}} \oplus S_{\delta} \oplus S_{\text{üres}} =$

$S = \frac{e^{i\lambda d}}{\lambda + i\lambda/2} \begin{bmatrix} -i\lambda/2 & \lambda \\ \lambda & -i\lambda/2 \end{bmatrix}$

és unitár

Kiszámoljuk az \underline{M} - mátrixot. ← lásd (24c) oldalt!

$$\underline{M} = \begin{bmatrix} (1 - i \frac{\lambda}{2\ell}) e^{i2d} & -i \frac{\lambda}{2\ell} \\ +i \frac{\lambda}{2\ell} & (1 + i \frac{\lambda}{2\ell}) e^{-i2d} \end{bmatrix}$$

Sajátértékei:

$$\begin{vmatrix} M_{11} - \lambda & M_{12} \\ M_{21} & M_{22} - \lambda \end{vmatrix} = 0$$

$$\Rightarrow \lambda^2 - \text{Tr} \underline{M} \lambda + \det \underline{M} = 0$$

De egy modulus esetén $\underline{M} = \begin{bmatrix} \frac{1}{\ell^*} & -\frac{r^*}{\ell^*} \\ -\frac{r}{\ell} & \frac{1}{\ell} \end{bmatrix} \Rightarrow$

$$\Rightarrow \det \underline{M} = \frac{1}{|\ell|^2} - \frac{|r|^2}{|\ell|^2} = 1$$

Így $\lambda^2 - \text{Tr} \underline{M} \lambda + 1 = 0$

Ezt az egyenletet felírhatjuk az \underline{M} is \Rightarrow

$$\underline{M}^2 - \text{Tr} \underline{M} \underline{M} + 1 = 0$$

innen kiszámolható \underline{M}^N iterációval:

→ veges
szor periódikus
δ. 8.

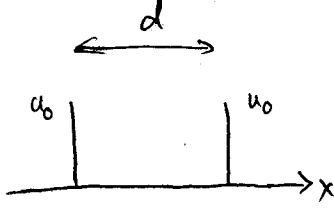
$$\underline{M}^N = \frac{1}{\sin \phi} \left[\underline{M} \sin N\phi - \underline{1} \sin (N-1)\phi \right]$$

ahol $\cos \phi = \text{Re} M_{11} = \frac{1}{2} \text{Tr} \underline{M}$

A mi esetünkben: $\text{Tr} \underline{M} = 2 \cos 2d + 2 \frac{\lambda}{2\ell} \sin 2d$

Így: $\cos \phi = \cos 2d + \frac{\lambda}{2\ell} \sin 2d$

Egy dimenzió



$$U(x) = U_0 [\delta(x) + \delta(x-d)]$$

246

$$T(E) = \frac{T_1^2}{1 - 2R_1 \cos \theta + R_1^2}, \text{ ahol}$$

$$T_1 = \frac{\hbar^2 v^2}{\hbar^2 v^2 + U_0^2}, \quad R_1 = \frac{U_0^2}{\hbar^2 v^2 + U_0^2}, \quad v = \frac{\hbar k}{m}, \quad k = \sqrt{\frac{2mE}{\hbar^2}}$$

$$\theta = 2 \left[kd + \arctan \frac{\hbar v}{U_0} \right]$$

Brjounkijev
lásd Soros-Laplace

$U_0 = 9 \text{ eV \AA}$
 $d = 50 \text{ \AA}$

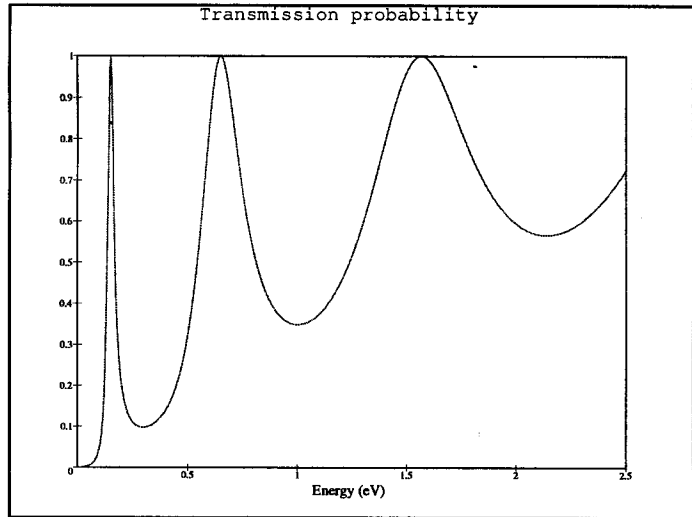
```

> with(plots):
> meff:=0.067:U0:=9:d:=50:ens:=7.62:
> c:=U0*meff*d/ens;
      c := 3.956692913
> T1:=1/(1+c^2/k^2):R1:=c^2/k^2/(1+c^2/k^2);
      R1 := 15.65541881
           k^2 (1 + 15.65541881/k^2)
> theta:=2*(k+arctan(k/c));
      theta := 2k + 2arctan(.2527363184k)
> T:=k-> T1^2/(1-2*R1*cos(theta)+R1^2);
      T := k -> T1^2 / (1 - 2R1 cos(theta) + R1^2)
> a:=d*sqrt(2*meff/ens):k:=a*sqrt(E);
      k := 6.630479215 sqrt(E)
> plot(T(E),E=0..2.5,view=[0..2.5,0..1],xtickmarks=5,ytickmarks=10,axes=BOXED,\
numpoints=200,labels=['Energy (eV)', ''],labelfont=[TIMES,ROMAN,15],\
axesfont=[TIMES,ROMAN,10],title='Transmission probability');

```

$$T = \frac{T_1 T_2}{1 - 2\sqrt{R_1 R_2} \cos \theta + R_1 R_2}$$

de kijön a
M transfer matrixából
is.



Transfer-matrix:

Time-reversal symmetry \rightarrow
 $(t')^T = t$ \rightarrow transponált.



$\begin{pmatrix} 0 \\ O' \end{pmatrix} = \underline{\underline{S}} \cdot \begin{pmatrix} I \\ I' \end{pmatrix} \rightarrow \underline{\underline{S}}\text{-matrix}, \underline{\underline{S}} = \begin{bmatrix} t & t' \\ t' & t \end{bmatrix}$

$\begin{pmatrix} O' \\ I' \end{pmatrix} = \underline{\underline{M}} \cdot \begin{pmatrix} I \\ 0 \end{pmatrix} \rightarrow \text{transfer-matrix}$

Kapcsolat van $\underline{\underline{S}}$ és $\underline{\underline{M}}$ között.

$\begin{cases} 0 = rI + t'I' \\ O' = tI + r'I' \end{cases} \vee \begin{cases} O' = M_{11}I + M_{12}0 \\ I' = M_{21}I + M_{22}0 \end{cases}$

$I' = t'^{-1}O - t'^{-1}rI$

$O' = tI + r'(t'^{-1}O - t'^{-1}rI)$
 $\downarrow \quad \quad \quad \downarrow$
 $M_{11} \quad \quad \quad M_{11}$

$\Rightarrow M_{11} = t - r'(t')^{-1}r$

Masoulóan a többi is végül:

$\underline{\underline{M}} = \begin{bmatrix} t - r'(t')^{-1}r & r'(t')^{-1} \\ -(t')^{-1}r & (t')^{-1} \end{bmatrix}$

Mivel $\underline{\underline{S}} \underline{\underline{S}}^T = 1 \Rightarrow rt^+ = -t'(t')^+ \Rightarrow (t')^+ = -(r')^+(t^+)^{-1}t^{-1}$

így $M_{11} = t - r'(t')^{-1}r = t + r'(r')^+(t^+)^{-1} \underbrace{r^{-1}t}_{=1} =$
 $= t + r'(r')^+(t^+)^{-1} = \dots = (t^+)^{-1}$

de $1 = rt^+ + r'(r')^+$

$$\underline{M} = \begin{bmatrix} (t^+)^{-1} & r'(t^+)^{-1} \\ -(t^+)^{-1}r & (t^+)^{-1} \end{bmatrix}$$

Használjuk $\underline{M} \Rightarrow \underline{\xi} = \begin{bmatrix} r & t^+ \\ t & r' \end{bmatrix}$.

$$\begin{aligned} r &= -M_{22}^{-1} M_{21} \\ t &= M_{11} - M_{12} M_{22}^{-1} M_{21} = (M_{11}^+)^{-1} \\ r' &= M_{12} M_{22}^{-1} \\ t' &= M_{22}^{-1} \end{aligned}$$

Egy másik esetben:

$$\underline{M} = \begin{bmatrix} \frac{1}{t^*} & \frac{r'}{t} \\ -\frac{r}{t} & \frac{1}{t} \end{bmatrix}$$

, ahol r, t skalárok.

és: $t = t^* \Rightarrow$

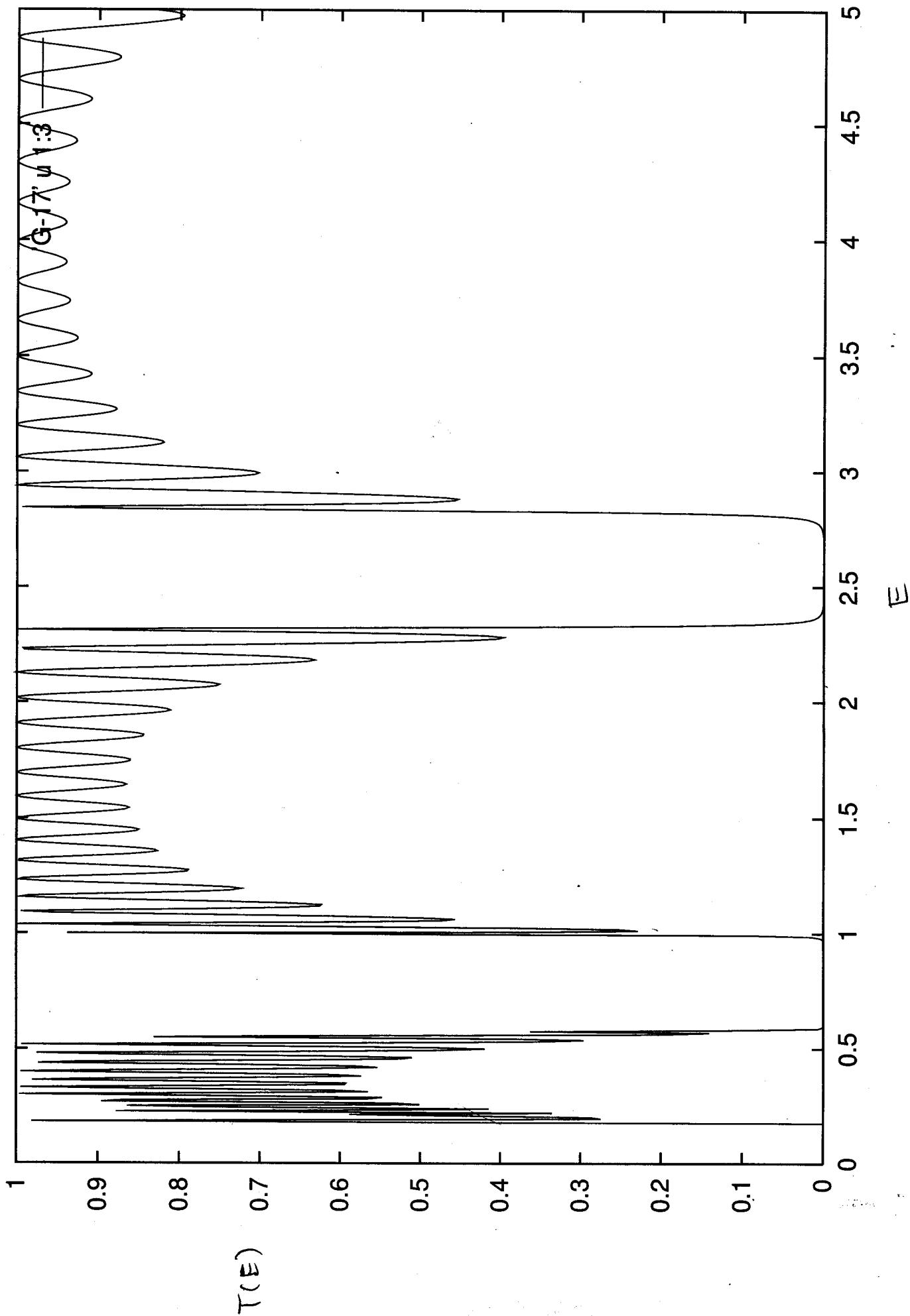
$$t = t^* \Rightarrow$$

unitaritás $\Rightarrow t r'^* = -r t'^* = -r t^*$

$$\frac{r'^*}{t^*} \Rightarrow \frac{r'^*}{t^*} = -\frac{r}{t}$$

$$\Rightarrow \underline{M} = \begin{bmatrix} \frac{1}{t^*} & -\frac{r}{t^*} \\ -\frac{r}{t} & \frac{1}{t} \end{bmatrix}$$

17db Dirac-delta egyenestől $d=4,1$ távolságra.



The matrix ϱ is M_L by M_R , where $M_L = \text{Int} \left[\frac{k_F W_L}{\pi} \right]$ and $M_R = \text{Int} \left[\frac{k_F W_R}{\pi} \right]$ are the open channels in the left and right lead (here $\text{Int}[x]$ stands for the integer part of x). Thus, in general, ϱ is a rectangular matrix. However, P and Q are square matrices.

$$\frac{2\sqrt{\frac{W_L}{W_R}}}{\pi} m \sin\left(\frac{j\pi h}{W_R}\right) + j(-1)^j \frac{W_L}{W_R} \sin\left[\frac{m\pi}{W_L}(W_R - h)\right] \quad (43)$$

$$m^2 - j^2 \frac{W_L^2}{W_R^2}$$

2 Combining two scattering matrices

$$S_1 = \begin{pmatrix} r_1 & t'_1 \\ t_1 & r'_1 \end{pmatrix} \quad \text{and} \quad S_2 = \begin{pmatrix} r_2 & t'_2 \\ t_2 & r'_2 \end{pmatrix}. \quad (44)$$

Then

$$S = S_1 \otimes S_2 = \begin{pmatrix} r & t' \\ t & r' \end{pmatrix}, \quad \text{where} \quad (45)$$

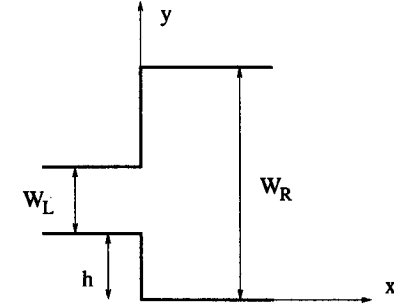
$$r = r_1 + t'_1 r_2 (1 - r'_1 r_2)^{-1} t_1, \quad (46)$$

$$t = t_2 (1 - r'_1 r_2)^{-1} t_1, \quad (47)$$

$$r' = r'_2 + t_2 (1 - r'_1 r_2)^{-1} r'_1 t'_2, \quad (48)$$

$$t' = t'_1 (1 - r_2 r'_1)^{-1} t'_2. \quad (49)$$

1 Scattering matrix for constriction



The wave functions satisfy the Helmholtz equation

$$(\nabla^2 + k_F^2) \Psi(x, y) = 0. \quad (1)$$

The wave functions on the left/right hand sides are

$$\Psi_L(x, y) = \frac{1}{\sqrt{k_p^{(L)}}} e^{ik_p^{(L)} x} \chi_p^{(L)}(y) + \sum_j r_{jp} \frac{1}{\sqrt{k_j^{(L)}}} e^{-ik_j^{(L)} x} \chi_j^{(L)}(y), \quad (2)$$

$$\Psi_R(x, y) = \sum_j t_{jp} \frac{1}{\sqrt{k_j^{(R)}}} e^{ik_j^{(R)} x} \chi_j^{(R)}(y), \quad \text{where} \quad (3)$$

$$k_n^{(L)} = k_F \sqrt{1 - \left(\frac{n\pi}{k_F W_L}\right)^2}, \quad (4)$$

$$k_n^{(R)} = k_F \sqrt{1 - \left(\frac{n\pi}{k_F W_R}\right)^2}, \quad (5)$$

$$\chi_n^{(L)}(y) = \begin{cases} \sqrt{\frac{2}{W_L}} \sin\left(\frac{n\pi}{W_L}(y - h)\right), & \text{if } h < y < W_L + h \\ 0, & \text{otherwise.} \end{cases} \quad (6)$$

$$\chi_n^{(R)}(y) = \sqrt{\frac{2}{W_R}} \sin\left(\frac{n\pi}{W_R} y\right), \quad (7)$$

For simplicity, we assumed that $W_L < W_R$. Note that $\chi_n^{(L)}$ and $\chi_n^{(R)}$ are orthonormal basis. The boundary conditions are

$$\Psi_L \Big|_{x=0} = \Psi_R \Big|_{x=0}, \quad (8)$$

$$\frac{d\Psi_L}{dx} \Big|_{x=0} = \frac{d\Psi_R}{dx} \Big|_{x=0}. \quad (9)$$

Substituting the above wave functions into the equations of the boundary conditions, we have

$$\frac{1}{\sqrt{k_p^{(L)}}} \chi_p^{(L)}(y) + \sum_j r_{jp} \frac{1}{\sqrt{k_j^{(L)}}} \chi_j^{(L)}(y) = \sum_j t_{jp} \frac{1}{\sqrt{k_j^{(R)}}} \chi_j^{(R)}(y), \quad (10)$$

$$i\sqrt{k_p^{(L)}} \chi_p^{(L)}(y) - i \sum_j r_{jp} \sqrt{k_j^{(L)}} \chi_j^{(L)}(y) = i \sum_j t_{jp} \sqrt{k_j^{(R)}} \chi_j^{(R)}(y). \quad (11)$$

Multiplying both sides of the above equations from left by $[\chi_m^{(L)}(y)]^*$ and integrating over y from h to W_L (this is the interval, where $\chi_n^{(L)}$ are nonzero), we obtain

$$\delta_{mp} + r_{mp} = \sum_j \sqrt{\frac{k_m^{(L)}}{k_j^{(R)}}} \langle \chi_m^{(L)} | \chi_j^{(R)} \rangle t_{jp}, \quad (12)$$

$$\delta_{mp} - r_{mp} = \sum_j \sqrt{\frac{k_j^{(R)}}{k_m^{(L)}}} \langle \chi_m^{(L)} | \chi_j^{(R)} \rangle t_{jp}, \quad \text{where} \quad (13)$$

$$\langle \chi_m^{(L)} | \chi_j^{(R)} \rangle = \int_h^{W_L} [\chi_m^{(L)}(y)]^* \chi_j^{(R)}(y) dy. \quad (14)$$

We now introduce the following overlap integral:

$$e_{mj} = \sqrt{\frac{k_m^{(L)}}{k_j^{(R)}}} \langle \chi_m^{(L)} | \chi_j^{(R)} \rangle, \quad (15)$$

Then,

$$1 + r = e t, \quad (16)$$

$$1 - r = \sum_j \sqrt{\frac{k_j^{(R)}}{k_m^{(L)}}} \langle \chi_m^{(L)} | \chi_j^{(R)} \rangle t_{jp}, \quad (17)$$

Adding the two equations and multiplying the resulting equation by e^+ , where the sign + stands for the transposition and conjugation.

$$2e^+ = e^+ e t + \sum_{m,j} \sqrt{\frac{k_m^{(L)}}{k_j^{(R)}}} \sqrt{\frac{k_j^{(R)}}{k_m^{(L)}}} \langle \chi_j^{(R)} | \chi_m^{(L)} \rangle \langle \chi_m^{(L)} | \chi_j^{(R)} \rangle t_{jp}. \quad (18)$$

The summation over m gives the unit matrix and then the summation over j results in the matrix t , i.e.,

$$2e^+ = e^+ e t + t, \quad (19)$$

from which we find

$$t = 2(1 + e^+ e)^{-1} e^+. \quad (20)$$

Then,

$$r = e t - 1 = 2e(1 + e^+ e)^{-1} e^+ - 1. \quad (21)$$

We now prove the following identity:

$$(1 + e^+ e)^{-1} e^+ = e^+ (1 + e e^+)^{-1}. \quad (22)$$

$$2e^+ = e^+ e t + t$$

Starting from the left hand side we have

$$(1 + e^+ e)^{-1} e^+ = [e^+ (e^{+1} + e)]^{-1} e^+ = (e^{+1} + e)^{-1} \quad (23)$$

$$= [(1 + e e^+) e^{+1}]^{-1} = e^+ (1 + e e^+)^{-1}. \quad (24)$$

Thus, the matrix r becomes

$$r = 2e(1 + e^+ e)^{-1} e^+ - 1 = 2e e^+ (1 + e e^+)^{-1} - 1 \quad (25)$$

$$= 2e e^+ (1 + e e^+)^{-1} - (1 + e e^+) (1 + e e^+)^{-1} \quad (26)$$

$$= (2e e^+ - 1 - e e^+) (1 + e e^+)^{-1} = (e e^+ - 1) (1 + e e^+)^{-1}. \quad (27)$$

The scattering matrices for wave function incoming from the right side can be obtained with similar calculations and we find

$$r' = (1 + e^+ e)^{-1} (1 - e^+ e), \quad (28)$$

$$t' = t' = 2e(1 + e^+ e)^{-1}. \quad (29)$$

In summary, the full scattering matrix becomes

$$S = \begin{pmatrix} r & t' \\ t & r' \end{pmatrix}, \quad \text{where} \quad (30)$$

$$r = (P - 1) (1 + P)^{-1}, \quad (31)$$

$$t = 2e^+ (1 + P)^{-1}, \quad (32)$$

$$t' = 2e(1 + Q)^{-1}, \quad (33)$$

$$r' = (1 - Q) (1 + Q)^{-1}, \quad (34)$$

$$P = e e^+, \quad (35)$$

$$Q = e^+ e, \quad (36)$$

$$e_{mj} = \sqrt{\frac{k_m^{(L)}}{k_j^{(R)}}} \langle \chi_m^{(L)} | \chi_j^{(R)} \rangle = \sqrt{\frac{k_m^{(L)}}{k_j^{(R)}}} \int_h^{W_L} [\chi_m^{(L)}(y)]^* \chi_j^{(R)}(y) dy, \quad (37)$$

$$(38)$$

Finally, some useful identities:

$$e^+ (1 + P)^{-1} = (1 + Q)^{-1} e^+, \quad (39)$$

$$e (1 + P)^{-1} = (1 + Q)^{-1} e, \quad (40)$$

$$P^+ = P, \quad (41)$$

$$Q^+ = Q. \quad (42)$$

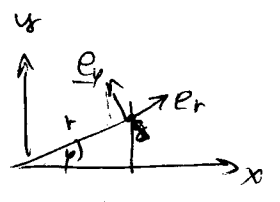
$$2ik_m^{(p)} \delta_{mp} = \sum_j \left[ik_m^{(1)} \langle \chi_m^{(1)} | \phi_j^{(1)} \rangle + \langle \chi_m^{(1)} | \frac{\partial \phi_j^{(1)}}{\partial u} \rangle \right] c_j$$

$\frac{1}{m} \frac{1}{v_m} [c_j = v_m]$

$$0 = \sum_j \left[ik_m^{(2)} \langle \chi_m^{(2)} | \phi_j^{(2)} \rangle + \langle \chi_m^{(2)} | \frac{\partial \phi_j^{(2)}}{\partial u} \rangle \right] c_j$$

$$2ik_m^{(p)} \delta_{mp} = \sum_j A_{mj} c_j$$

$$0 = \sum_j B_{mj} c_j$$



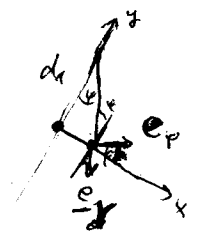
$$A_{mj} = ik_m^{(1)} \langle \chi_m^{(1)} | \phi_j^{(1)} \rangle + \langle \chi_m^{(1)} | \frac{\partial \phi_j^{(1)}}{\partial u} \rangle = \sqrt{\frac{2}{a}} \int_0^a dx \sin \frac{m\pi}{a} x \cdot \left[\phi_j^{(1)}(x, 0) \frac{\partial \phi_j^{(1)}}{\partial u} \Big|_{x,y=0} \right]$$

$$\phi_j^{(1)}(x, y) = J_{\nu_j}(\xi r) \cdot \sin \nu_j \varphi = \frac{J_{\nu_j}(\xi d) \sin(\nu_j \varphi)}{J_{\nu_{j+1}}(\xi d) \sin(\nu_{j+1} \varphi)} \cdot J_{\nu_{j+1}}(\xi r) \sin(\nu_{j+1} \varphi)$$



$$\nu_j = \frac{j\pi}{\alpha + \alpha_2}$$

$$\phi_j^{(1)}(x, 0) = \phi_j^{(1)}(r = d \cos \varphi, \varphi = \arctan \frac{y}{x})$$



$$\frac{\partial \phi_j^{(1)}}{\partial u} = -\frac{\partial \phi_j^{(1)}}{\partial r} \cdot \cos \varphi + \frac{1}{r} \cdot \frac{\partial \phi_j^{(1)}}{\partial \varphi} \cdot \sin \varphi = \frac{d_x}{\cos \varphi}$$

$$= \left(-\frac{\partial J_{\nu_j}(\xi r)}{\partial r} \sin \nu_j \varphi + \frac{1}{r} \frac{\partial J_{\nu_{j+1}}(\xi r)}{\partial r} \sin \nu_{j+1} \varphi \right) \cos \varphi + \frac{1}{r} \left[\nu_j J_{\nu_j}(\xi r) \cos \nu_j \varphi - \frac{1}{\nu_{j+1}} J_{\nu_{j+1}}(\xi r) \cdot \nu_{j+1} \cos \nu_{j+1} \varphi \right] \sin \varphi$$

$$\frac{J_{\nu_j}(\xi d) \sin(\nu_j \varphi)}{J_{\nu_{j+1}}(\xi d) \sin(\nu_{j+1} \varphi)}$$

$$A_{mj} = \sqrt{\frac{2}{a}} \int_0^a dx \sin \frac{m\pi}{a} x \left[\left(J_{\nu_j}(\xi r) \sin \nu_j \varphi - \frac{1}{\nu_{j+1}} J_{\nu_{j+1}}(\xi r) \sin \nu_{j+1} \varphi \right) \cos \varphi + \frac{1}{r} \left(\nu_j J_{\nu_j}(\xi r) \cos \nu_j \varphi - \nu_{j+1} J_{\nu_{j+1}}(\xi r) \cos \nu_{j+1} \varphi \right) \sin \varphi \right]$$

$$k r_s = k \cdot \sqrt{x^2 + d_s^2} = k \sqrt{\tilde{x}^2 + \cos^2 \varphi_s} = 2 \cdot \pi \sqrt{\tilde{x}^2 + \cos^2 \varphi_s}$$

$$\varphi = \arctan \frac{\tilde{x}}{\cos \varphi_s}$$

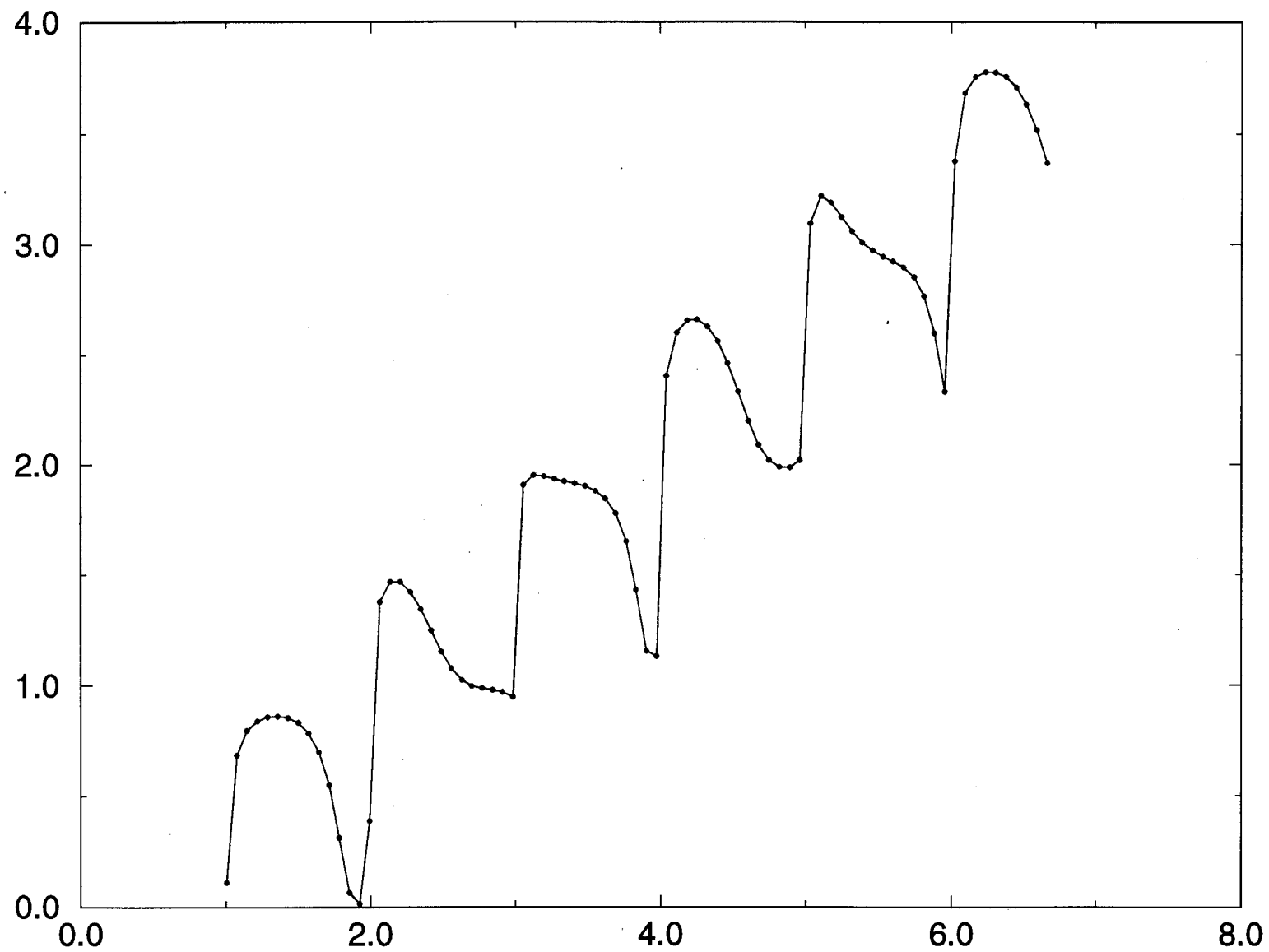
$$p = \arctan \frac{x}{d_s} \Rightarrow \frac{\tilde{x} d}{d \cos \varphi_s} \frac{1}{r} = \frac{\cos \varphi}{d_s} = \frac{\cos \varphi}{d \cos \varphi_s} \cdot \sin \varphi = \frac{1}{d} \frac{\sin 2\varphi}{\cos \varphi_s}$$

$$z = \frac{\xi d}{u}$$

$x \in [0, d \sin \varphi_s]$

/asym45/g.s45

'97.07.10.



Green-függvény:

$$[E - H(\underline{r})] G(\underline{r}, \underline{r}', E) = \delta(\underline{r} - \underline{r}')$$

+ hat. felt. (pl. Dirichlet vagy Neumann)

Legyen $H(\underline{r}) \phi_n(\underline{r}) = E_n \phi_n(\underline{r})$ Sajátérték egyenlet

$$\int \phi_n^*(\underline{r}) \phi_m(\underline{r}) d\underline{r} = \delta_{nm}$$

$$\Leftrightarrow \sum_n \phi_n(\underline{r}) \phi_n^*(\underline{r}') = \delta(\underline{r} - \underline{r}')$$

leolvas:

operatorok

$$\phi_n(\underline{r}) = \langle \underline{r} | \phi_n \rangle$$

$$\delta(\underline{r} - \underline{r}') H(\underline{r}) = \langle \underline{r} | H | \underline{r}' \rangle$$

$$G(\underline{r}, \underline{r}', E) = \langle \underline{r} | G(E) | \underline{r}' \rangle$$

$$\langle \underline{r} | \underline{r}' \rangle = \delta(\underline{r} - \underline{r}')$$

$$\int d\underline{r} |\underline{r}\rangle \langle \underline{r}| = 1$$

199 $(E - H) G = 1$

$$H|\phi_n\rangle = E_n|\phi_n\rangle, \langle \phi_n | \phi_m \rangle = \delta_{nm}, \sum_n |\phi_n\rangle \langle \phi_n| = 1$$

Es

$$\langle \underline{r} | (E - H) G | \underline{r}' \rangle = \langle \underline{r} | 1 | \underline{r}' \rangle = \delta(\underline{r} - \underline{r}')$$

$$E G(\underline{r}, \underline{r}', E) - \int d\underline{r}'' \underbrace{\langle \underline{r} | H | \underline{r}'' \rangle}_{\delta(\underline{r} - \underline{r}'') H(\underline{r})} \underbrace{\langle \underline{r}'' | G(E) | \underline{r}' \rangle}_{G(\underline{r}'', \underline{r}', E)} =$$

$$= E G(\underline{r}, \underline{r}', E) - H(\underline{r}) G(\underline{r}, \underline{r}', E)$$

vissza a G szimuláció definícióját.

$$G(E) = \frac{1}{E - H} \Rightarrow G(E) = \frac{1}{E - H} \sum_n |\phi_n\rangle \langle \phi_n| = \sum_n \frac{|\phi_n\rangle \langle \phi_n|}{E - E_n}$$

detalános f. f. \downarrow
 $F(H)|\phi_n\rangle = F(E_n)|\phi_n\rangle$

r-reprezentációban:

$$G(\underline{r}, \underline{r}', E) = \sum_n \frac{\phi_n(\underline{r}) \phi_n^*(\underline{r}')}{E - E_n}$$

Perturbáció: $H = H_0 + H_1$

keppen $G_0 = (E - H_0)^{-1}$

és $G = (E - H)^{-1} = (E - H_0 - H_1)^{-1}$

$$\Rightarrow \underbrace{(E - H_0 - H_1)}_{G_0^{-1}} G = 1 \Rightarrow G_0^{-1} G - H_1 G = 1$$

$$G - G_0 H_1 G = G_0$$

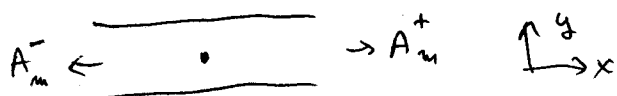
$\Rightarrow G = G_0 + G_0 H_1 G$ Dyson-egyenlet.

Iteráció: $G = G_0 + G_0 H_1 G_0 + G_0 H_1 G_0 H_1 G_0 + \dots$

Retardált Green-függvény: $G^R = \frac{1}{E - H + i0^+}$

Green-függvény és az S-matrix kapcsolata:

Vizsgáljuk az üres cső Green-függvényét.



$$(E - H) G(x, y, x', y') = \delta(x - x') \delta(y - y') \rightarrow H$$

$$G(x, y, x', y') = \sum_m A_m^\pm \chi_m(y) \cdot e^{i k_m |x - x'|} \rightarrow \begin{cases} x > x', & A_m^+ \\ x < x', & A_m^- \end{cases}$$

$$\left[-\frac{\hbar^2}{2m} \frac{\partial^2}{\partial y^2} + U(y) \right] \chi_m(y) = \epsilon_m \chi_m(y) \quad , \int \chi_m(y) \chi_n^*(y) dy = \delta_{mn}$$

$$\epsilon_m = \frac{\sqrt{2m(E - \epsilon_m)}}{\hbar}$$

$$G(x, x') \Big|_{x=x'+0} = G(x, x') \Big|_{x=x'-0}$$

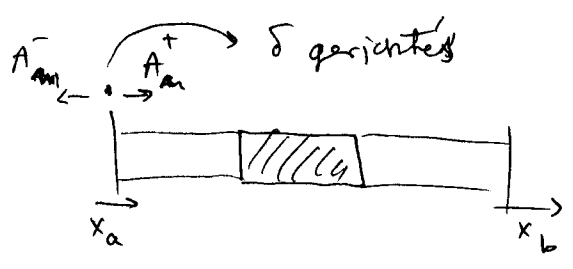
$$\frac{\partial G(x, x')}{\partial x} \Big|_{x=x'+0} - \frac{\partial G(x, x')}{\partial x} \Big|_{x=x'-0} = \frac{2m}{\hbar^2} \delta(y - y')$$

$$\int dy \chi_m^*(y) / \sum_m A_m^+ \chi_m(y) = \sum_m A_m^- \chi_m(y)$$

$$\int dy \chi_m^*(y) / \sum_m i k_m (A_m^+ + A_m^-) \chi_m(y) = \frac{2m}{\hbar^2} \delta(y - y')$$

$$A_m^+ = A_m^- \quad \text{és} \quad i\epsilon_m (A_m^+ + A_m^-) = \frac{2u_m}{t^2} \chi_m^*(y')$$

$$\Rightarrow A_m^+ = A_m^- = -\frac{i}{t v_m} \chi_m^*(y'), \quad \text{ahol} \quad v_m = \frac{t \epsilon_m}{m}$$



$$\text{és} \quad k_m = \frac{\sqrt{2m(E - E_m)}}{\hbar}$$

$$G(x, y, x', y') = \sum_m -\frac{i}{t v_m} e^{i k_m (x-x')} \chi_m(y) \chi_m^*(y')$$

$$G_{ba}^R(y_b, y_a) \equiv G_{ba}^R(y_b, x_b=0, y_a, x_a=0) \quad \text{local coord.}$$

$$G_{ba}(y_b, y_a) = \sum_{m \in A} \sum_{n \in B} [\delta_{nm} \hat{S}_{nm}^- + \hat{S}_{nm}^+ A_m^+] \chi_n^{(b)}(y_b)$$

De az előbb láttuk, hogy távol (bal oldalt) a veresztől

$$A_m^- = A_m^+ = -\frac{i}{t v_m} \chi_m^{(a)}(y_a)$$

$$\hat{S}_{nm} = \hat{S}_{nm} \cdot \sqrt{\frac{k_n^{(b)}}{k_m^{(a)}}} \quad \rightarrow \text{Ezt továbbra is láttuk.}$$

$$\Rightarrow G_{ba}(y_b, y_a) = \sum_{\substack{m \in A \\ n \in B}} -\frac{i}{t(v_m^{(a)} v_n^{(b)})} \chi_m^{(a)}(y_a) \chi_n^{(b)}(y_b) [\delta_{nm} + S_{nm}]$$

$$\int dy_a dy_b \chi_m^{(a)}(y_a) \chi_n^{(b)}(y_b)$$

$$\Rightarrow S_{nm} = -\delta_{nm} + it \sqrt{v_n^{(b)} v_m^{(a)}} \iint G_{ba}^R(y_b, y_a) \chi_m^{(a)}(y_a) \chi_n^{(b)}(y_b) dy_a dy_b$$

Risher - Lee - reláció PRB, 23, 6851 ('81)

B-tér : Baranger, Stone PRB, 40, 8169 ('89)

Az elektron-elektron kölcsönhatás nincs bent!
 el-el. zh. esetén célkeresztben a kubo-formalizmusból kiindulni.

Übers G_0 :

$$G_0^R(r, r', E) = \sum_n -\frac{i}{4v_n} \chi_n(y_a) \chi_n(y_b) \cdot e^{i\epsilon_n |x-x'|}$$

$$t_{nm} = -\delta_{nm} + it\sqrt{v_n v_m} \cdot \int dy_a dy_b \chi_n(y_a) \chi_m(y_b) \left[\frac{-i}{4v_n} \right] \chi_e(y_a) \chi_e(y_b) e^{i\epsilon_e |x-x'|}$$

$$\Rightarrow t_{nm} = 0 \quad e^{i\epsilon_e |x-x'|} = 1, \text{ weil } x=x'!$$

$$t_{nm} = it\sqrt{v_n v_m} \iint dy_a dy_b \chi_n(y_a) \chi_m(y_b) \cdot \sum_e -\frac{i}{4v_e} \chi_e(y_a) \chi_e(y_b) e^{i\epsilon_e |x-x'|}$$

$$= \delta_{nm} \cdot e^{i\epsilon_n |x-x'|}$$

} also $x-x' = L$ a minute losbra...

Dirac-Delta Erweiterung:

$$\lambda \delta(x-x_e)$$

$$H_1 = |e\rangle \lambda \langle e|$$

$$G = G_0 + G_0 H_1 G \Rightarrow G = G_0 + G_0 H_1 G_0 + G_0 H_1 G_0 H_1 G_0 + \dots$$

$$\Rightarrow G = G_0 + G_0 |e\rangle \lambda \langle e| G_0 + G_0 |e\rangle \lambda \langle e| G_0 |e\rangle \lambda \langle e| G_0 + \dots$$

$$= G_0 + G_0 |e\rangle \lambda (1 + \lambda \langle e| G_0 |e\rangle + \lambda^2 \langle e| G_0 |e\rangle \langle e| G_0 |e\rangle + \dots) \langle e| G_0 =$$

$$= \boxed{G_0 + \lambda \frac{G_0 |e\rangle \langle e| G_0}{1 - \lambda G_0(e, e, E)}}$$

$$G_0(e, e, E)$$

$$\Rightarrow \boxed{G_0(r, r', E) = G_0(r, r', E) + \lambda \frac{G_0(r, e) G_0(e, r')}{1 - \lambda G_0(e, e, E)}}$$

So Dirac-Delta erweiterung: iterativ!

r-repr

$$G_N(r, r', E) = \left| \begin{array}{ccc} G_0(r, r', E) & G_0(r, a_1) & \dots & G_0(r, a_N) \\ G_0(a_1, r') & G_0(a_1, a_1) - \frac{1}{\lambda} & & G_0(a_1, a_N) \\ \vdots & \vdots & \ddots & \vdots \\ G_0(a_N, r') & G_0(a_N, a_1) & \dots & G_0(a_N, a_N) - \frac{1}{\lambda} \end{array} \right|$$

N-dB
Dirac-Delta

$$\left| \begin{array}{ccc} G_0(a_1, a_1) - \frac{1}{\lambda} & & G_0(a_1, a_N) \\ \vdots & \ddots & \vdots \\ G_0(a_N, a_1) & \dots & G_0(a_N, a_N) - \frac{1}{\lambda} \end{array} \right| \frac{1}{\lambda_N}$$

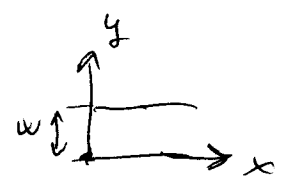
Übersch. Green-fu. - nel más leveretése:

$$G^R(x, y; x', y', E) = \sum_m \frac{\psi_m(x) \psi_m^*(x')}{E - E_m + i\eta}$$

← sajátfu. Éleste's alapján.

ahol $H \psi_m(x) = E_m \psi_m(x)$

Übersch. nével: $H = \frac{p^2}{2m} = \frac{p_x^2}{2m} + \frac{p_y^2}{2m}$



Élőse $\psi_{m,2}(x, y) = \frac{1}{\sqrt{L}} e^{i k x} \cdot \chi_m(y)$

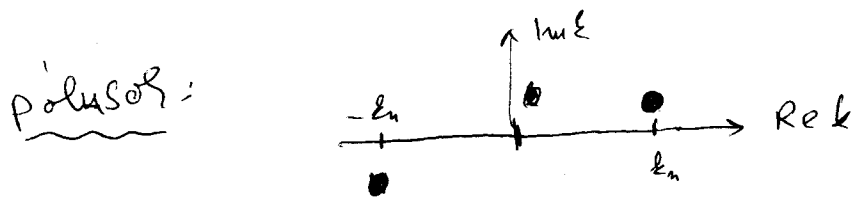
2v. indexes

$\chi_m(y) = \sqrt{\frac{2}{w}} \sin \frac{m\pi}{w} y$ és $E_{m,2} = \frac{\hbar^2}{2m} (k^2 + \frac{n^2 \pi^2}{w^2})$

Így $G^R(x, y; x', y', E) = \frac{1}{L} \sum_{n, k} \frac{e^{i k (x-x')} \chi_n(y) \chi_n(y')}{E - E_{n,2} + i\eta}$

$\sum_k \rightarrow \frac{L}{2\pi} \int dk$

$$G^R(x, y; x', y') = \frac{1}{2\pi} \sum_n \int_{-\infty}^{\infty} dk \frac{e^{i k (x-x')}}{E - \frac{\hbar^2}{2m} (k^2 + \frac{n^2 \pi^2}{w^2}) + i\eta} \chi_n(y) \chi_n(y')$$



$k_{1,2} = \pm k_n (1 + i\delta)$, ahol $k_n = \sqrt{\frac{2m}{\hbar^2} E - \frac{n^2 \pi^2}{w^2}}$

Tfh. $x - x' > 0$ akkor fels. félkörön zártul a kontúr.

$$G^R(x, y; x', y') = \frac{2\pi i}{2\pi} \sum_n \frac{e^{i k_n (x-x')}}{-\frac{\hbar^2}{2m} 2k_n} \chi_n(y) \chi_n(y') = \sum_n \frac{-i}{\hbar v_n} e^{i k_n (x-x')} \chi_n(y) \chi_n(y')$$

ahol $v_n = \frac{\hbar k_n}{m}$

Ha $x-x' < 0$, akkor az alsó félkörön zártul a kontúr.

Erssor a $z_2 = -z_n(1+i\delta)$ pólus M.émit.

Végül:

$$G^R(x, y; x', y') = \sum_n \frac{-i}{\pm v_n} e^{i z_n |x-x'|} \chi_n(y) \chi_n(y')$$

ahogy ezt a 26. oldalán már megbeszéltük.

Egy db. Dirac-delta Green-függvény r-repiben:

$$G = G_0 + G_0 H_1 G$$

$$\langle r | G | r' \rangle = \langle r | G_0 | r' \rangle + \iint \langle r | G_0 | r_1 \rangle \underbrace{\langle r_1 | H_1 | r_2 \rangle}_{\delta(r_1 - r_2) H_1(r_1)} \langle r_2 | G | r' \rangle d^3 r_1 d^3 r_2$$

$$G(r, r') = G_0(r, r') + \iint G_0(r, r_1) \delta(r_1 - r_2) H_1(r_2) G(r_2, r') d^3 r_1 d^3 r_2 =$$

$$= G_0(r, r') + \int G_0(r, r_1) H_1(r_1) G(r_1, r') d^3 r_1 = \lambda \delta(r_0, r_1)$$

$$\boxed{G(r, r') = G_0(r, r') + \lambda G_0(r, r_0) G(r_0, r')}$$

Legyen $r = r_0 \Rightarrow G(r_0, r') = G_0(r_0, r') + \lambda G_0(r_0, r_0) G(r_0, r')$

$$\Rightarrow G(r_0, r') = \frac{G_0(r_0, r')}{1 - \lambda G_0(r_0, r_0)}$$

$$\Rightarrow \boxed{G(r, r') = G_0(r, r') + \lambda \frac{G_0(r, r_0) G_0(r_0, r')}{1 - \lambda G_0(r_0, r_0)}}$$

Ezt kapjuk a sorösszegezésnél is, így az eredmény akkor is érvényes, ha sor nem konvergens (azaz, ha $\lambda G_0(r_0, r_0) > 1$).

Be lehet látni algebrai úton, sorösszegezés nélkül is a G -t.

$$G = [E - H_0 - \lambda |e\rangle\langle e|]^{-1}$$

$$G_0^{-1} \equiv A$$

A feltehetően algebrai úton:

$$G = G_0 \frac{\lambda |e\rangle\langle e| G_0}{1 - \lambda \langle e | G_0 | e \rangle} =$$

$$\Rightarrow G_0 + \frac{\lambda G_0 |e\rangle\langle e| G_0}{1 - \lambda \langle e | G_0 | e \rangle}$$

Tétel: $[A + |x\rangle\langle y|]^{-1} = A^{-1} \frac{A^{-1}|x\rangle\langle y|A^{-1}}{1 + \langle y|A^{-1}|x\rangle}$

Binomális: szorzatul meg fordítva jobbról
 $A + |x\rangle\langle y|$ - nál. $\frac{1}{1 - \langle y|A^{-1}|x\rangle}$ - et használ.

Boundary element method:

Reichl: PRB 59, 8163 (199)

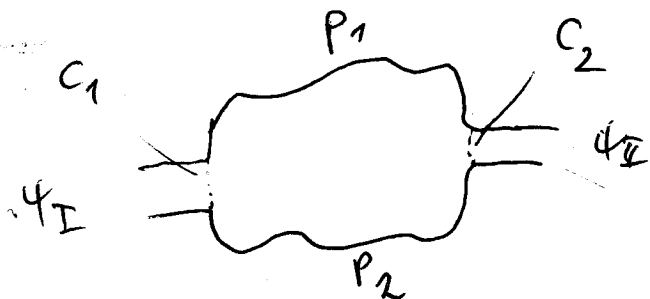
→ boundary

$$\partial D = C_1 + C_2 + P_1 + P_2$$

Helmholtz-egyenlet:

$$(\nabla^2 + k_F^2) \psi(\underline{r}) = 0$$

$$\psi|_{\text{hat}} = 0$$



$$\psi_I = e^{i \xi_m^{(I)} x} \chi_m^{(I)}(y) + \sum_j \hat{f}_{jm} e^{-i \xi_j^{(II)} x} \chi_j^{(II)}(y)$$

$$\psi_{II} = \sum_j \hat{f}_{jm} e^{i \xi_j^{(II)} x} \chi_j^{(II)}(y)$$

A tartomány belsőben felvettünk egy bázist,

mellyel szelvényíti a Helmholtz-egyenletet:

$$(\nabla^2 + k_F^2) \phi_e(\underline{r}) = 0$$

, de nem tudjuk a hat. feltételt.

A C_1 és C_2 -n a hat. feltétel:

$$\psi_{II}|_{C_1} = \psi|_{C_1}, \quad \psi_{II}|_{C_2} = \psi|_{C_2}, \quad \text{grad} \psi_{II}|_{C_1} = \text{grad} \psi|_{C_1}, \quad \text{grad} \psi_{II}|_{C_2} = \text{grad} \psi|_{C_2}$$

Helmholtz-egyenlettel:

$$\phi_e \nabla^2 \psi + k_F^2 \phi_e \psi = 0 \quad \text{és} \quad \psi \nabla^2 \phi_e + k_F^2 \psi \phi_e = 0 \quad \left(\begin{array}{l} \text{Zivorra} \\ \text{a szelvény} \\ \text{egyenlettel} \end{array} \right)$$

$$\psi \nabla^2 \phi_e - \phi_e \nabla^2 \psi = 0 \Rightarrow \text{div}(\psi \text{grad} \phi_e - \phi_e \text{grad} \psi) = 0$$

$$\Rightarrow \int_{\partial D} d\underline{s} (\psi \text{grad} \phi_e - \phi_e \text{grad} \psi) = 0$$

→ Boundary integrál.
A hull. fv.-eket csak a ∂D határon kell ismerni.

$$\begin{array}{l} \text{degen } P_1\text{-n: } \xi_n^{(1)}(\lambda) = \frac{1}{\sqrt{L_1}} e^{i \frac{2\pi}{L_1} n \lambda} \\ P_2\text{-n: } \xi_n^{(2)}(\lambda) = \frac{1}{\sqrt{L_2}} e^{i \frac{2\pi}{L_2} n \lambda} \end{array} \quad \left. \begin{array}{l} \\ \end{array} \right\} \text{és}$$

Ez az $\text{grad} \psi|_{P_1}$ is periodikus fv.-e λ -nak a határon. Így

Ez az λ koordinátát, a P_1 ill. P_2 mentén vett koszinuszokból jött.

Orthonormált bázis.
Periodikus fv.-e λ -nak.

$$d\underline{s} \text{grad} \psi|_{P_1} = \sum_n C_n^{(1)} \xi_n^{(1)}(\lambda) d\lambda$$

$$\text{és } d\underline{s} \text{grad} \psi|_{P_2} = \sum_n C_n^{(2)} \xi_n^{(2)}(\lambda) d\lambda$$

Állítás

teljesülve a $\int dS (\Psi \text{grad} \phi_e - \phi_e \text{grad} \Psi) = 0$

$\Rightarrow - \int_{P_1} d\lambda \phi_e \sum_n C_n^{(1)} \xi_n^{(1)}(\lambda) - \int_{P_2} d\lambda \phi_e \sum_n C_n^{(2)} \xi_n^{(2)}(\lambda) + \int_{C_1} (\Psi \text{grad} \phi_e - \phi_e \text{grad} \Psi) ds + \int_{C_2} (\Psi \text{grad} \phi_e - \phi_e \text{grad} \Psi) ds = 0$

Erre az egyenletre Ψ -re felírjuk.

Ismeretlenek

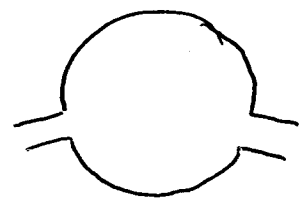
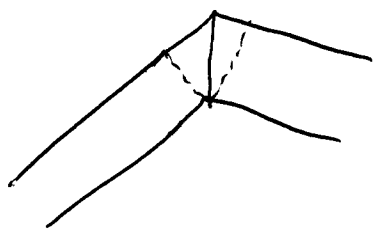
$$\underline{X} = \begin{pmatrix} r_{jm} \\ t_{jm} \\ C_j^{(1)} \\ C_j^{(2)} \end{pmatrix}$$

Ha l index maximális értékű egy valószínű, hogy meggyeszen az ismeretlen mennyiségben,

akkor egy $\underline{A} \underline{X} = \underline{b}$ típusú egyenletet kapunk \underline{X} -re.

$\Rightarrow \underline{r}$ és \underline{t} mennyiségek és $C_j^{(1)}, C_j^{(2)}$ értékeit is meggyeshetjük.

Pl.

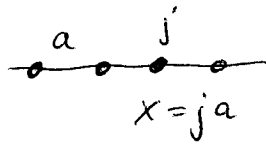


$$\phi_e = J_e(k_p r) e^{i k_p z}$$

Green-fv. r'ason

28

Eqn dimenzi'o: $H = -\frac{\hbar^2}{2m} \frac{d^2}{dx^2} + U(x)$



$$H\psi|_{x=ja} = -\frac{\hbar^2}{2m} \frac{d^2\psi}{dx^2}\bigg|_{x=ja} + U_j \psi_j$$

ahol $U_j = U(x=ja)$, $\psi_j = \psi(x=ja)$

ko'klites: $\frac{d^2\psi}{dx^2}\bigg|_{x=ja} \rightarrow \frac{1}{a^2} (\psi_{j+1} - 2\psi_j + \psi_{j-1})$

$$\Rightarrow H\psi|_{x=ja} = (U_j + 2\gamma) \psi_j - \gamma \psi_{j+1} - \gamma \psi_{j-1}$$

ahol $\gamma = \frac{\hbar^2}{2ma^2}$ hopping \rightarrow TB.

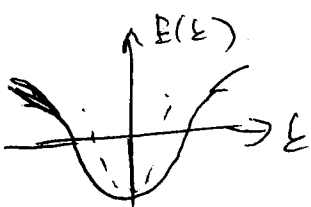
$$H = \begin{bmatrix} & -\gamma & & & \\ -\gamma & U_{-1} + 2\gamma & -\gamma & & \\ & -\gamma & U_0 + 2\gamma & -\gamma & \\ & & -\gamma & U_1 + 2\gamma & \\ & & & -\gamma & \end{bmatrix}$$

Disp. rel. Legyen $U(x) = U_0$, felt: $\psi_j = e^{i\epsilon ja} \rightarrow E = U_0 + \frac{\hbar^2 \epsilon^2}{2m}$

diszkrét: $E\psi_j = (U_0 + 2\gamma) \psi_j - \gamma \psi_{j+1} - \gamma \psi_{j-1}$

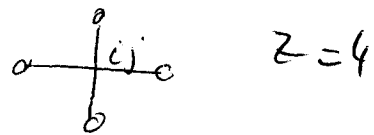
Legyen $\psi_j = e^{i\epsilon ja} \rightarrow E(\epsilon) = U_0 + 2\gamma(1 - \cos \epsilon a)$

$$v = \frac{1}{\hbar} \frac{\partial E}{\partial \epsilon} = \frac{1}{\hbar} 2a\gamma \sin \epsilon a$$



parabola
ha $\epsilon \ll \frac{1}{a}$

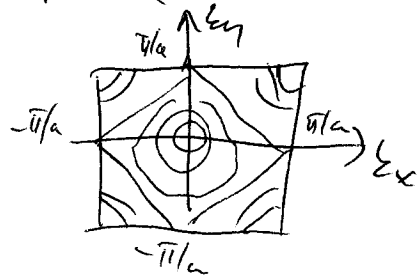
2dim: $E(\epsilon_x, \epsilon_y) = ?$



$$E\psi_{ij} = (U_0 + z\delta)\psi_{ij} - \delta\psi_{i,j+1} - \delta\psi_{i,j-1} - \delta\psi_{i-1,j} - \delta\psi_{i+1,j}$$

$$\psi_{ij} = e^{i(\epsilon_x ia + \epsilon_y ja)}$$

$$\Rightarrow E(\epsilon_x, \epsilon_y) = (U_0 + z\delta) - 2\delta \cos \epsilon_x a - 2\delta \cos \epsilon_y a$$



Decimals:

$$H = \sum_i \epsilon_i |i\rangle\langle i| + \sum_{\substack{i,j \\ i \neq j}} V_{ij} |i\rangle\langle j|$$

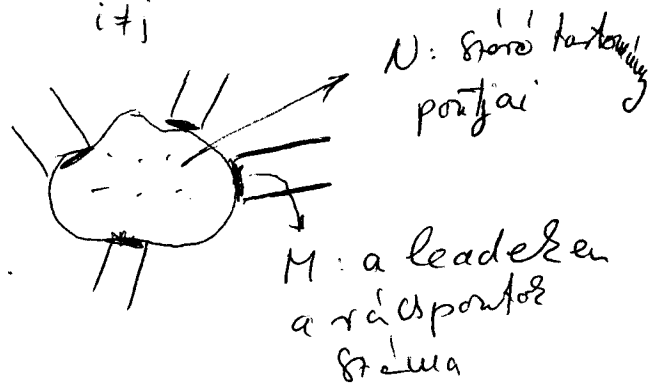
Sch. eqn:

$$\sum_{j=1}^{M+N} H_{ij} \psi_j = E \psi_i$$

$|i\rangle$ can be arbitrary

$$\psi_i = \langle i | \psi \rangle$$

$$H_{ij} = \langle i | H | j \rangle$$



a) Lemma 1: $\epsilon = \epsilon_l$

$$\sum_{\substack{j=1 \\ j \neq l}}^{M+N} H_{lj} \psi_j + H_{le} \psi_e = E \psi_l$$

b) Lemma 2: $i = l \Rightarrow \sum_{\substack{j=1 \\ j \neq l}}^{M+N} H_{lj} \psi_j + H_{le} \psi_e = E \psi_e \Rightarrow$

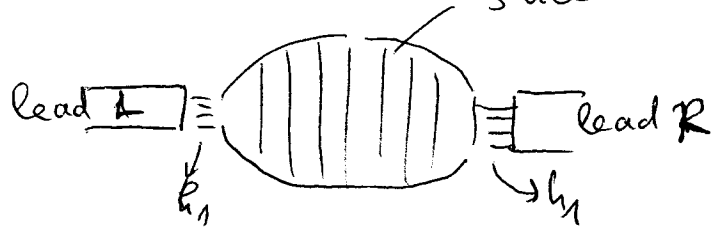
$$\Rightarrow \psi_e = \frac{1}{E - H_{ee}} \sum_{\substack{j=1 \\ j \neq l}}^{M+N} H_{ej} \psi_j \rightarrow \text{beinva}$$

$$\Rightarrow \sum_{\substack{j=1 \\ j \neq l}}^{M+N} \left(H_{lj} + \frac{H_{le} H_{ej}}{E - H_{ee}} \right) \psi_j = E \psi_l$$

$$\Rightarrow \sum_{j=1}^{M+N-1} H'_{ij} \psi_j = E \psi_i,$$

$$\text{ahol } H'_{ij} = H_{ij} + \frac{H_{ie} H_{ej}}{E - H_{ee}}$$

E_{nn} máb. főbbal csillént a H_{ij} matrix. Kisekítés
 A végén H_{eff} egyszerű, $M \times M$ - es matrix
 slice a decimálásvat



Leapen $g_L = (E - H_L)^{-1}$

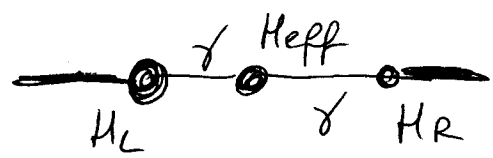
(surface)
 right lead fél-let.
 Green function
 left surface Green fu.

$g_R = (E - H_R)^{-1}$

$$E - H_{total} = \begin{pmatrix} E - H_L & h_1 & 0 \\ h_1^+ & E - H_{eff} & h_1 \\ 0 & h_1 & E - H_R \end{pmatrix}$$

$$G_{total} = \begin{pmatrix} g_L^{-1} & h_1 & 0 \\ h_1^+ & E - H_{eff} & h_1 \\ 0 & h_1 & g_R^{-1} \end{pmatrix}^{-1}$$

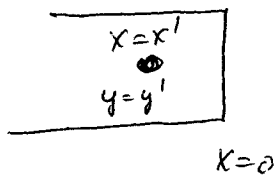
Pr...
Egy dimen:



$$G = (E - H)^{-1} = \begin{pmatrix} g_L^{-1} & -\gamma & 0 \\ -\gamma & E - H_{eff} & -\gamma \\ 0 & -\gamma & g_R^{-1} \end{pmatrix}^{-1}$$

Können, man eine surface Green-fn.?

retarded ~~surface~~ Green fn. for semi-infinite wire



Leeren Dirichlet-kat. feld.
(hard wall pot.)

$$\psi_{m,k}(x,y) = \sqrt{\frac{2}{L}} \chi_m(y) \sin kx$$

$$\chi_m(y) = \sqrt{\frac{2}{w}} \sin \frac{m\pi y}{w}$$

erweitert
modus

$$\epsilon_m(k) = \epsilon_{m,0} + \frac{t^2 k^2}{2m}$$

$$G^R(x,y, x', y') \equiv G^R(x,y, x_1, y_1) =$$

$$= \frac{2}{L} \sum_m \sum_{k>0} \frac{\chi_m(y) \chi_m(y') \sin^2 kx}{E - \epsilon_{m,0} - \frac{t^2 k^2}{2m} + i\eta}$$

$$\sum_{k>0} \rightarrow \frac{L}{\pi} \int_0^\infty dk$$

$$\Rightarrow G^R(x,y, x', y') = \frac{2}{\pi} \sum_m \chi_m(y) \chi_m(y') \int_0^\infty \frac{\sin^2 kx}{E - \epsilon_{m,0} - \frac{t^2 k^2}{2m} + i\eta} dk$$

$$\sin^2 kx = \frac{2 - e^{2ikx} - e^{-2ikx}}{4} \quad \text{es } \int_0^\infty dk \rightarrow \int_{-\infty}^\infty dk$$

$$G^R(x,y, x', y') = \frac{1}{2\pi} \sum_m \chi_m(y) \chi_m(y') \int_{-\infty}^\infty \frac{1 - e^{i2kx}}{E - \epsilon_{m,0} - \frac{t^2 k^2}{2m} + i\eta} dk$$

Kontour integrals, alsoogy Zerschneiden is crucial:

$$G^R(x,y, x', y') = \sum_m \frac{-2 \sin 2k_m x}{t^2 v_m} \chi_m(y) e^{i k_m x} \chi_m(y')$$

$$k_m = \sqrt{\frac{2m(E - \epsilon_{m,0})}{t^2}}, \quad v_m = \frac{t k_m}{m}$$

Eddig lehet x, y koordinátákkal számolni. 30

(*)

Rásson: A helyes eredményt úgy kapjuk,
hogy $x=a$ vesszük.

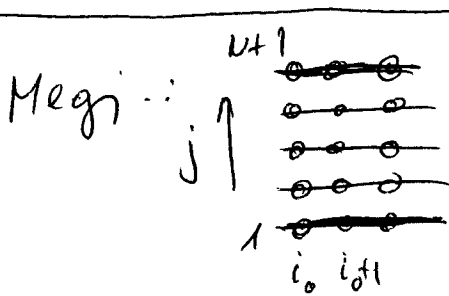
rásson

$$g^R(y_i, y_j) = \sum_m \frac{-e^{i k_m a}}{i k_m} \chi_m(y_i) \chi_m(y_j)$$

De látjuk, hogy $E(k) = E_{m,0} - 2\gamma \cos k_m a$

$$\Rightarrow t v_m = t \frac{\partial E}{\partial k} = 2\gamma a \sin k_m a$$

$$g^R(y_i, y_j) = \sum_m \frac{-e^{i k_m a}}{\gamma a} \chi_m(y_i) \chi_m(y_j)$$



$$\chi_m(j) = \sqrt{\frac{2}{N+1}} \sin \frac{m \pi (j-1)}{N}$$

$a=1$

Eller $\chi_m(j=1) = \chi_m(j=N+1) = 0$
hard wall

Miért $x=a$ érték kapunk helyes eredményt?

Miért nem $x=0$ - t kell venni?

Sch. eqn.: $(E - u_0 - 2\gamma) \psi(n) + \gamma \psi(n+1) + \gamma \psi(n-1) = 0, \quad n > 1$

$(E - u_0 + 2\gamma) \psi(1) + \gamma \psi(2) = 0, \quad n=1$

lehetőség

$$\psi(n) = A_1 \sin(k_n a) + A_2 \cos(k_n a), \quad A_1 \text{ és } A_2 \text{ tetszőleges}$$

De ez az egyenlet csak akkor teljesül, ha $A_2 = 0$ és $E = u_0 + 2\gamma(1 - \cos k a)$

Megj: 1 dim. a felületi Green-fu. meghatározás
 a tüpfel-binding egyenletből is:

$$n > 1: (E - U_0 - 2\gamma) g^R(n,1) + \gamma g^R(n+1,1) + \gamma g^R(n-1,1) = 0 \quad (1)$$

$$n = 1: (E - U_0 - 2\gamma) g^R(1,1) + \gamma g^R(2,1) = 0 \quad (2)$$

$\rightarrow \delta(x-x'), x=x'$

At az els. egyenletet felírhatjuk:

$$g^R(n,1) = g^R(1,1) e^{i\gamma(n-1)a}$$

$$\text{ha } E = U_0 + 2\gamma(1 - \cos \gamma a)$$

beírva a (2) egyenletbe:

$$\Rightarrow g^{(R)}(1,1) = (E - U_0 - 2\gamma + \gamma e^{i\gamma a})^{-1} = \frac{-e^{i\gamma a}}{\gamma}$$

$$\text{így } g^R(n,1) = \frac{-e^{i\gamma a}}{\gamma} e^{i\gamma(n-1)a}$$

Alt: $g^{(R)}(1,1)$ felületi Green-fu. értéke
 kell a résösszegekben


```
In[1]:= Remove["Global`*"]
```

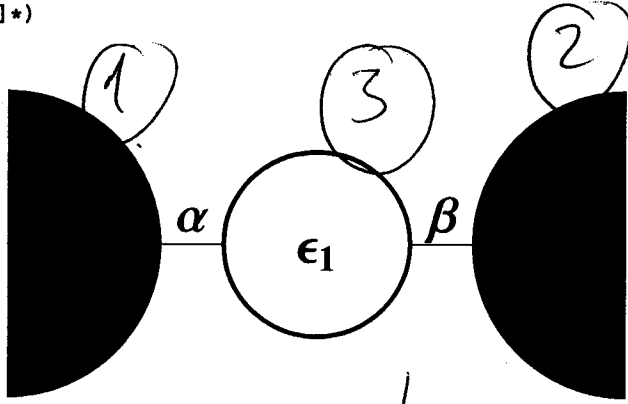
(* Assymmetric Breit-Wigner *)

(*e==ε0-2γ Cos[k]*)

Remove::rmnsm : There are no symbols matching "Global`*". >>

```
In[2]:=
```

```
(*Graphics[{Black,
Disk[{-1,0},.5,{-Pi/2,Pi/2}],Disk[{1,0},.5,{Pi/2,3Pi/2}],
{Thick,Circle[{0,0},.3]},
Line[{{-1,0},{-.3,0}}],
Line[{{1,0},{.3,0}}],
Text[Style["ε1",Large,Bold],{0,0}],
Text[Style["α",Large,Bold],{-0.4,.1}],
Text[Style["β",Large,Bold},{.4,.1}}
]*)
```



Breit-Wigner
resonance

```
In[4]:= v = 2 γ Sin[k]; g0 =  $\frac{-e^{ik}}{\gamma}$ ;
```

$$G = \text{Inverse} \left[\begin{pmatrix} g_0^{-1} & 0 & -\alpha \\ 0 & g_0^{-1} & -\beta \\ -\alpha & -\beta & -2\gamma \cos[k] - \epsilon_1 \end{pmatrix} \right];$$

$E = -2\gamma \cos k$
 $\leftarrow (E - H)^{-1}$

```
t = G[[1, 2]] v // ComplexExpand // Simplify;
```

```
In[7]:= Tt[e_] = Assuming[α ∈ Reals && β ∈ Reals && γ ∈ Reals && k ∈ Reals && ε1 ∈ Reals,
t * t* // FullSimplify] /. {k -> ArcCos[-e / (2 γ)]};
Tt[e] // TraditionalForm
```

Out[8]/TraditionalForm=

$$\frac{4\alpha^2\beta^2\left(1 - \frac{e^2}{4\gamma^2}\right)}{\left(1 - \frac{e^2}{4\gamma^2}\right)(\alpha^2 + \beta^2)^2 + \left(\frac{e(\alpha^2 + \beta^2 - 2\gamma^2)}{2\gamma} + \gamma\epsilon_1\right)^2}$$

$$= \frac{4\alpha^2\beta^2}{(\alpha^2 + \beta^2)^2 + (E - \epsilon_1)^2} \stackrel{\alpha = \beta}{=} \frac{4\alpha^4}{4\alpha^2 + (E - \epsilon_1)^2}$$

```
In[9]:=
```

$$\frac{e}{2\gamma}(\alpha^2 + \beta^2) - e\delta + \delta\epsilon_1$$

$$\frac{4\alpha^4}{2\alpha^4}$$

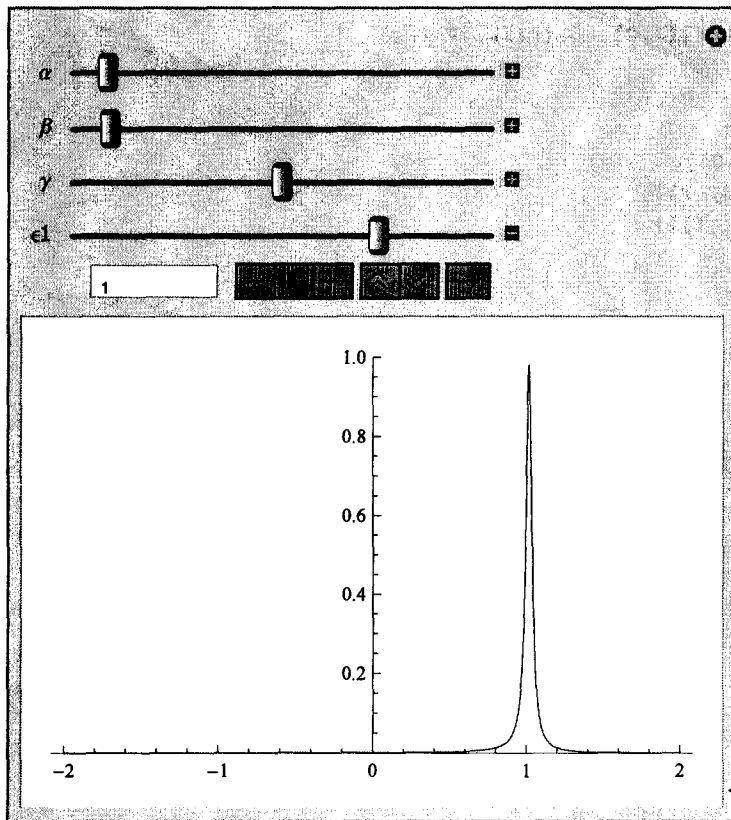
2 | Breit_Wigner_Fano.nb

```
In[10]:= Manipulate[Plot[
$$\frac{4 \alpha^2 \beta^2 \left(1 - \frac{\epsilon^2}{4 \gamma^2}\right)}{\left(\alpha^2 + \beta^2\right)^2 \left(1 - \frac{\epsilon^2}{4 \gamma^2}\right) + \left(\frac{\epsilon(\alpha^2 + \beta^2 - 2 \gamma^2)}{2 \gamma} + \gamma \epsilon 1\right)^2}, \{e, -2, 2\}, \text{PlotRange} \rightarrow \{0, 1\}],$$

```

{{α, .1}, 0, 2}, {{β, .1}, 0, 2}, {{γ, 1}, .5, 1.5}, {{ε1, 0}, -2, 2}]

Out[10]=



In[11]:= (*Fano*)

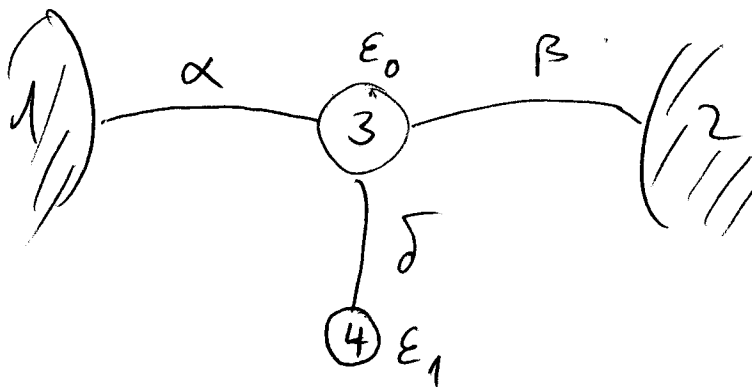
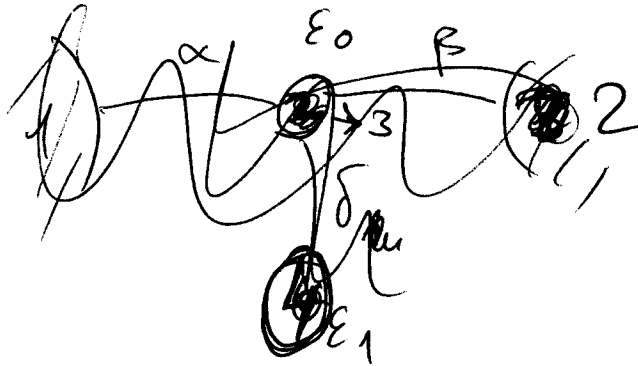
```
(*
Graphics[{Black,
  Disk[{-1,0},.5,{-Pi/2,Pi/2}],Disk[{1,0},.5,{Pi/2,3Pi/2}],
  {Thick,Circle[{0,0},.3]},
  Line[{{-1,0},{-3,0}}],
  Line[{{1,0},{3,0}}],
  Text[Style["ε₁",Large,Bold],{0,0}],
  Text[Style["α",Large,Bold],{-4,.1}],
  Text[Style["β",Large,Bold],{4,.1}],
  {Thick,Circle[{0,1},.3]},
  Text[Style["ε₂",Large,Bold],{0,1}],
  Line[{{0,0.3},{0,0.7}}],
  Text[Style["δ",Large,Bold],{0.1,.5}]
]
*)
```

(*)

$$G = \text{Inverse} \begin{bmatrix} g_0^{-1} & 0 & -\alpha & 0 \\ 0 & g_0^{-1} & -\beta & 0 \\ -\alpha & -\beta & -2\gamma \cos[k] - \epsilon_1 & -\delta \\ 0 & 0 & -\delta & -2\gamma \cos[k] - \epsilon_1 \end{bmatrix};$$

*)

↓ Fano → lässt sich
abrat ~~en~~
~~er. at. f. d. l. o. n.~~



$$\text{In[15]:= } \frac{4 \alpha^2 \beta^2 \left(1 - \frac{e^2}{4 \gamma^2}\right)}{\left(1 - \frac{e^2}{4 \gamma^2}\right) (\alpha^2 + \beta^2)^2 + \left(\frac{e (\alpha^2 + \beta^2 - 2 \gamma^2)}{2 \gamma} + \gamma \left(\epsilon 1 - \frac{\delta^2}{e - \epsilon 2}\right)\right)^2} // \text{TraditionalForm}$$

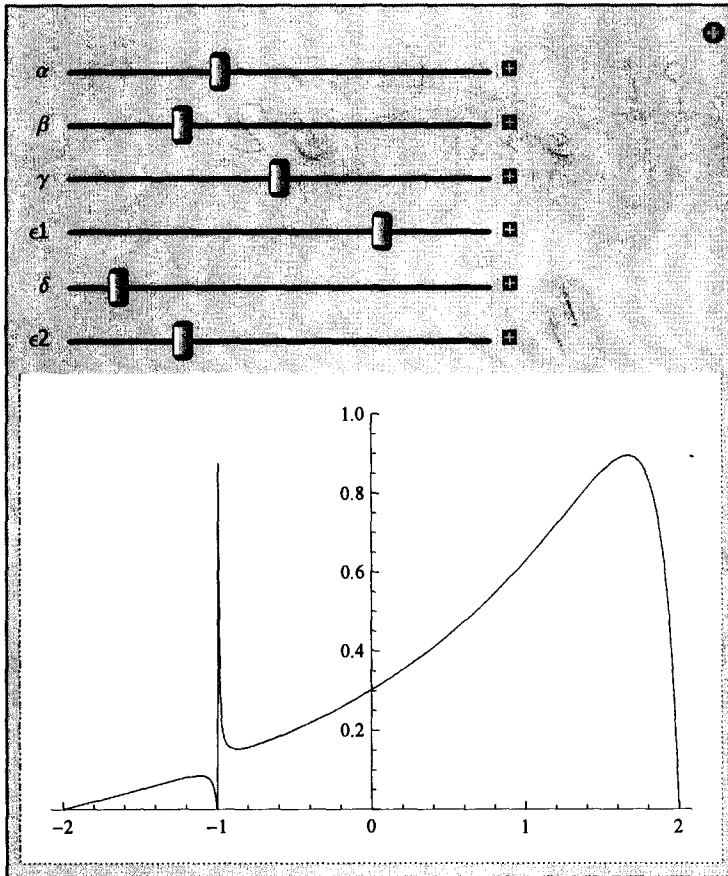
Out[15]/TraditionalForm=

$$\frac{4 \alpha^2 \beta^2 \left(1 - \frac{e^2}{4 \gamma^2}\right)}{\left(1 - \frac{e^2}{4 \gamma^2}\right) (\alpha^2 + \beta^2)^2 + \left(\frac{e (\alpha^2 + \beta^2 - 2 \gamma^2)}{2 \gamma} + \gamma \left(\epsilon 1 - \frac{\delta^2}{e - \epsilon 2}\right)\right)^2}$$



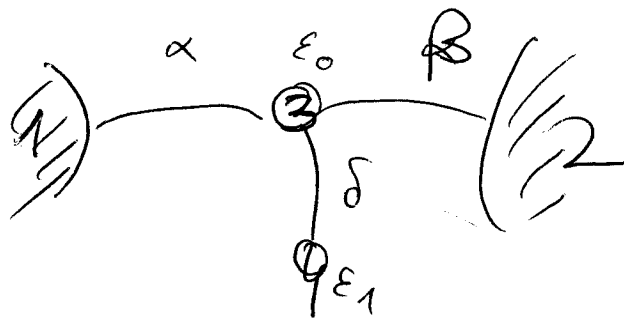
$$\text{In[16]:= Manipulate[Plot[} \frac{4 \alpha^2 \beta^2 \left(1 - \frac{e^2}{4 \gamma^2}\right)}{\left(\alpha^2 + \beta^2\right)^2 \left(1 - \frac{e^2}{4 \gamma^2}\right) + \left(\frac{e (\alpha^2 + \beta^2 - 2 \gamma^2)}{2 \gamma} + \gamma \left(\epsilon 1 - \frac{\delta^2}{e - \epsilon 2}\right)\right)^2}, \{e, -2, 2\}, \text{PlotRange} \rightarrow \{0, 1\},$$

$\{\{\alpha, .1\}, 0, 2\}, \{\{\beta, .1\}, 0, 2\}, \{\{\gamma, 1\}, .5, 1.5\},$
 $\{\{\epsilon 1, 0\}, -2, 2\}, \{\{\delta, 0\}, 1.5\}, \{\{\epsilon 2, 0\}, -2, 2\}]$



$$\text{In[17]:= fanoT = } \frac{4 \alpha^2 \beta^2 \left(1 - \frac{e^2}{4 \gamma^2}\right)}{\left(\alpha^2 + \beta^2\right)^2 \left(1 - \frac{e^2}{4 \gamma^2}\right) + \left(\frac{e (\alpha^2 + \beta^2 - 2 \gamma^2)}{2 \gamma} + \gamma \left(\epsilon 1 - \frac{\delta^2}{e - \epsilon 2}\right)\right)^2}$$

$$\text{Out[17]= } \frac{4 \alpha^2 \beta^2 \left(1 - \frac{e^2}{4 \gamma^2}\right)}{\left(\alpha^2 + \beta^2\right)^2 \left(1 - \frac{e^2}{4 \gamma^2}\right) + \left(\frac{e (\alpha^2 + \beta^2 - 2 \gamma^2)}{2 \gamma} + \gamma \left(\epsilon 1 - \frac{\delta^2}{e - \epsilon 2}\right)\right)^2}$$



Fano
resonance

~~Resonance~~ ~~Resonance~~

(*)

$$G = \text{Inverse} \left[\begin{pmatrix} g_0^{-1} & 0 & -\alpha & 0 \\ 0 & g_0^{-1} & -\beta & 0 \\ -\alpha & -\beta & -2\gamma \cos[k] - \epsilon_1 & -\delta \\ 0 & 0 & -\delta & -2\gamma \cos[k] - \epsilon_1 \end{pmatrix} \right];$$

*)

Kvantum Hall-effektus (egértámu)

Drude-modell, his B-tér!

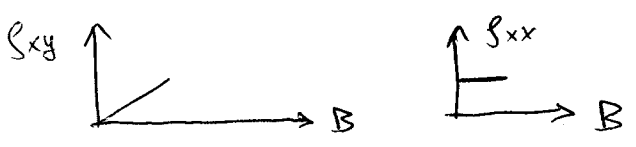
$\underline{B} = \begin{pmatrix} 0 \\ 0 \\ B \end{pmatrix}, \underline{E} = \begin{pmatrix} E_x \\ E_y \\ 0 \end{pmatrix}$ $\frac{m \underline{v}}{\tau} = e(\underline{E} + \underline{v} \times \underline{B})$ τ : impulzus relax idő / ütközési idő

$\Rightarrow \begin{pmatrix} E_x \\ E_y \end{pmatrix} = \begin{pmatrix} \frac{m}{e\tau} & -B \\ B & \frac{m}{e\tau} \end{pmatrix} \begin{pmatrix} v_x \\ v_y \end{pmatrix}$

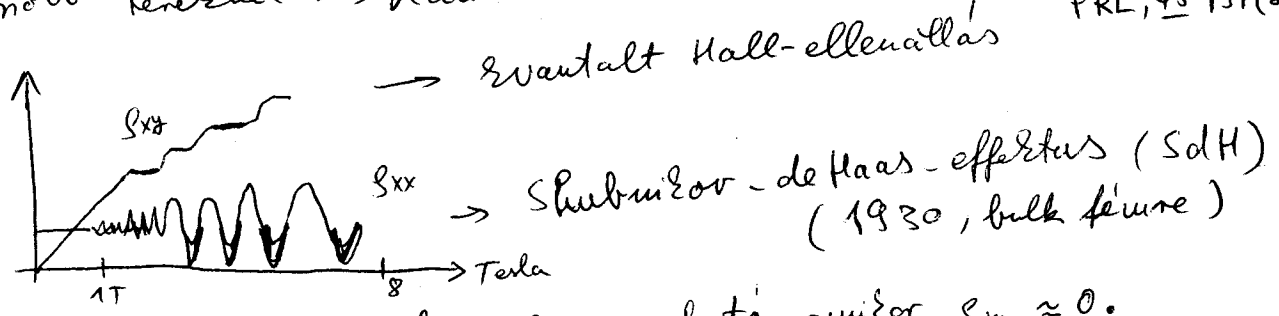
$\underline{J} = e \underline{v} \cdot n_s$ átváltás, n_s : elektron sűrűség (per felület)

$\Rightarrow \begin{pmatrix} E_x \\ E_y \end{pmatrix} = \begin{bmatrix} \frac{m}{e^2 \tau n_s} & \frac{-B}{e n_s} \\ \frac{B}{e n_s} & \frac{m}{e^2 \tau n_s} \end{bmatrix} \begin{pmatrix} J_x \\ J_y \end{pmatrix} \rightarrow \underline{E} = \underline{\sigma}^{-1} \underline{J}$

$\underline{\sigma} = \underline{\sigma}^{-1} = \begin{bmatrix} \frac{m}{e^2 \tau n_s} & \frac{-B}{e n_s} \\ \frac{B}{e n_s} & \frac{m}{e^2 \tau n_s} \end{bmatrix} \rightarrow \begin{aligned} \sigma_{xx} = \sigma_{yy} &= \frac{1}{\sigma_0} = \frac{m}{e^2 \tau n_s} \\ \sigma_{xy} = -\sigma_{yx} &= \frac{B}{|e| n_s} \end{aligned}$



Nemobb tereket \rightarrow Landau-szintek, (Klitzing, et al PRL, 45 494 (80))



$\sigma_{xx} \approx 0$ és oszcillál, $\sigma_{xy} \approx$ plato, amikor $\sigma_{xx} \approx 0$.

SdH oszcilláció oka: Ha $\underline{B} = 0 \Rightarrow$ 2 dim az állapot sűrűség állandó.

$\underline{B} \neq 0 \Rightarrow E_n = \hbar \omega_c (n + \frac{1}{2})$
 $\omega_c = \frac{eB}{m}$

$\rho_{2d}(\epsilon) = \frac{m}{\hbar^2}$ $\rho(\epsilon) = \frac{2eB}{\hbar} \sum_{n=0}^{\infty} \delta(\epsilon - \hbar \omega_c (n + \frac{1}{2}))$

g_0 kiszámolható úgy, hogy a 2D állapotűrűsűrűség $g_{2D} = \frac{m}{\hbar^2}$

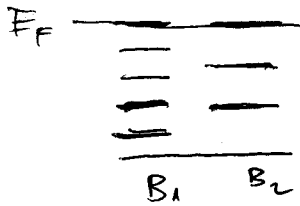
legy $\hbar\omega_c$ energia intervallumban $g_{2D} \cdot \hbar\omega_c$ állapot van.

Ezek az állapotok a B tér beépítésével mind a Landau-nívóra koncentrálnak $\Rightarrow g_0 = g_{2D} \cdot \hbar\omega_c = \frac{m}{\hbar^2} \cdot \hbar\omega_c = \frac{m}{\hbar^2} \cdot \frac{eB}{m} = \frac{2eB}{h}$

$g(\epsilon)$ -ban a δ csúcsok kinépeznek a megszelesedéssel általi mérés miatt.

$B \nearrow \Rightarrow \hbar\omega_c \nearrow \Rightarrow$ a Landau-nívó eszikedez

$\Rightarrow S_{xx}$ oszcillál, amikor a E_F elmozdul egyik Landau-nívótól a másikra.



g_0 a Landau-nívó degenerációja!
(egységnyi felületre!)
 n_s az elektron sűrűség
(egységnyi felületre)

$\frac{n_s}{g_0(B_1)} - \frac{n_s}{g_0(B_2)} = 1$ a feltétel, hogy B_1 és B_2 két egymást követő csúcs helyre S_{xx} -vel.

$n_s = \frac{2e}{h} \frac{1}{\frac{1}{B_1} - \frac{1}{B_2}}$ \rightarrow mérési módszer n_s - mérésére.
 $\frac{1}{B}$ -ben oszcillál S_{xx} !

Mikor látható a kvantum hatás (Landau-nívó? Zitterbewegung)?

$\frac{1}{\omega_c}$ = a cirkuláris mozgással a keringési idő

Kvantum hatás lép fel, ha $\frac{1}{\omega_c} \ll \tau$

$\Rightarrow \hbar\omega_c \gg \frac{\hbar}{\tau} \approx$ a Landau-nívó kinépezése a megszelesedésen való mérés miatt.

morgéssűrűség: $\mu_m = \frac{e\tau}{m}$ és $\omega_c = \frac{|e|B}{m} \Rightarrow B \gg \frac{1}{\mu_m}$

Ha $\mu_m = 10^6 \frac{cm^2}{Vs} = 10^2 \frac{m^2}{Vs}$

Már $B = 10^{-2} T = 100$ Gauss-nál van kvantum-effektus.

Na, morgéssűrűségü el. na kisebb B tér is elég, hogy a kvantum hatások megjelenjenek.

T alacsony, mellesleg k .

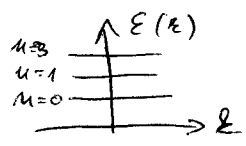
Körábrban látható (ismétlés):

$$\hat{H} = \frac{(p - eA)^2}{2m}$$

$$A = \begin{pmatrix} -By \\ 0 \end{pmatrix}, \quad [\hat{p}_x, \hat{H}] = 0 \Rightarrow p_x = \hbar k$$

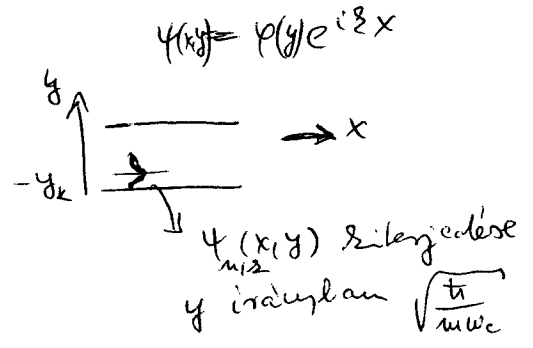
$$E_n(\hbar k) = (n + \frac{1}{2}) \hbar \omega_c$$

$$U_n(\hbar k) = \frac{1}{\hbar} \frac{\partial E_n(\hbar k)}{\partial k} = 0$$



$$y_k = \frac{\hbar k}{eB}$$

$$\omega_c = \frac{e\hbar B}{m}$$



$$\psi_{n, \hbar k}(x, y) = \frac{1}{\sqrt{L}} e^{i\hbar k x} u_n(y + y_k)$$

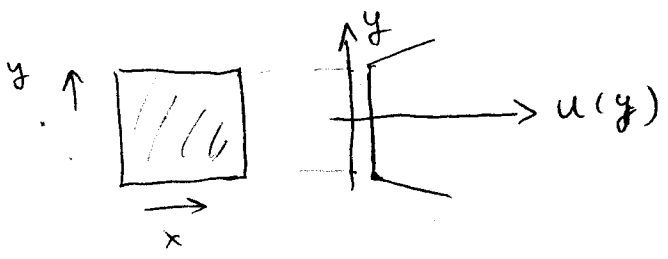
$$u_n(y) = e^{-\frac{q^2}{2}} u_n(q)$$

Hermitik-polinoms

$$q = \sqrt{\frac{m\omega_c}{\hbar}} y$$

$$q_k = \sqrt{\frac{m\omega_c}{\hbar}} y_k$$

Mi van ha van confining-potential?

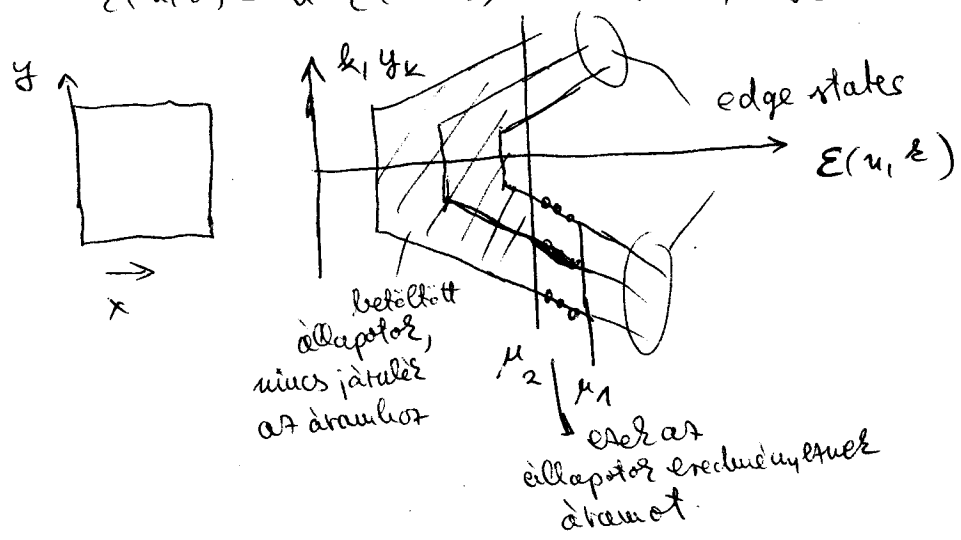


Nagy B-térnel $r_c = \frac{v}{\omega_c} \sim \frac{1}{B} \ll 1$
 Ha r_c elég kicsi, akkor az $U(y)$ konstans ezen a skálán, akkor alkalmazhatjuk a perturbáció számítást

$$E(n, \hbar k) = (n + \frac{1}{2}) \hbar \omega_c + \langle n, \hbar k | U(y) | n, \hbar k \rangle \approx U(y_k)$$

de $|n, \hbar k\rangle$ centrál y_k körül és a zitteringek $\sqrt{\frac{\hbar}{m\omega_c}}$ y-irányban

$$\Rightarrow E(n, \hbar k) = \hbar \omega_c (n + \frac{1}{2}) + U(y_k), \quad y_k = \frac{\hbar k}{eB}$$

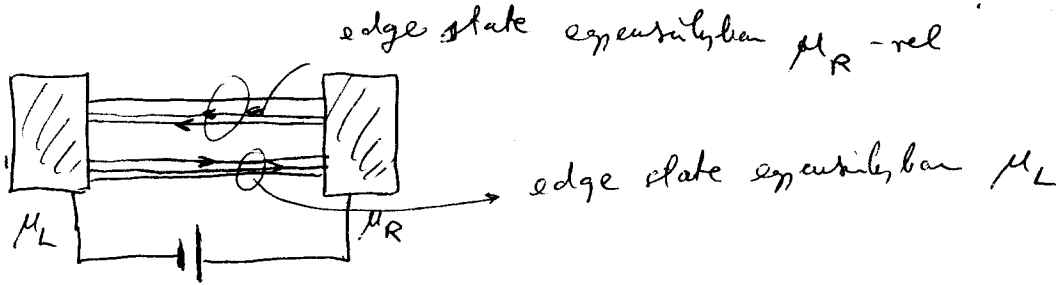


A minta belső vármal erőz az elektron állapotok (edge states) melyek viszik az áramot.

Edge state sebessége:

$$v(n, \hbar k) = \frac{1}{\hbar} \frac{\partial E(n, \hbar k)}{\partial k} = \frac{1}{\hbar} \frac{\partial U(y_k)}{\partial k} = \frac{1}{\hbar} \frac{dU(y)}{dy} \frac{dy_k}{dk} = \frac{1}{eB} \frac{dU(y)}{dy}$$

A minta két belső az edge states ellenérték irányban mozognak. ($\frac{dU(y)}{dy}$ előjel vált a minta két belső.)



A minta két nélcen lévő edge state-el térbelileg (y irányban) separálódik, az overlapping exponenciálisan kicsi lesz.
 (az edge state-el közepes $\sqrt{\frac{\hbar}{m v c}}$ és exponenciálisan lecsug $e^{-y/2}$)

A minta nélcen lévő nevezetős nem képezek az egyik edge state-ból a másik irányban haladó edge-state-be történő átélért.

Teljes suppression of backscattering, ha E_F ^{let} Landau ^{szint} közé van.

A balról induló edge state-ek egyensúlyban vannak μ_R rezervoárral
 míg a jobbról induló " " " " " " μ_L " " "
 (Amid pl. jobbról indul az mind bevesz a baloldali rezervoárral)

\Rightarrow Zérus a longitudinális ellenállás! $R_L = 0!$

Ha E_F éppen az egyik Landau-szint közé van, akkor már vannak olyan állapotok, melyeken keresztül az elektron áthaladhat. Ezek az állapotok a minta belsejében vannak. Így lehetőséget visztafordítás, ami ellenállás maximumot eredményez a longitudinális R_L -ben.

Mennyi az áram? A helyet nagyon hasonló a ballisztikus transzporthoz.

$$I = \frac{2e}{L} \sum_n \sum_k \frac{1}{\hbar} \frac{\partial \epsilon}{\partial k} = \frac{2e}{L} \sum_n \int_{\mu_R}^{\mu_L} \frac{L}{2\pi \hbar} \frac{1}{\hbar} \frac{\partial \epsilon}{\partial k} d\epsilon = \frac{2e}{h} \sum_n \int_{\mu_R}^{\mu_L} d\epsilon = \frac{2e}{h} M (\mu_L - \mu_R)$$

$$R_L = \frac{U_L}{I} = 0 \quad \text{és} \quad R_H = \frac{U_H}{I} = \frac{h}{2e^2 M}$$

\hookrightarrow Edge state-el töltés.

$$M = \left[\frac{E_F}{\hbar v} \right] \text{ egész szám!}$$

$$R_H = \frac{h}{2e^2 M} = \frac{25.8128 \text{ k}\Omega}{2M}$$

Pontoság R_H -ban $< 10^{-6}!$ \Rightarrow oka: a tökéletes suppression of backscattering!
 Miába vannak nevezetős! $L_x \approx 100 \mu\text{m}$ ezáltal is!!!

hűlés miatt ezeken elmozdul hangyagoln az edge state - ~~le~~ miatt, mert csak egy tört része a teljes vesztőben lévő állapotoknál.

Az edge state - el a véges méret miatt

(Ezen véges-méret effektus cip fel az elektron diamágneses susceptibilitásának mértékére is.)

A kvantum Hall - ban az edge state - el excludens, azaz az effektus!

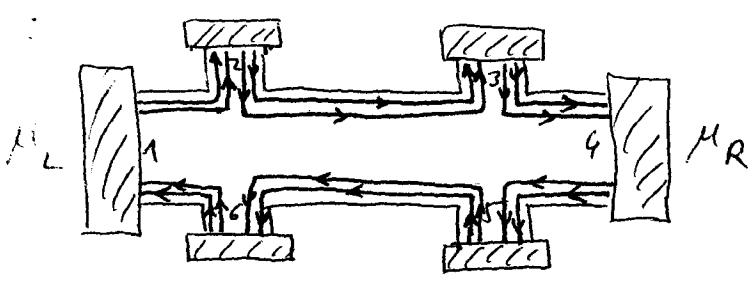
$R_L = 0$, ha E_F két Landau - nivó között van.

$R_L = max$, ha $E_F =$ valamely Landau - nivóval.

(Ez magyarázó, hiszen, ha E_F a két Landau - nivó között van, akkor az állapotok sűrűsége ~~széles~~ majdnem zérus, azaz nincs el. állami viszi az áramot \rightarrow nagy R_L - t várunk. Ha $E_F =$ Landau - nivó \rightarrow van elég el., ami viszi az áramot $\rightarrow R_L \sim zérus$.

Az ellentmondás feloldása: A bulkban valóban a fenti érvelés a helyes, de véges méretben az E_F eseményi elektron állapotok azok az edge state - el, melyek a két Landau - nivó között vannak és képesek az áramot viselni.)

Büttiker - formula alkalmazása



Postulátum: Elektronok halad egyik terminálról a másikra tróda nélkül. Ez az amit látnunk és jól teljesül a kísérletekben. Teljes suppression of backscattering.

Makroszkopikus méret ($\sim 100 \mu m = L_x, L_y$)

Nincs nincs visztatás, "szűz"

Mérvény a T_{ab} transzmissziós - függvény.

Az edge state - el halad tróda nélkül egyik terminálról a másikra.

$T_{ab} = M = (\text{edge state kávé} = \frac{E_F}{\hbar v_c})$ Az ábrán $M=2$.

Eredő alapján a G_{ab} a következő alakú:

$$G_{ab} = \begin{matrix} & \begin{matrix} 1 & 2 & 3 & 4 & 5 & 6 \end{matrix} \\ \begin{matrix} 1 \\ 2 \\ 3 \\ 4 \\ 5 \\ 6 \end{matrix} & \begin{bmatrix} 0 & 0 & 0 & 0 & 0 & G_c \\ G_c & 0 & 0 & 0 & 0 & 0 \\ 0 & G_c & 0 & 0 & 0 & 0 \\ 0 & 0 & G_c & 0 & 0 & 0 \\ 0 & 0 & 0 & G_c & 0 & 0 \\ 0 & 0 & 0 & 0 & G_c & 0 \end{bmatrix} \end{matrix}, \text{ ahol } G_c = \frac{2e^2}{h} M$$

Büttner-formula:

$$I_a = \sum_b G_{ab} [V_a - V_b] = V_a \sum_b G_{ab} - \sum_b G_{ab} V_b$$

$$\Rightarrow I_1 = V_1 G_c - G_c V_6$$

$$I_2 = V_2 G_c - G_c V_1$$

$$I_3 = V_3 G_c - G_c V_2$$

$$I_4 = V_4 G_c - G_c V_3$$

$$I_5 = V_5 G_c - G_c V_4$$

$$I_6 = V_6 G_c - G_c V_5$$

Legyen $V_4 = 0$

Mivel 2, 3, 5, 6 terminálra feszültség-mérőt kapcsolunk \Rightarrow

$$I_2 = I_3 = 0 \text{ és } I_5 = I_6 = 0$$

$$\rightarrow V_1 = V_2, V_2 = V_3, V_5 = 0, V_6 = 0$$

$$I_1 = V_1 G_c$$

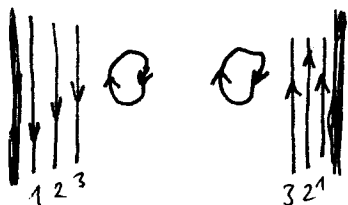
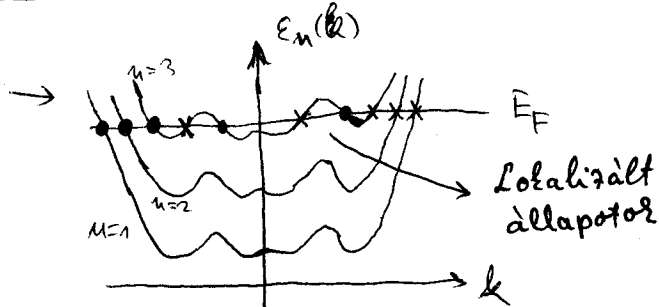
$$\Rightarrow R_L = \frac{V_2 - V_1}{I_1} = \frac{V_6 - V_5}{I_1} = 0$$

$$R_H = \frac{V_2 - V_6}{I_1} = \frac{V_3 - V_5}{I_1} = \frac{V_1}{I_1} = G_c^{-1} = \underline{\underline{\left[\frac{2e^2}{h} M \right]^{-1}}}$$

A Büttner-formula egyszerűen magyarázza a Hall-ellenállást és a R_L ellenállást egyenre.

Edge states rendszerén vesztőben (nemgyorsított határon):

$U(y)$ potenciál fluktuál.

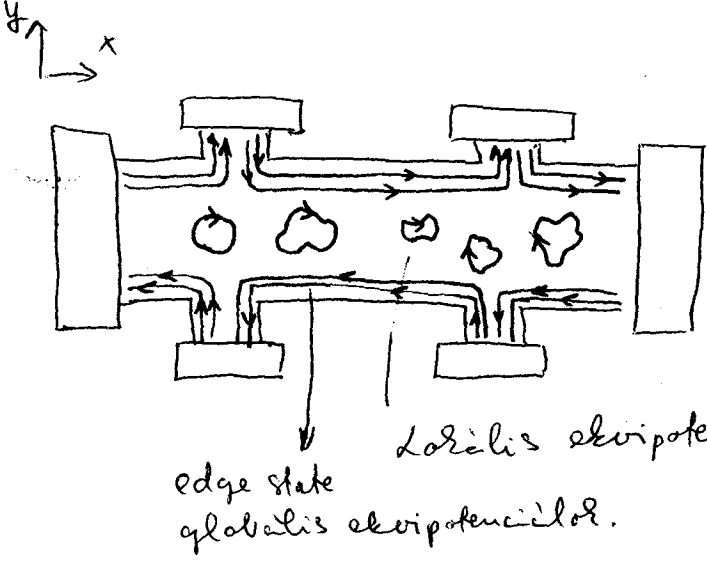


Külös \underline{E} és \underline{B} térben az elektron drift sebessége (mozgó koordinátarendszer, stb.)

$$\underline{v} = \underline{E} \times \underline{B}, \text{ de } \underline{E} = -\text{grad } U$$

$$\Rightarrow \underline{v} \perp \text{grad } U \Rightarrow$$

$\underline{v} \parallel U$ ekvipotenciál mentén mozog az elektron.



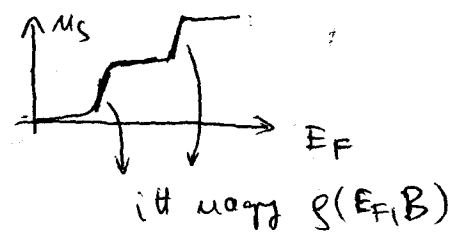
A minta belsejében megjelenek lokalizált állapotok.

edge state
globalis ekvipotenciál

Mi az oka, hogy $E_F \Rightarrow$ két Landau-nívó szűtt van?

állapot
sűrűség

$$\rightarrow n_s = \int_{-\infty}^{E_F} g(\epsilon, B) d\epsilon \Rightarrow \delta n_s = g(E_F, B) \delta E_F$$



ahol g nagy ott $\frac{dn_s}{dE_F}$ nagy.

Ha g kicsi akkor

$$\delta E_F = \frac{\delta n_s}{g} \text{ nagy mert kis } \delta n_s \text{-vel is.}$$

így E_F olyan értékre áll be,

ahol g nagy. Az állapotsűrűség g éppen a Landau-nívók valójága. Így E_F a Landau-nívóra áll be.

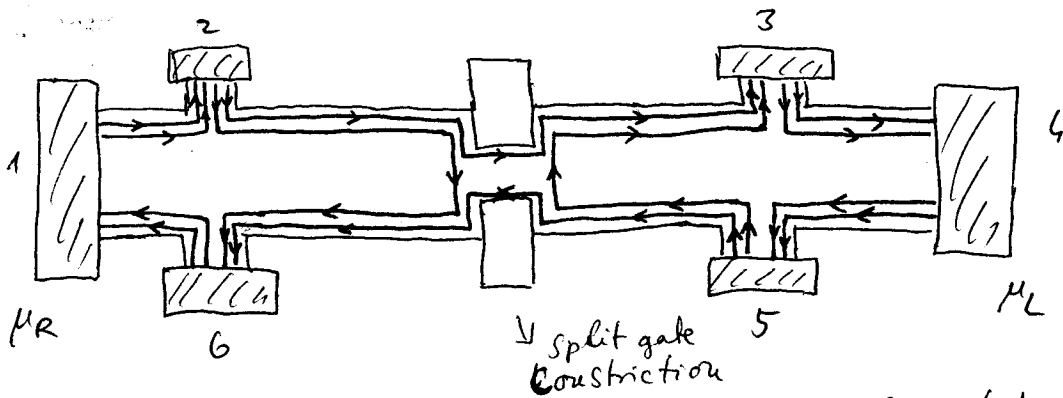
Er viszont azt jelenti, hogy E_F nem két Landau-nívó szűtt van, ami a feltétele annak, hogy $R_L = 0$ legyen.

Az ellentmondás feloldása: A lokalizált állapotok

betöltődésével mondul el az E_F a Landau-nívóról és ekkor két Landau-nívó szűtt. Ugyanakkor ezek a lokalizált állapotok nem járulnak az áramhoz. Amint

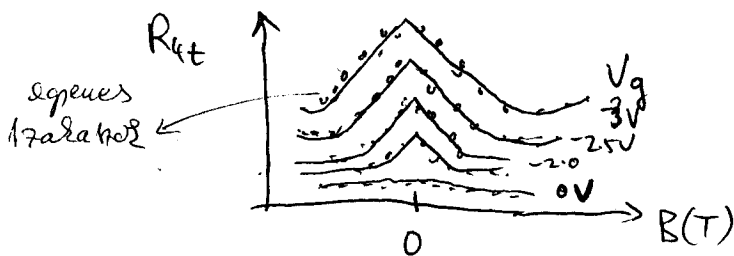
E_F átmeny két Landau-nívó szűttig éppen a lokalizált állapotok kezdnek betöltődni és ezben nincs ellenállás-járatulés \Rightarrow csak egy plató eredményt S_{xy} -ben, R_H -ban.

Suppression of backscattering, edge-state-ek detektálása

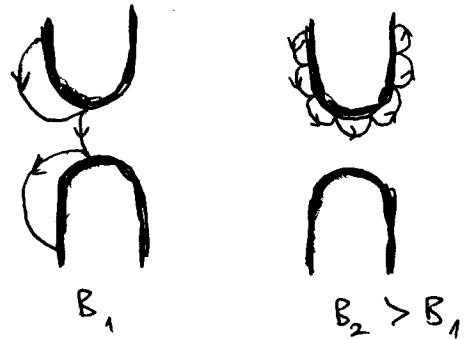


Four-terminal meszkél az ellenállás (longitudinális) csökkenését tapasztalhat B növelésénél.

$$R(B) - R(0) < 0$$



B növelésével



a cellation nagy része a rés menténél, az elektron át tud haladni a résen. Így B növelésével nincs elektron visszafordítás.

Magyarázat a Landauer-Büttiker-formalizmussal.

Tfh. az \odot -ből M módus (edge state) jön ki. A constriction-nál $(M > N)$
 N módus (edge state) belép át. Legyen $P = \frac{M-N}{M}$

Ekkor felírhatjuk a G_{ab} matrixot.

$$(1-P)M = N \Rightarrow M - N = PM$$

$$G_{ab} = \begin{bmatrix} 1 & 2 & 3 & 4 & 5 & 6 \\ 0 & 0 & 0 & 0 & 0 & G_c \\ G_c & 0 & 0 & 0 & 0 & 0 \\ 0 & (1-P)G_c & 0 & 0 & PG_c & 0 \\ 0 & 0 & G_c & 0 & 0 & 0 \\ 0 & 0 & 0 & G_c & 0 & 0 \\ 0 & PG_c & 0 & 0 & (1-P)G_c & 0 \end{bmatrix}$$

$$G_c = \frac{2e^2}{h} M$$

Legyen $V_4 = 0$.

$$I_a = \sum_b G_{ab}(V_a - V_b) \Rightarrow I_a = V_a \sum_b G_{ab} - \sum_b G_{ab} V_b$$

$$I_1 = V_1 G_c - V_6 G_c$$

$$I_2 = V_2 G_c - V_1 G_c$$

$$I_3 = V_3 G_c - (1-P)G_c V_2 - PG_c V_5$$

$$I_4 = V_4 G_c - V_3 G_c$$

$$I_5 = V_5 G_c - V_4 G_c$$

$$I_6 = V_6 G_c - PG_c V_2 - (1-P)G_c V_5$$

A 2, 3, 5, 6 terminálokra feszültségmérőt kapcsolunk,
 ezért $I_2 = I_3 = I_5 = I_6 = 0$

$$\Rightarrow V_5 = 0, \quad V_1 = V_2, \quad V_6 = pV_2, \quad V_3 = (1-p)V_2$$

$$\Rightarrow I_1 = (V_1 - V_6)G_c = (V_1 - pV_2)G_c = (1-p)V_1 G_c$$

$$\Rightarrow R_L = \frac{V_2 - V_3}{I_1} = \frac{V_6 - V_5}{I_1} = \frac{V_1 - (1-p)V_1}{I_1} = \frac{p}{1-p} \frac{1}{G_c} = \boxed{\frac{h}{2e^2} \left(\frac{1}{N} - \frac{1}{M} \right)}$$

$$R_H = \frac{V_2 - V_6}{I_1} = \frac{V_1 - pV_1}{(1-p)G_c V_1} = \frac{1}{G_c} = \boxed{\frac{h}{2e^2} \frac{1}{M}}$$

A Halli-ellenállás nem változik, a split gate nincs hatással rá.
 (Mivel: 2, 6 kontaktusoktól távol van a split gate)

A longitudinális ellenállás:

$$R_L = \frac{h}{2e^2} \left(\frac{1}{N} - \frac{1}{M} \right)$$

Az \odot kontaktusnál egy 2D el. gát van B térben \rightarrow Landau-szintek

$$\Rightarrow \text{Az edge state-ek száma} = M = \frac{E_F}{\hbar \omega_c} \sim \frac{1}{B}$$

$$\Rightarrow R_L = \frac{h}{2e^2} \left(\frac{1}{N} - \frac{\hbar \omega_c}{E_F} \right) = \frac{h}{2e^2} \left(\frac{1}{N} - \frac{\hbar e}{E_F m} B \right)$$

$$\Rightarrow \frac{dR_L(B)}{dB} = \text{áll} < 0$$

(Meg lehet mutatni, hogy $B < 0$ térre $\frac{dR_L(B)}{dB} > 0$.)

(1.4.3a)

(1.4.3b)

the longitudinal resistance is nearly with magnetic field.

red by preparing a rectangular along the x -direction and $(V_1 - V_2)$ and the transverse (1.4.1). Since $J_y = 0$, we can

$\rho_{yx} J_x$

$H = E_y W$. Hence the resistivity and transverse voltages by

$\frac{V_H}{I}$

inal voltage V_x and the trans-GaAs film using a rectangular

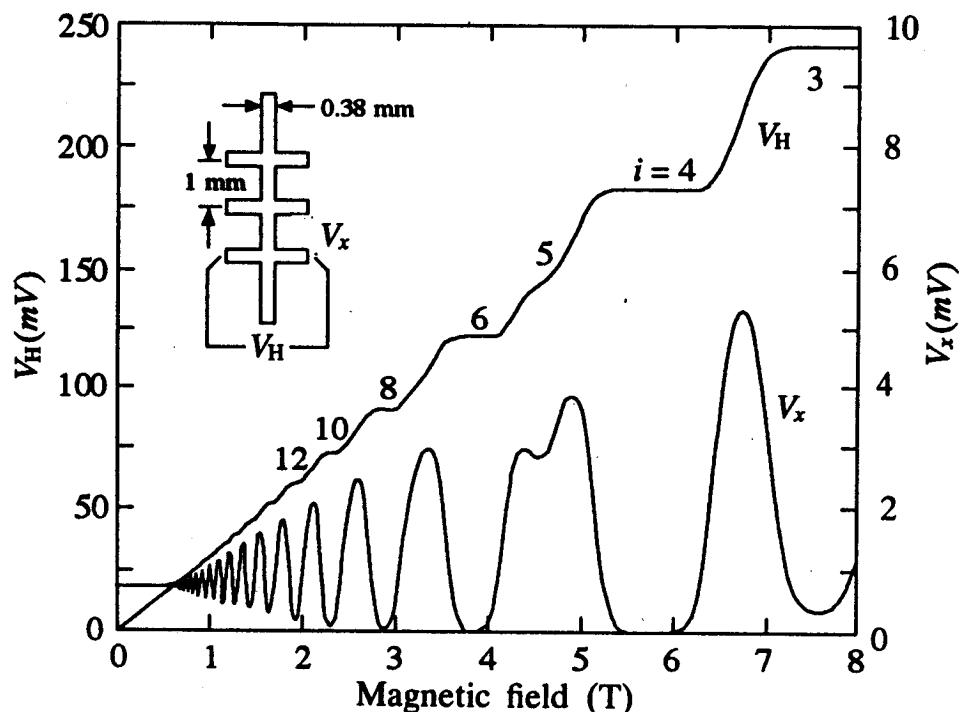


Fig. 1.4.2. Measured longitudinal and transverse voltages for a modulation-doped GaAs film at $T = 1.2$ K ($I = 25.5 \mu A$). Reproduced with permission from Fig. 1 of M. E. Cage, R. F. Dziuba and B. F. Field (1985), *IEEE Trans. Instrum. Meas.* IM-34, 301. © 1985 IEEE

constant while the Hall voltage increases linearly in agreement with the predictions of the semiclassical Drude model described above. At high fields, however, the longitudinal resistance shows pronounced oscillatory behavior while the Hall resistance exhibits plateaus corresponding to the minima in the longitudinal resistance. These features are usually absent at room temperature or even at 77 K but quite evident at cryogenic temperatures of 4 K and below. To understand these features we need to go

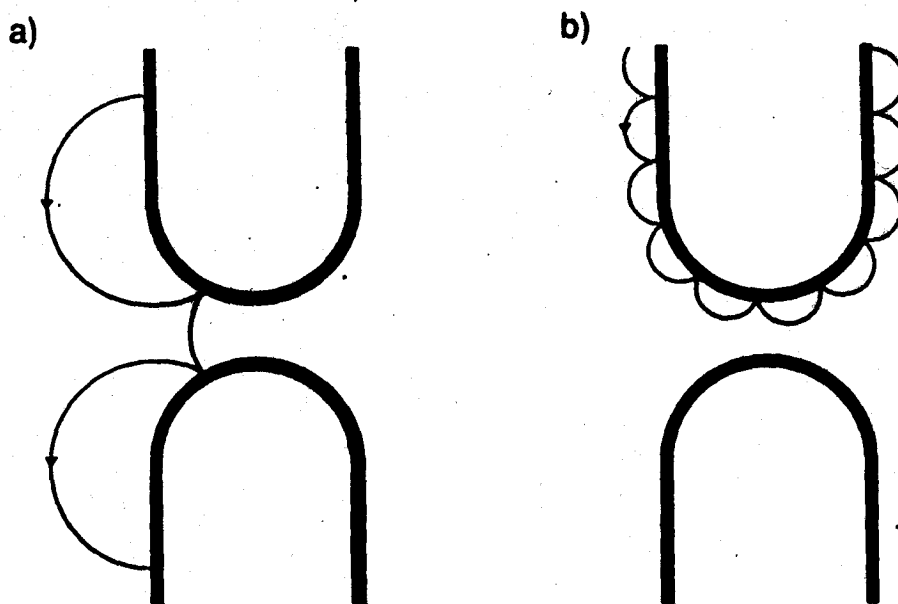


FIG. 51. Illustration of the reduction of backscattering by a magnetic field, which is responsible for the negative magnetoresistance of Fig. 50. Shown are trajectories approaching a constriction without a potential barrier, in a weak (a) and strong (b) magnetic field. Taken from H. van Houten *et al.*, in "Nanostructured Systems" (M. A. Reed, ed.). Academic, New York.

Here N_{wide} is the number of occupied Landau levels in the wide 2DEG regions. The simplest (but incomplete) argument leading to Eq. (13.7) is that the additivity of voltages on reservoirs (ohmic contacts) implies that the two-terminal resistance $R_{2t} = (h/2e^2)N_{\text{wide}}^{-1}$ should equal the sum of the Hall resistance $R_H = (h/2e^2)N_{\text{wide}}^{-1}$ and the longitudinal resistance R_L . This argument is incomplete because it assumes that the Hall resistance in the wide regions is not affected by the constriction of the central region.

s tabulated in Fig. 49 should
 acy of the energy levels is
 at *odd* multiples of e^2/h .
 a particularly clear fashion,
 perpendicular) to the 2DEG.
 required to fully lift the spin

all fraction of the electrons
 is transmitted through the
 attered back into the source
 :istance of a ballistic point
 w a relatively weak magnetic
backscattering caused by the
 unt of backscattering caused
 mains essentially unaffected.
 gnetic field is observed as a
)] in a *four-terminal* measure-
 ce R_L . The voltage probes in
 G regions, well away from the
 ws the establishment of local
 in weak magnetic fields (cf.
 -terminal resistance does not
 mental results for R_L in this

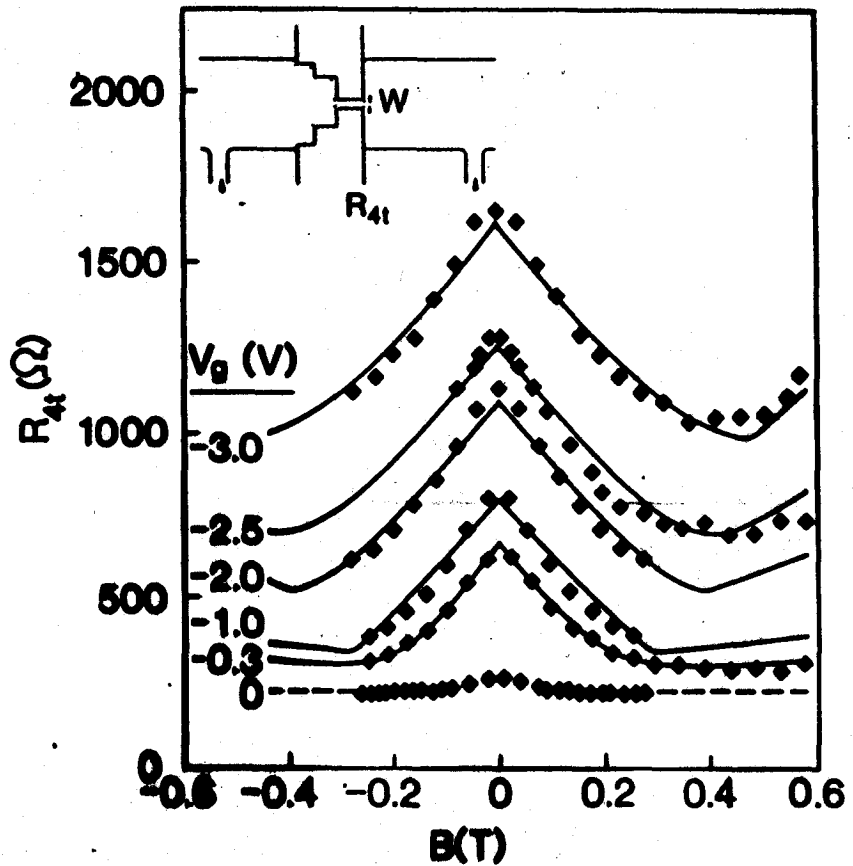


FIG. 50. Four-terminal longitudinal magnetoresistance R_L of a constriction for a series of gate voltages. The negative magnetoresistance is temperature independent between 50 mK and 4 K. Solid lines are according to Eqs. (13.7) and (10.8), with the constriction width as adjustable parameter. The inset shows schematically the device geometry, with the two voltage probes used to measure R_L . Taken from M. van Houten *et al.*, *Phys. Rev. B* 37, 8534 (1988).

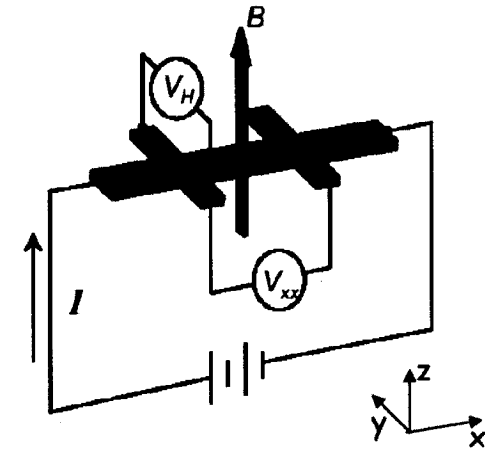
approximately constant [cf. Fig. 31 or Eq. (10.8)], so R_{2t} is only weakly dependent on B in the low field regime. For stronger fields Eq. (13.6) describes a
 the magnetoresistance because N_{sub} decreases due to the magnetic



Klasszikus Hall-Effektus

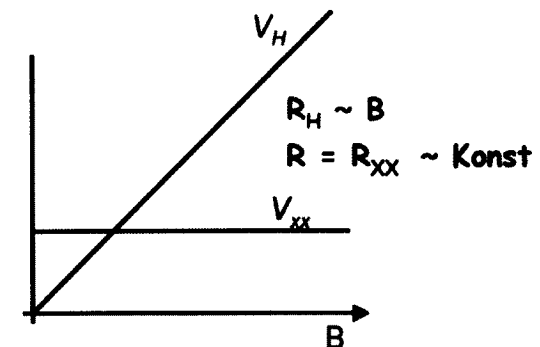
$$\mathbf{B} = \begin{pmatrix} 0 \\ 0 \\ B \end{pmatrix} \quad \mathbf{E} = \begin{pmatrix} E_x \\ E_y \end{pmatrix} \quad \mathbf{J} = en_s \mathbf{v}$$

$$\frac{m\mathbf{v}}{\tau} = e(\mathbf{E} + \mathbf{v} \times \mathbf{B})$$



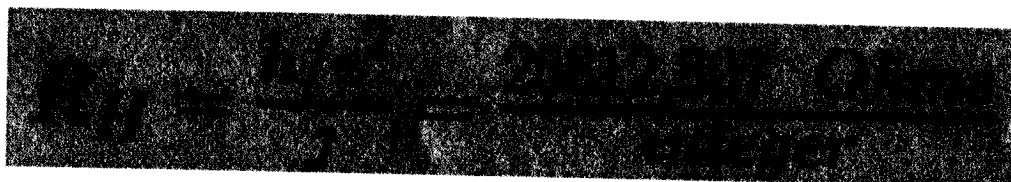
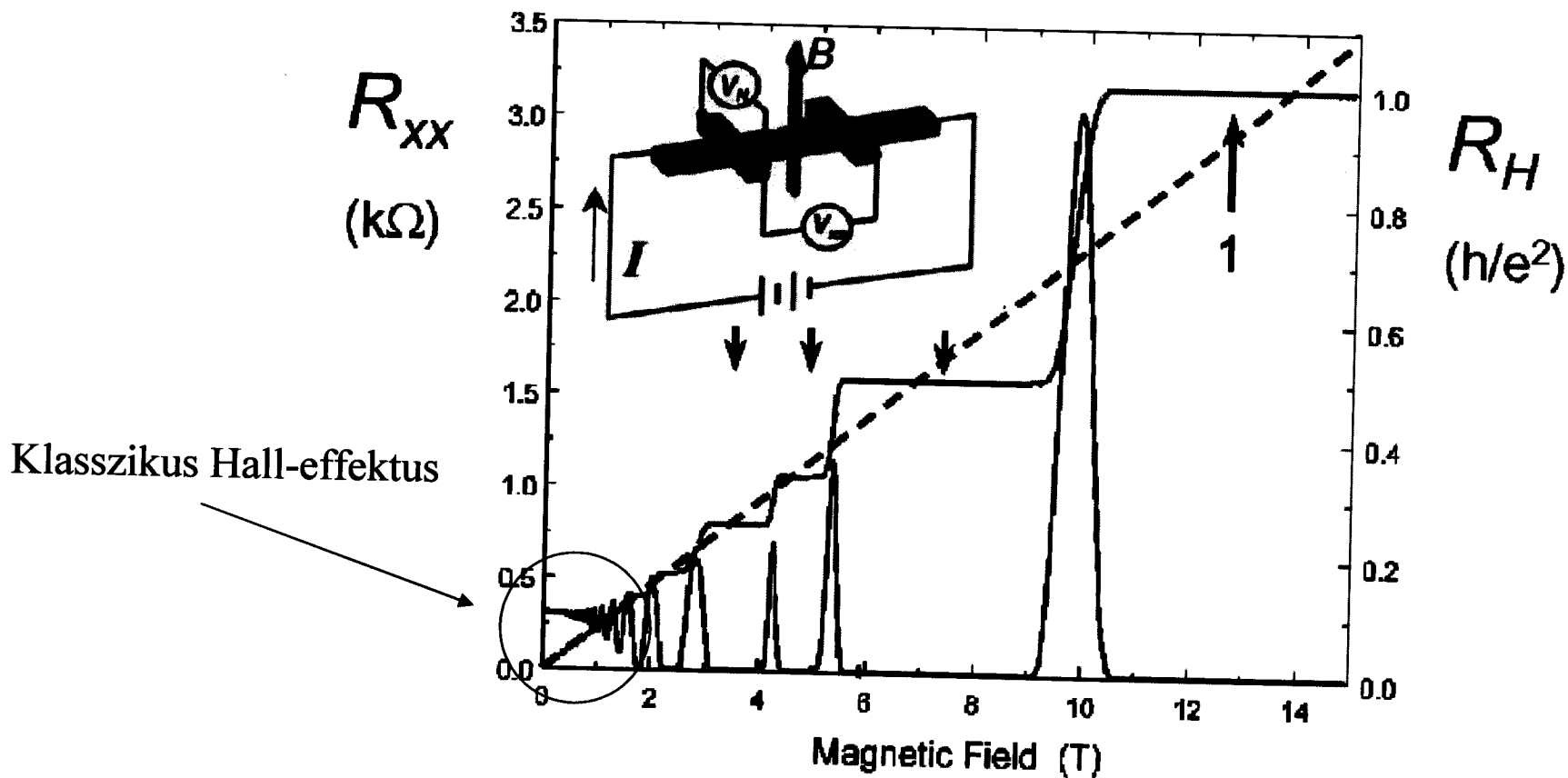
$$\begin{pmatrix} E_x \\ E_y \end{pmatrix} = \begin{bmatrix} \frac{m}{e^2 \tau n_s} & \frac{-B}{en_s} \\ \frac{B}{en_s} & \frac{m}{e^2 \tau n_s} \end{bmatrix} \begin{pmatrix} J_x \\ J_y \end{pmatrix} \rightarrow \mathbf{J} = \boldsymbol{\sigma} \mathbf{E} \rightarrow \boldsymbol{\rho} = \boldsymbol{\sigma}^{-1} = \begin{bmatrix} \frac{m}{e^2 \tau n_s} & \frac{-B}{en_s} \\ \frac{B}{en_s} & \frac{m}{e^2 \tau n_s} \end{bmatrix}$$

$$R_H =: \frac{V_y}{I} = \frac{E_y}{j_x} = \rho_{yx} = \frac{B}{en_s}, \text{ ha } j_y = 0$$





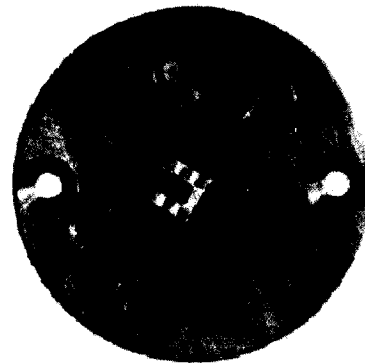
EGÉSZ KVANTUM HALL-EFFEKTUS



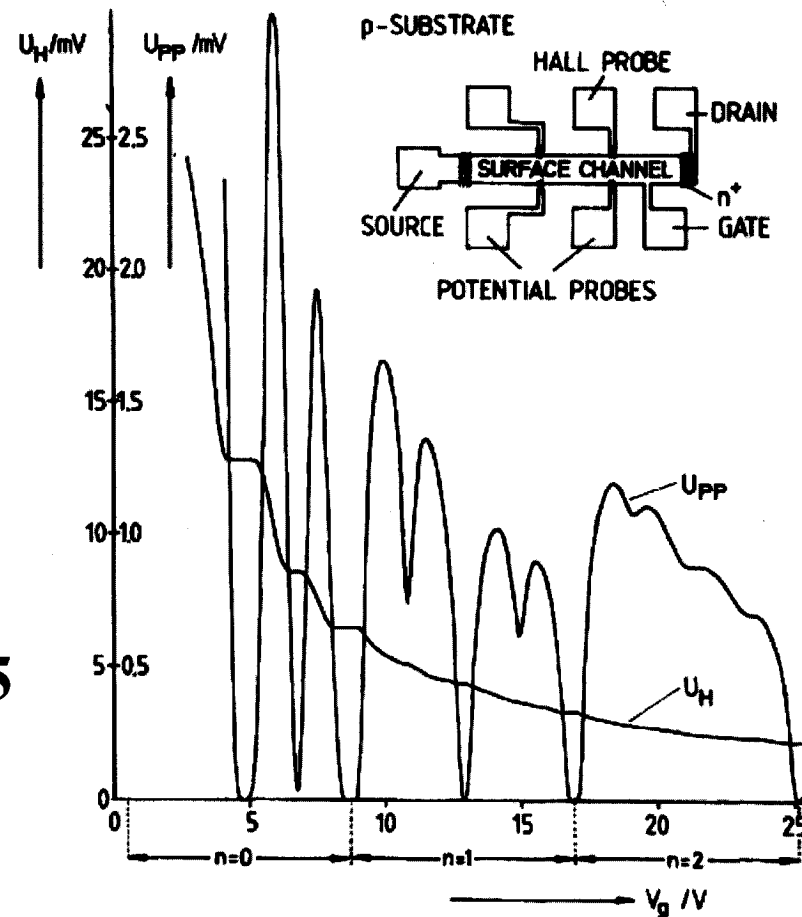


EGÉSZ KVANTUM HALL-EFFEKTUS

K. v. Klitzing, G. Dorda, M. Pepper: New Method for High-Accuracy Determination of the Fine-Structure Constant Based on Quantized Hall Resistance, Phys. Rev. Lett. **45**, 494 (1980)

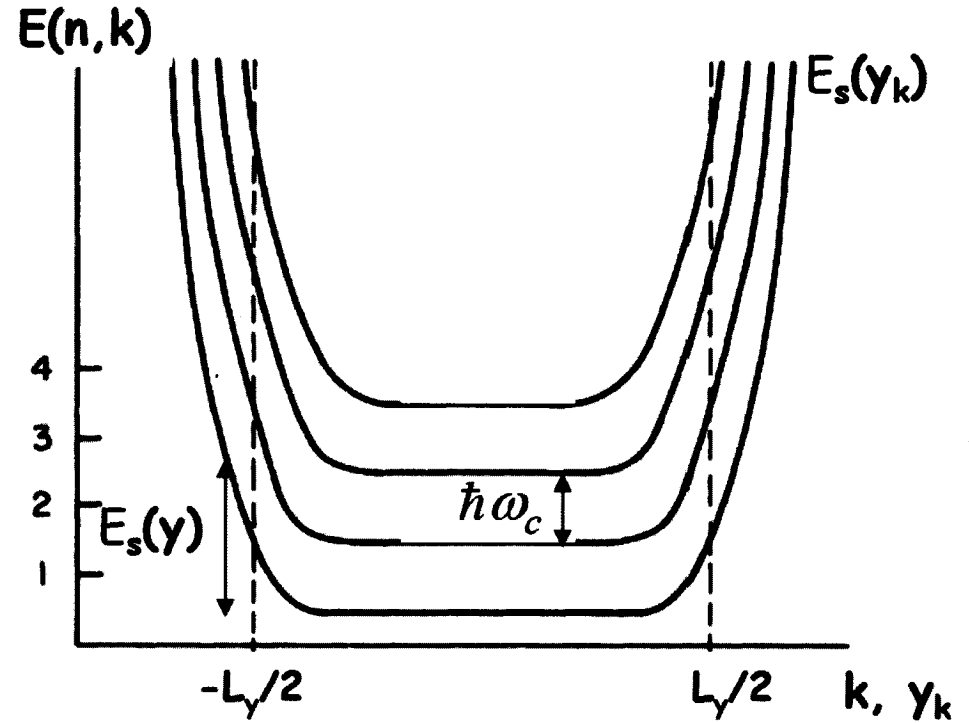
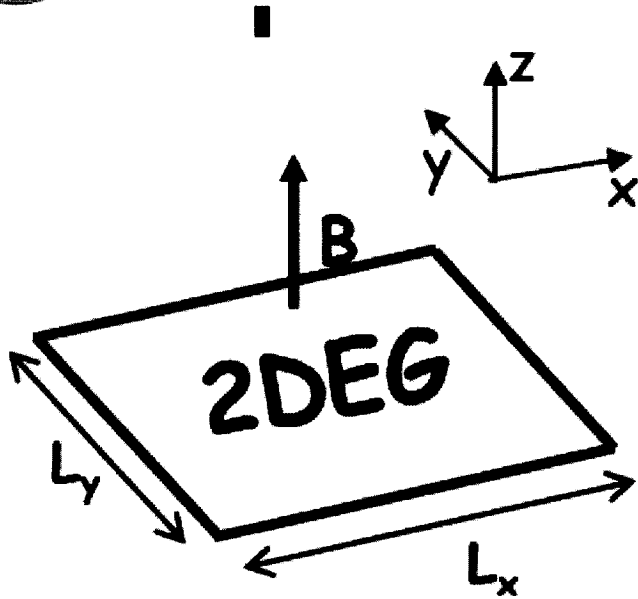


Klaus von Klitzing, Nobel-díj 1985





A MINTA SZÉLEINEK SZEREPE, A LANDAU-NÍVÓK DISZPERZIÓJA



$$E(n, k) = \left(n + \frac{1}{2} \right) \hbar \omega_c + E_s(y_k)$$

Landau-nívók

A minta szélének hatása

$$y_k = \frac{\hbar k}{eB}$$

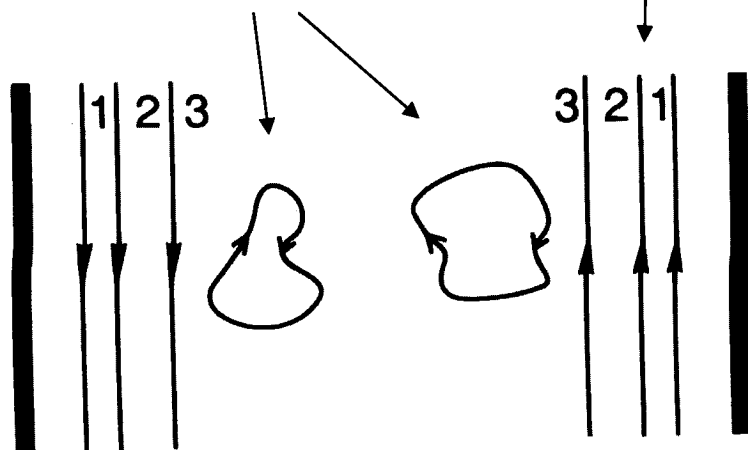
$$\omega_c = \frac{|e|B}{m}$$

ciklotron
frekvencia



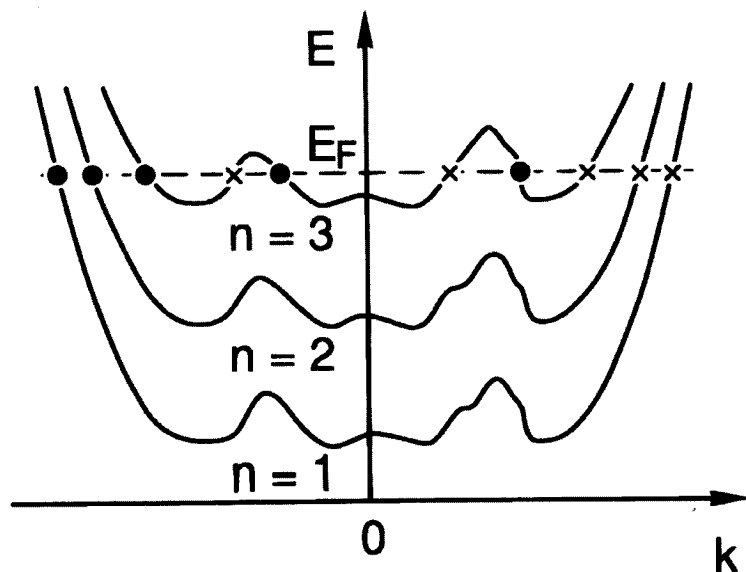
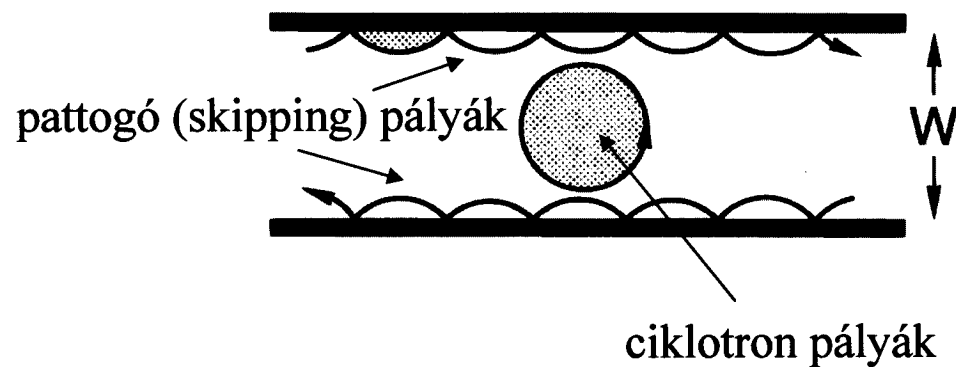
Lokalizált és Élállapotok

lokalizált állapotok



élállapotok (edge states), kiterjedt állapotok

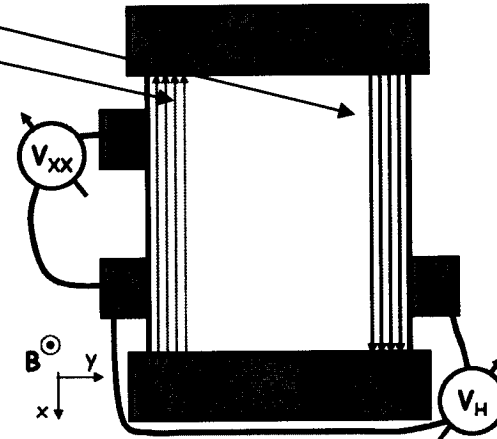
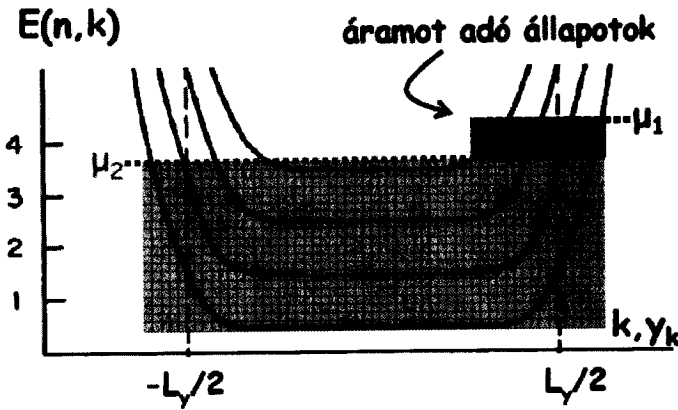
Klasszikus kép:





ÉLÁLLAPOTOK ÁRAMA

Visszaszórás nélküli vezető élállapotok okozzák a kvantum Hall-effektust



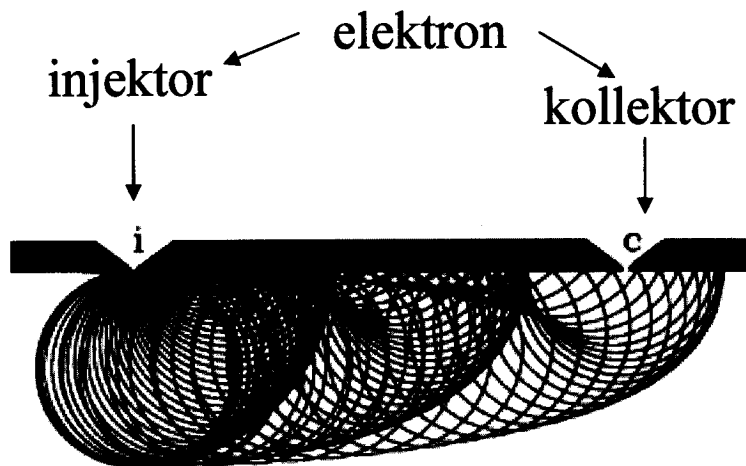
$$I = \frac{2e}{L_x} \sum_{n,k} \frac{1}{\hbar} \frac{\partial \varepsilon}{\partial k} = \frac{2e}{L_x} \sum_n \int_{\mu_2}^{\mu_1} \frac{L_x}{2\pi} \frac{1}{\hbar} \frac{\partial \varepsilon}{\partial k} dk = \frac{2e}{h} \sum_n \int_{\mu_2}^{\mu_1} d\varepsilon = \frac{2e}{h} M (\mu_1 - \mu_2)$$

$$R_{xx} = \frac{V_{xx}}{I} = \frac{V_4 - V_3}{I} = \frac{\mu_4 - \mu_3}{eI} = \frac{\mu_2 - \mu_2}{eI} = 0$$

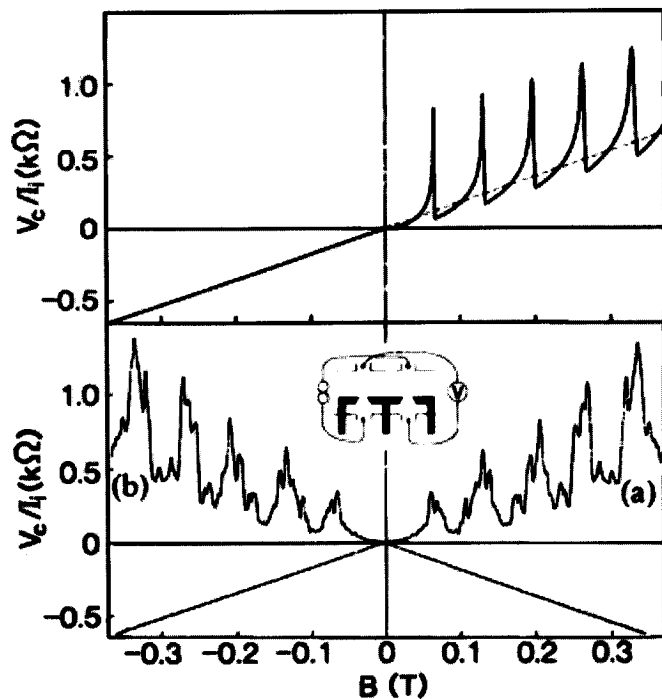
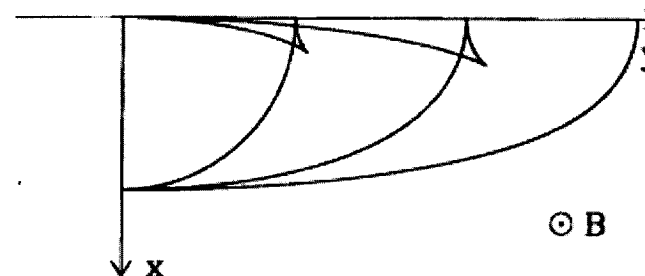
$$R_H = \frac{V_H}{I} = \frac{V_5 - V_4}{I} = \frac{\mu_5 - \mu_4}{eI} = \frac{\mu_1 - \mu_2}{eI} = \frac{h}{e^2} \cdot \frac{1}{2M}$$



ELEKTRONOK FOKUSZÁLÁSA



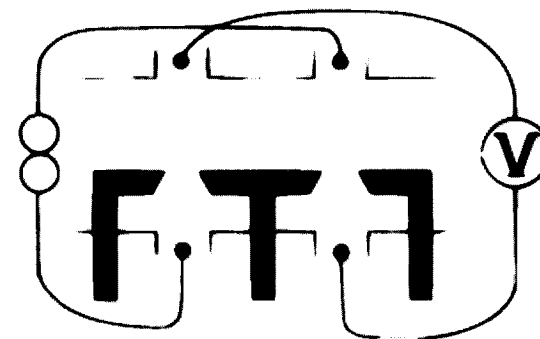
**Kausztika =
klasszikus pályák burkolója**



Számított
(szemiklasszikusan)

általánosított
Hall-ellenállás

mért





Kísérlet az élállapot közvetlen kimutatására

Konstrikción 2DEG mintában:

